

## 2.11 使用済燃料プールからの燃料取り出し設備

### 2.11.1 基本設計

#### 2.11.1.1 設置の目的

使用済燃料プールからの燃料取り出しは、燃料取り出し用カバー（又はコンテナ）の設置による作業環境の整備、燃料等を取り扱う燃料取扱設備の設置を行い、燃料を使用済燃料プール内の使用済燃料貯蔵ラックから取り出し原子炉建屋から搬出することを目的とする。

使用済燃料プールからの燃料取り出し設備は、燃料取扱設備、構内用輸送容器、燃料取り出し用カバーで構成される。燃料取扱設備は、燃料取扱機、クレーンで構成され、燃料取り出し用カバーにより支持される。なお、燃料の原子炉建屋外への搬出には、構内用輸送容器を使用する。

また、クレーンはオペレーティングフロア上での資機材運搬や揚重等にも使用する。

#### 2.11.1.2 要求される機能

##### (1) 燃料取扱設備

燃料取扱設備は、二重のワイヤなどにより落下防止を図る他、駆動源喪失時にも燃料集合体を落下させない設計とする。

また、遮へい、臨界防止を考慮した設計とする。

##### (2) 構内用輸送容器

構内用輸送容器は、除熱、密封、遮へい、臨界防止を考慮した設計とする。また、破損燃料集合体を収納して輸送する容器については、燃料集合体の破損形態に応じて輸送中に放射性物質の飛散・拡散を防止できる設計とする。

##### (3) 燃料取り出し用カバー

燃料取り出し用カバーは、燃料取扱設備の支持、作業環境の整備及び放射性物質の飛散・拡散防止ができる設計とする。

#### 2.11.1.3 設計方針

##### (1) 燃料取扱設備

###### a. 落下防止

(a) 使用済燃料貯蔵ラック上には、重量物を吊ったクレーンを通過できないようにインターロックを設け、貯蔵燃料への重量物の落下を防止できる設計とする。

(b) 燃料取扱機の燃料把握機は、二重のワイヤや種々のインターロックを設け、また、クレーンの主要要素は、二重化を施すことなどにより、燃料移送操作中の燃料集合体等の落下を防止できる設計とする。

b. 遮へい

燃料取扱設備は、使用済燃料プールから構内用輸送容器への燃料集合体の収容操作を、燃料の遮へいに必要な水深を確保した状態で、水中で行うことができる設計とするか、放射線防護のための適切な遮へいを設けて行う設計とする。

c. 臨界防止

燃料取扱設備は、燃料集合体を一括取り扱う構造とすることにより、燃料の臨界を防止する設計とする。

d. 放射線モニタリング

燃料取扱エリアの放射線モニタリングのため、放射線モニタを設け放射線レベルを測定し、これを免震重要棟集中監視室に表示すると共に、過度の放射線レベルを検出した場合には警報を発し、放射線業務従事者に伝える設計とする。

e. 単一故障

(a) 燃料取扱機の燃料把握機は、二重のワイヤや燃料集合体を確実につかんでいない場合には吊上げができない等のインターロックを設け、圧縮空気等の駆動源が喪失した場合にも、フックから燃料集合体が外れない設計とする。

(b) 燃料取扱機の安全運転に係わるインターロックは電源喪失、ケーブル断線で安全側になる設計とする。

(c) クレーンの主要要素は、二重化を施すことなどにより、移送操作中の構内用輸送容器等の落下を防止できる設計とする。

f. 試験検査

燃料取扱設備のうち安全機能を有する機器は、適切な定期的試験及び検査を行うことができる設計とする。

また、破損燃料を取り扱う場合、燃料取扱設備は、破損形態に応じた適切な取扱手法により、移送中の放射性物質の飛散・拡散を防止できる設計とする。

(2) 構内用輸送容器

a. 除熱

使用済燃料の健全性及び構内用輸送容器構成部材の健全性が維持できるように、使用済燃料の崩壊熱を適切に除去できる設計とする。

b. 密封

周辺公衆及び放射線業務従事者に対し、放射線被ばく上の影響を及ぼすことのないよう、使用済燃料が内包する放射性物質を適切に閉じ込める設計とする。

c. 遮へい

内部に燃料を入れた場合に放射線障害を防止するため、使用済燃料の放射線を適切に遮へいする設計とする。

d. 臨界防止

想定されるいかなる場合にも、燃料が臨界に達することを防止できる設計とする。

また、破損燃料集合体を収納して輸送する容器は燃料集合体の破損形態に応じて輸送中に放射性物質の飛散・拡散を防止できる設計とする。

(3) 燃料取り出し用カバー

a. 燃料取り出し作業環境の整備

燃料取り出し用カバーは、燃料取り出し作業に支障が生じることのないよう、風雨を遮る設計とする。

また、必要に応じ燃料取り出し用カバー内にローカル空調機を設置し、カバー内の作業環境の改善を図るものとする。

b. 放射性物質の飛散・拡散防止

燃料取り出し用カバーは、隙間を低減するとともに、換気設備を設け、排気はフィルタユニットを通じて大気へ放出することにより、カバー内の放射性物質の大気への放出を抑制できる設計とする。

2.11.1.4 供用期間中に確認する項目

(1) 燃料取扱設備

燃料取扱設備は、動力源がなくなった場合においても吊り荷を保持し続けること。

(2) 構内用輸送容器

構内用輸送容器は、除熱、密封、遮へい、臨界防止の安全機能が維持されていること。

(3) 燃料取り出し用カバー

対象外とする。

2.11.1.5 主要な機器

(1) 燃料取扱設備

燃料取扱設備は、燃料取扱機、クレーンで構成する。

a. 燃料取扱機

燃料取扱機は、使用済燃料プール及びキャスクピット上を水平に移動するブリッジ並びにその上を移動するトロリで構成する。

b. クレーン

クレーンは、オペレーティングフロア上部を水平に移動するガーダ及びその上を移動するトロリで構成する。

(2) 構内用輸送容器

構内用輸送容器は、容器本体、蓋、バスケット等で構成する。

### (3) 燃料取り出し用カバー

燃料取り出し用カバーは、使用済燃料プールを覆う構造としており、必要により、燃料取扱機支持用架構及びクレーン支持用架構を有する。

また、燃料取り出し用カバーは換気設備及びフィルタユニットを有する。

なお、換気設備の運転状態やフィルタユニット出入口で監視する放射性物質濃度等の監視状態は現場制御盤及び免震重要棟集中監視室に表示され、異常時は警報を発するなどの管理を行う。

## 2.11.1.6 自然災害対策等

### (1) 津波

燃料取扱設備は、東北地方太平洋沖地震津波相当の津波が到達しないと考えられる原子炉建屋オペレーティングフロア上（地上からの高さ約30m）に設置する。

燃料取り出し用カバーは鉄骨構造と鋼製の外装材により構成されているが、閉空間になっておらず、津波襲来時には、水は燃料取り出し用カバーの裏側に回り込み、津波による影響を受けない。

### (2) 豪雨、台風、竜巻

燃料取り出し用カバーは、建築基準法及び関係法令に基づいた風圧力に対し耐えられるよう設計する。

燃料取扱設備は、建築基準法及び関係法令に基づいた風圧力に対し耐えられるよう設計している燃料取り出し用カバー内に設置する。

燃料取出し用カバーは外装材で覆うことにより風雨を遮る設計とする。燃料取扱設備は、風雨を遮る設計である燃料取出し用カバー内に設置する。

### (3) 外部人為事象

外部人為事象に対する設計上の考慮については、II.1.14 参照。

### (4) 火災

燃料取り出し用カバー及び燃料取り出し用カバー内の主要構成機器は不燃性のものを使用し、電源盤については不燃性又は難燃性、ケーブルについては難燃性のものを可能な限り使用し、火災が発生することを防止する。火災の発生が考えられる箇所について、火災の早期検知に努めるとともに、消火器を設置することで初期消火活動を可能にし、火災により安全性を損なうことのないようにする。

### (5) 環境条件

燃料取扱設備については、燃料取り出し用カバーに換気設備を設け、排気はフィルタユニットを通じて大気へ放出することとしている。

燃料取り出し用カバーの外部にさらされている鉄骨部は、劣化防止を目的に、塗装を施す。

#### (6) 被ばく低減対策

放射線業務従事者が立ちに入る場所の外部放射線に係る線量率を把握し、作業時間等を管理することで、作業時の被ばく線量が法令に定められた線量限度を超えないようとする。

また、放射線業務従事者の被ばく線量低減策として、大組した構造物をクレーンにてオペレーティングフロアへ吊り込むことにより、オペレーティングフロア上での有人作業の削減を図る。

### 2.11.1.7 運用

#### (1) 燃料集合体の健全性確認

使用済燃料プールに貯蔵されている燃料集合体について、移送前に燃料集合体の機械的健全性を確認する。

#### (2) 破損燃料の取り扱い

燃料集合体の機械的健全性確認において、破損が確認された燃料集合体を移送する場合には、破損形態に応じた適切な取扱手法及び収納方法により、放射性物質の飛散・拡散を防止する。

### 2.11.1.8 構造強度及び耐震性

#### (1) 構造強度

##### a. 燃料取扱設備

燃料取扱設備は、設計、材料の選定、製作及び検査について、適切と認められる規格及び基準による。

燃料取扱設備は、地震荷重等の適切な組合せを考慮しても強度上耐え得る設計とする。

##### b. 構内用輸送容器

構内用輸送容器は取扱中における衝撃、熱等に耐え、かつ、容易に破損しない設計とする。

構内用輸送容器は、設計、材料の選定、製作及び検査について適切と認められる規格及び基準によるものとする。

##### c. 燃料取り出し用カバー

燃料取り出し用カバーは、設計、材料の選定、製作及び検査について、適切と認められる規格及び基準を原則とするが、特殊な環境下での設置となるため、必要に応じ解析や試験等を用いた評価により確認する。

燃料取り出し用カバーは、燃料取扱設備を支持するために必要な構造強度を有する設計とする。

#### (2) 耐震性

a. 燃料取扱設備

(a) 燃料取扱機

燃料取扱機は、使用済燃料プール、使用済燃料貯蔵ラックへの波及的影響を考慮することとし、検討に用いる地震動として基準地震動 Ss により使用済燃料プール、使用済燃料貯蔵ラックへ落下しないことの確認を行う。

耐震性に関する評価にあたっては、「JEAG4601 原子力発電所耐震設計技術指針」に準拠することを基本とするが、必要に応じて試験結果等を用いた現実的な評価を行う。

(b) クレーン

クレーンは、使用済燃料プール、使用済燃料貯蔵ラックへの波及的影響を考慮する。クレーンは、「JEAG4601・補-1984 原子力発電所耐震設計技術指針 重要度分類・許容応力編」に基づき、通常時は使用済燃料プール上ではなく、基準地震動 Ss が発生して使用済燃料プール、使用済燃料貯蔵ラックを損傷させる可能性は少ないため、検討に用いる地震動として弾性設計用地震動 Sd により使用済燃料プール、使用済燃料貯蔵ラックへ落下しないことの確認を行う。

耐震性に関する評価にあたっては、「JEAG4601 原子力発電所耐震設計技術指針」に準拠することを基本とするが、必要に応じて試験結果等を用いた現実的な評価を行う。

b. 燃料取り出し用カバー

燃料取り出し用カバーは、その損傷による原子炉建屋、使用済燃料プール、使用済燃料貯蔵ラックへの波及的影響を考慮することとし、基準地震動 Ss により確認を行う。

耐震性に関する評価にあたっては、「JEAG4601 原子力発電所耐震設計技術指針」に準拠することを基本とするが、必要に応じて試験結果等を用いた現実的な評価を行う。

## 2.11.2 基本仕様

### 2.11.2.1 主要仕様

#### (1) 燃料取扱設備

(3号機及び4号機を除く)

##### a. 燃料取扱機

個数 1式

##### b. クレーン

個数 1式

(4号機)

##### a. 燃料取扱機

型式 燃料把握機付移床式

基数 1基

定格荷重 燃料把握機 : 450kg

補助ホイスト : 450kg

##### b. クレーン

型式 天井走行式

基数 1基

定格荷重 主巻 : 100t

補巻 : 5t

ホイスト : 10t

##### c. エリア放射線モニタ

検出器の種類 半導体検出器

計測範囲  $10^{-3} \sim 10\text{mSv/h}$

個数 2個

取付箇所 4号機 原子炉建屋 5FL (燃料取り出し用カバーオペフロ階)

(3号機)

a. 燃料取扱機

型式 燃料把握機付移床式  
基数 1基  
定格荷重 燃料把握機 : 1t  
西側補助ホイスト : 4.9t  
東側補助ホイスト : 4.9t  
テンシルトラス : 1.5t

b. クレーン

型式 床上走行式  
基数 1基  
定格荷重 主巻 : 50t  
補巻 : 5t

c. エリア放射線モニタ

検出器の種類 半導体検出器  
計測範囲  $10^{-2} \sim 10^2 \text{mSv/h}$   
個数 2個  
取付箇所 3号機 燃料取り出し用カバー 燃料取り出し作業フロア

(2) 構内用輸送容器

(3号機及び4号機を除く)

基数 1式

(4号機)

型式 NFT-22B型  
収納体数 22体  
基数 2基  
  
型式 NFT-12B型  
収納体数 12体  
基数 2基

(3号機)

種類	密封式円筒形
収納体数	7 体
基数	2 基

種類	密封式円筒形
収納体数	2 体
基数	1 基

(3) 燃料取り出し用カバー（換気設備含む）

(3号機及び4号機を除く)

個数	1 式
----	-----

(4号機)

a. 燃料取り出し用カバー

種類	鉄骨造
寸法	約 69m (南北) × 約 31m (東西) × 約 53m (地上高) (作業環境整備区画) 約 55m (南北) × 約 31m (東西) × 約 23m (オペレーティングフロア上部高さ)
個数	1 個

b. 送風機（給気フィルタユニット）

種類	遠心式
容量	25,000m <sup>3</sup> /h
台数	3 台

c. プレフィルタ（給気フィルタユニット）

種類	中性能フィルタ（袋型）
容量	25,000m <sup>3</sup> /h
台数	3 台

d. 高性能粒子フィルタ（給気フィルタユニット）

種類	高性能粒子フィルタ
容量	25,000m <sup>3</sup> /h
効率	97% (粒径 0.3 μ m) 以上
台数	3 台

e. 排風機（排気フィルタユニット）

種類	遠心式
容量	25,000m <sup>3</sup> /h
台数	3 台

f. プレフィルタ（排気フィルタユニット）

種類	中性能フィルタ（袋型）
容量	25,000m <sup>3</sup> /h
台数	3 台

g. 高性能粒子フィルタ（排気フィルタユニット）

種類	高性能粒子フィルタ
容量	25,000m <sup>3</sup> /h
効率	97% (粒径 0.3 μ m) 以上
台数	3 台

h. 放射性物質濃度測定器（排気フィルタユニット出入口）

(a) 排気フィルタユニット入口

検出器の種類	シンチレーション検出器
計測範囲	10 <sup>0</sup> ～10 <sup>4</sup> s <sup>-1</sup>
台数	1 台

(b) 排気フィルタユニット出口

排気フィルタユニット出口については、 II.2.15 放射線管理関係設備等参照

i. ダクト

(a) カバー内ダクト

種類	長方形はぜ折りダクト／鋼板ダクト
材質	溶融亜鉛めつき鋼板 (SGCC 又は SGHC) ／SS400

(b) 屋外ダクト

種類	長方形はぜ折りダクト／鋼板ダクト
材質	溶融亜鉛めつき鋼板 (SGCC 又は SGHC, ガルバニウム付着) ／SS400

(c) 柱架構ダクト

種類	柱架構
材質	鋼材

(3号機)

a. 燃料取り出し用カバー

種類	鉄骨造
寸法	約 19m (南北) × 約 57m (東西) × 約 54m (地上高) (作業環境整備区画)
	約 19m (南北) × 約 57m (東西) × 約 24m (オペレーティングフロア上部高さ)
個数	1 個

b. 排風機

種類	遠心式
容量	30,000m <sup>3</sup> /h
台数	2 台

c. プレフィルタ (排気フィルタユニット)

種類	中性能フィルタ
容量	10,000m <sup>3</sup> /h
台数	4 台

d. 高性能粒子フィルタ (排気フィルタユニット)

種類	高性能粒子フィルタ
容量	10,000m <sup>3</sup> /h
効率	97% (粒径 0.3 μm) 以上
台数	4 台

e. 放射性物質濃度測定器（排気フィルタユニット出入口）

(a) 排気フィルタユニット入口

検出器の種類 シンチレーション検出器

計測範囲  $10^{-1} \sim 10^5 \text{ s}^{-1}$

台数 1 台

(b) 排気フィルタユニット出口

排気フィルタユニット出口については、II 2.15 放射線管理関係設備等参照

f. ダクト

種類 はぜ折りダクト／鋼板ダクト

材質 ガルバリウム鋼板／SS400

## 2.11.3 添付資料

### 添付資料－1 燃料取扱設備の設計等に関する説明書

添付資料－1－1 燃料の落下防止、臨界防止に関する説明書※3

添付資料－1－2 放射線モニタリングに関する説明書※3

添付資料－1－3 燃料の健全性確認及び取り扱いに関する説明書※2

### 添付資料－2 構内用輸送容器の設計等に関する説明書

添付資料－2－1 構内用輸送容器に係る安全機能及び構造強度に関する説明書※3

添付資料－2－2 破損燃料用輸送容器に係る安全機能及び構造強度に関する説明書※1

添付資料－2－3 構内輸送時の措置に関する説明書※2

### 添付資料－3 燃料取り出し用カバーの設計等に関する説明書

添付資料－3－1 放射性物質の飛散・拡散を防止するための機能に関する説明書※3

添付資料－3－2 がれき撤去等の手順に関する説明書

添付資料－3－3 移送操作中の燃料集合体の落下※3

### 添付資料－4 構造強度及び耐震性に関する説明書

添付資料－4－1 燃料取扱設備の構造強度及び耐震性に関する説明書※3

添付資料－4－2 燃料取り出し用カバーの構造強度及び耐震性に関する説明書※3

添付資料－4－3 燃料取り出し用カバー換気設備の構造強度及び耐震性に関する説明書※3

### 添付資料－5 使用済燃料プールからの燃料取り出し工程表※3

### 添付資料－6 福島第一原子力発電所第1号機原子炉建屋カバーに関する説明書

### 添付資料－7 福島第一原子力発電所第1号機原子炉建屋カバー解体について

### 添付資料－8 福島第一原子力発電所第2号機原子炉建屋作業エリア整備に伴う干渉物 解体撤去について

### 添付資料－9 福島第一原子力発電所第2号機原子炉建屋西側外壁の開口設置について

### 添付資料－10 福島第一原子力発電所1号機原子炉建屋オペレーティングフロアのガ レキの撤去について

添付資料－10－1 福島第一原子力発電所1号機原子炉建屋オペレーティングフロ  
ア北側のガレキの撤去について

添付資料－10－2 福島第一原子力発電所1号機原子炉建屋オペレーティングフロ  
ア中央および南側のガレキの一部撤去について

添付資料－10－3 福島第一原子力発電所1号機原子炉建屋オペレーティングフロ  
ア外周鉄骨の一部撤去について

添付資料－10－4 福島第一原子力発電所1号機原子炉建屋オペレーティングフロ  
ア床上のガレキの一部撤去について

※1（3号機を除く）、※2（3号機及び4号機を除く）及び※3（3号機及び4号機を除く）の説明書については、現地工事開始前までに報告を行い、確認を受けることとする。

## 構内用輸送容器に係る安全機能及び構造強度に関する説明書（3号機）

### 1. 3号機の構内用輸送容器に係る安全機能及び構造強度

#### 1.1. 構内用輸送容器の概要

構内用輸送容器は、福島第一原子力発電所3号機使用済燃料プールに貯蔵されている使用済燃料及び新燃料（以下、「燃料」という。）の共用プールへの輸送に使用する。

これまで、3号機から共用プールへの燃料輸送には、NFT-22B型容器を使用してきたが、3号機に新設するクレーン（定格荷重：50ton）ではNFT-22B型容器（総重量：約91ton）を取扱えないことから、新たに設計・製造する容器である。

#### 1.1.1. 構内用輸送容器の構成

構内用輸送容器は、容器本体、蓋、バスケット及びトラニオンにより構成される。構内用輸送容器の概要図を図1-1-1に示す。

##### （1）容器本体

容器本体は胴、底板、中性子遮へい体、外筒で構成される。低合金鋼の胴及び底板と蓋で放射性物質を閉じ込める耐圧バウンダリを構成する。

また、主に胴及び底板の低合金鋼がガンマ線遮へい機能を有し、胴と外筒の間および底板の底部に配置されたレジンが中性子遮へい機能を有する。

##### （2）蓋

蓋は一次蓋及び二次蓋で構成する。

一次蓋はステンレス鋼であり、複数本のボルトで容器本体フランジ面に取付けられる。一次蓋にはゴム製のOリングを設け容器本体フランジ面との密封性を確保する構造となっている。一次蓋のステンレス鋼がガンマ線遮へい機能を有する。

二次蓋もステンレス鋼であり、一次蓋の上から複数本のボルトで容器本体フランジ面に取付けられる。二次蓋にもゴム製のOリングを設け、容器本体フランジ面との密封性を確保できる構造となっている。

##### （3）バスケット

バスケットは容器内において燃料集合体を所定の位置に保持するための構造物である。また、未臨界確保のためバスケットにボロン添加ステンレス鋼を使用し、バスケット外周にボロン添加アルミニウム合金板を設置している。

燃料集合体はバスケット内に装填したステンレス鋼製の使用済燃料収納缶（小）に收

納する。

#### (4) トラニオン

トラニオンは容器のクレーンでの取扱い（吊上げ）及び、構内輸送時の固縛のために容器上部及び下部にボルトで取付ける。

取扱い時（縦姿勢）は容器と吊具との接続を二重化して落下を防止するために、上部トラニオンは二対（4個）設ける。

構内輸送時（横姿勢）では上部トラニオンと下部トラニオンで架台等に固定するため、下部トラニオンは一対（2個）設ける。

#### 1.1.2. 設備仕様

##### 1.1.2.1. 構内用輸送容器の仕様

構内用輸送容器の仕様を表1-1-1に示す。

表 1-1-1 構内用輸送容器の仕様

項目	数値等
重量（t） (燃料を含む)	約 46.3
全長（m）	約 5.6
外径（m）	約 1.4
収納体数（体）	7
基数（基）	2※1

※1：バスケット（7体収納）は3個有する

##### 1.1.2.2. 構内用輸送容器に収納する燃料仕様

1.1.1.(3)に記載のとおり、バスケットに装填したステンレス鋼製の使用済燃料収納缶（小）（内寸153mm）に燃料を装填して共用プールに輸送する。

収納対象とする燃料は、3号機使用済燃料プールに貯蔵されている表1-1-2に示す燃料とする。

なお、3号機使用済燃料プールには瓦礫等が落下しており、燃料が破損している可能性があることから、破損燃料については燃料の破損状態に応じて別途検討する。

また、燃料の健全性確認及び取り扱いについては燃料取り出し開始までに、「添付資料－1－3 燃料の健全性確認及び取り扱いに関する説明書」で説明する。

表1-1-2 3号機使用済燃料プールに貯蔵されている燃料の仕様

	使用済燃料				新燃料
燃料タイプ	8×8燃料	新型 8×8 ジルコニウムライ 燃料	高燃焼度 8×8 燃料	9×9燃料 (A型)	9×9燃料 (A型)
貯蔵体数	6	36	148	324	52
最高燃焼度 (MWd/t)	34,100	39,300	43,900	51,300	—
最短冷却日 数(日) <sup>※2</sup>	10,642	6,488	2,738	1,716	—

※2：平成27年3月1日時点での冷却期間

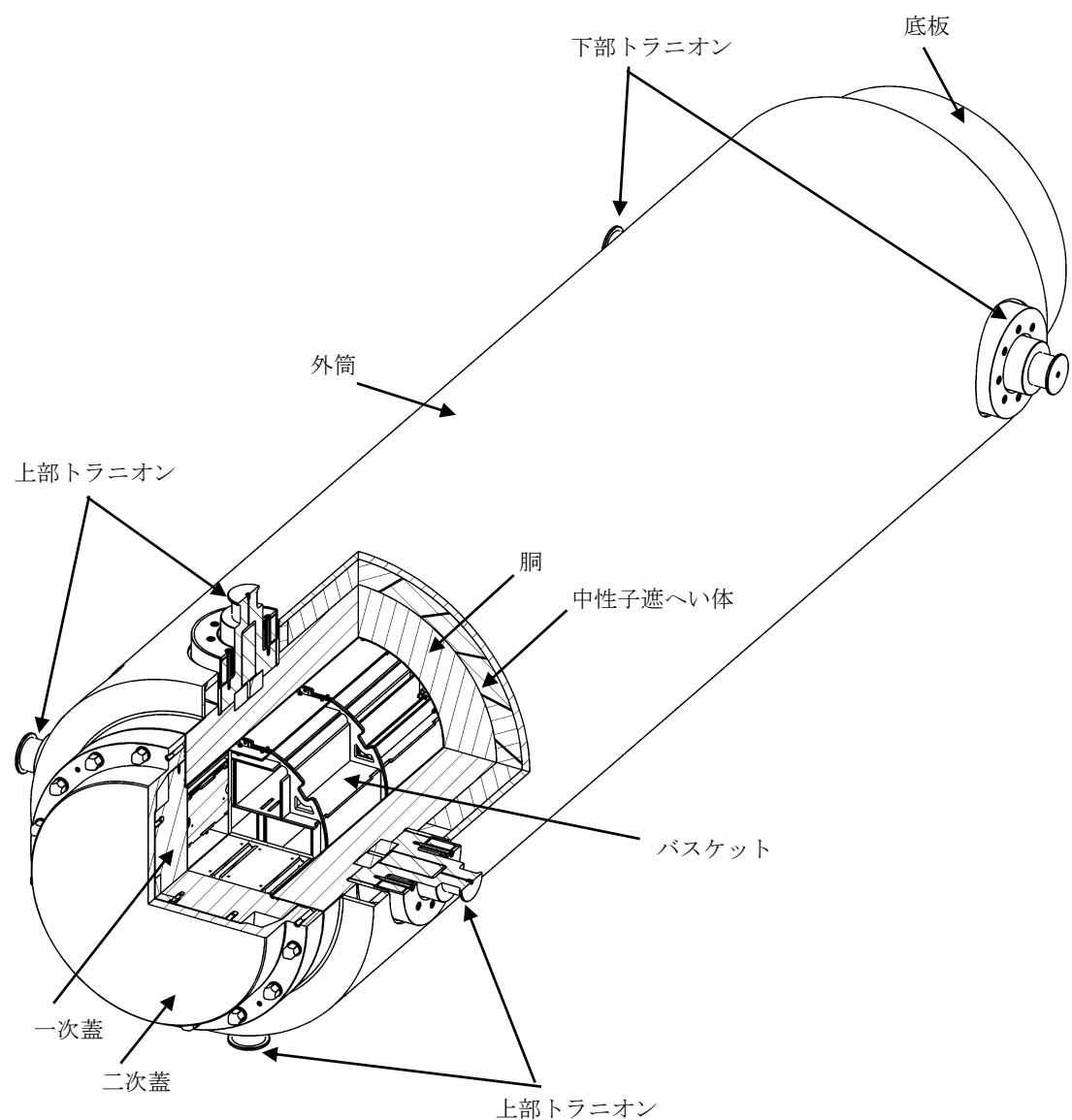


図 1-1-1 構内用輸送容器 概要図

## 1.2. 評価の基本方針

構内用輸送容器が本文 2.11.1.3 項の設計方針に示される除熱、密封、遮へい及び臨界防止の安全機能を有するとともに、本文 2.11.1.8 項の構造強度及び耐震性に示される構造強度を有する設計であることを確認する。

表 1-2-1 に評価すべき各安全機能に対する安全設計・評価の方針を示す。

表1-2-1 構内用輸送容器安全評価の基本方針

項目	設計方針	評価対象	評価方針	備考
構造強度	構内用輸送容器は取扱中における衝撃、熱等に耐え、かつ、容易に破損しない設計とする。構内用輸送容器は、設計、材料の選定、製作及び検査について適切と認められる規格及び基準によるものとする。	構内用輸送容器	構内用輸送容器の取扱手順から設計事象を抽出し、その荷重条件で発生する応力を評価する。 構造強度評価手法は、JSME S NC1-2005/2007設計・建設規格を準用する。	
除熱機能	使用済燃料の健全性及び構成部材の健全性が維持できるように、使用済燃料の崩壊熱を適切に除去できる設計とする。	燃料被覆管	収納する燃料から発生する最大崩壊熱量で容器各部及び燃料の温度を評価する。	
		構内用輸送容器		
密封機能	周辺公衆及び放射線業務従事者に対し、放射線被ばく上の影響を及ぼすことのないよう、使用済燃料が内包する放射性物質を適切に閉じ込める設計とする。	構内用輸送容器	構造強度及び除熱機能の評価結果から、設計事象において、容器密封部の健全性が維持されることを評価する。	
遮へい機能	内部に燃料を入れた場合に放射線障害を防止するため、使用済燃料の放射線を適切に遮へいする設計とする。	構内用輸送容器	収納する燃料から発生する線源強度で容器表面及び表面から1 mの線量当量率を評価する。	
臨界防止機能	想定されるいかなる場合にも燃料が臨界に達することを防止できる設計とする。	構内用輸送容器	収納する燃料の濃縮度等の条件を保守的に設定して実効増倍率を評価する。	

### 1.3. 構造強度評価

#### 1.3.1. 基本的な考え方

構内用輸送容器の構造強度の評価部位は、安全上重要な部位として容器本体（胴及び底板）、蓋、バスケット及び支持機能を有するトラニオンとする。

構造強度評価手法は、JSME S NC1-2005/2007 設計・建設規格（以下、「設計・建設規格」という。）を準用する。各評価対象部位の適用基準・規格を表 1-3-1 に示す。

表 1-3-1 構造強度に係る適用基準・規格

評価対象 部位	設計・建設規格 機器区分	構造強度 評価方法	考え方
容器本体, 蓋	クラス3容器	クラス1容器の規定を 準用	<p>容器本体及び蓋は設計・建設規格 GNR-1210 及び GNR-1220 の機器等の区分の定義より, クラス3容器に区分されると考えられる。</p> <p>圧力荷重についてはクラス3容器における規格計算式で評価することができるが, 熱荷重や取扱時の衝撃荷重等の各種の負荷荷重が発生することから, これらの荷重については, 応力解析によって発生応力を求めて評価する必要がある。</p> <p>したがって, 構造強度評価手法は, 同様な「解析による設計」の考え方が採用されているクラス1容器を準用する。</p>
バスケット	ノンクラス	炉心支持構造物の規定 を準用	<p>バスケットは設計・建設規格 GNR-1210 及び GNR-1220 の機器等の区分の定義に該当しないと考えられる。</p> <p>しかし, 容器内において燃料を支持する部材であるため, 構造強度評価手法は, 炉心支持構造物を準用する。</p>
トラニオン	クラス3支持構 造物	クラス1支持構造物の 規定を準用	<p>トラニオンは容器をクレーンで取扱うための部位であり, 輸送時は容器を支持することから, 設計・建設規格 GNR-1210 及び GNR-1220 の機器等の区分の定義より, クラス3支持構造物に区分されると考えられる。</p> <p>しかし, 容器本体との整合を取り, 構造強度評価手法はクラス1支持構造物を準用する。</p>

### 1.3.2. 設計事象の抽出

JSME S FA1-2007 金属キャスク構造規格の考え方に基づいて、構内用輸送容器の設計事象として以下を抽出した。

なお、設計事象の抽出にあたっては、図 1-3-1 に示すハンドリングフローに基づき、構内用輸送容器の取扱い及び共用プールまでの輸送において想定される起因事象に着目し、発生防止対策を考慮して事象の発生の可能性を検討した。設計事象の抽出結果を表 1-3-2 に示す。

#### 1) 設計事象 I

容器本体及び蓋には、収納する燃料の発熱により内圧及び熱による応力が発生する。

また、取扱い時及び構内輸送時の加速度により収納物及び自重による荷重がかかり、応力が発生する。

バスケットには、取扱い時及び構内輸送時の加速度により収納物及び自重による荷重がかかり、応力が発生する。

トラニオンには取扱い時の吊上げによる応力、及び構内輸送時における固縛荷重による応力が発生する。

#### 2) 設計事象 II

容器本体及び蓋には、輸送架台への衝突（取扱いモード No. 3）、搬送架台への衝突（取扱いモード No. 7）、転倒防止台座への衝突（取扱いモード No. 9）及びキャスクピットへの衝突（取扱いモード No. 10）の加速度における収納物及び自重による荷重がかかり、応力が発生する。

バスケットには、輸送架台への衝突（取扱いモード No. 3）、搬送架台への衝突（取扱いモード No. 7）、転倒防止台座への衝突（取扱いモード No. 9）及びキャスクピットへの衝突（取扱いモード No. 10）の加速度における収納物及び自重による荷重がかかり、応力が発生する。

トラニオンには、輸送架台への衝突（取扱いモード No. 3）及び搬送架台への衝突（取扱いモード No. 7）の加速度における荷重がかかり、応力が発生する。

#### 3) 設計事象 III 及び設計事象 IV

構内用輸送容器を取扱う設備及び運用においては、クレーンワイヤ及び吊具の二重化、始業前の機器の点検を実施することから、ハンドリングフローから抽出される事象のうち、構内用輸送容器の安全機能を著しく損なう事象であって、一般公衆の放射線被ばくの観点からみて重要と考えられる事象はない。

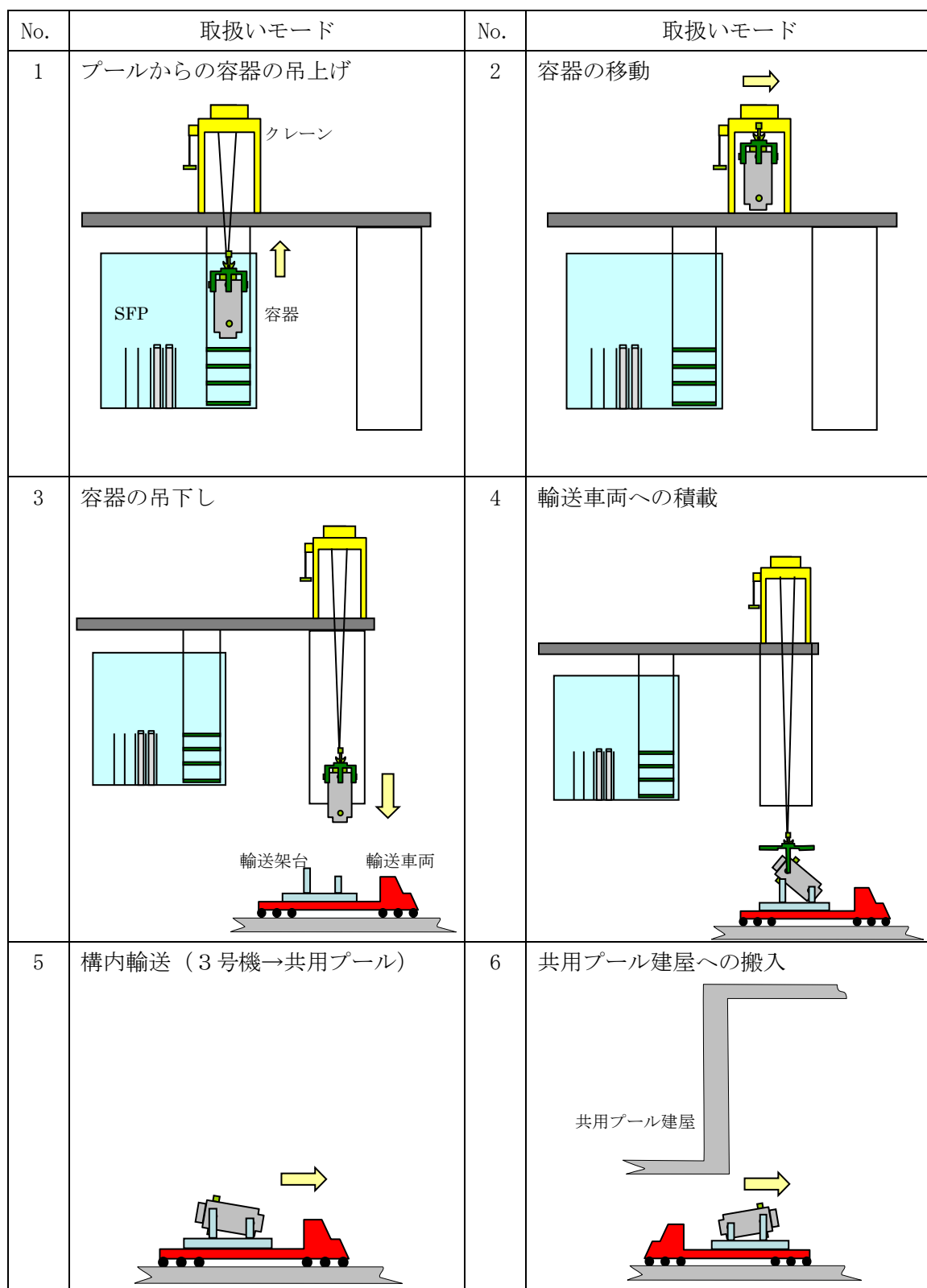


図 1-3-1 構内用輸送容器のハンドリングフロー (1/2)

No.	取扱いモード	No.	取扱いモード
7	搬送台車への積載	8	キャスク取扱室への移動
	<p>Diagram 7 illustrates the loading of a waste container onto a transport cart. A crane (クレーン) is shown lifting a cylindrical container from a conveyor belt (搬送架台) onto a transport cart (搬送台車). Arrows indicate the movement of the crane and the placement of the container onto the cart.</p>		<p>Diagram 8 illustrates the movement of a waste container from a transport cart into a handling room. A crane (クレーン) is shown moving a cylindrical container from a transport cart (搬送台車) into a designated area labeled "キャスク取扱室".</p>
9	除染ピットへの移動	10	キャスクピットへの移動
	<p>Diagram 9 illustrates the movement of a waste container into a decontamination pit. A crane (クレーン) is shown moving a cylindrical container from a transport cart (搬送台車) into a decontamination pit (除染ピット) via a turntable base (転倒防止台座).</p>		<p>Diagram 10 illustrates the movement of a waste container from a decontamination pit into a waste pit. A crane (クレーン) is shown moving a cylindrical container from a decontamination pit (除染ピット) into a waste pit (キャスクピット).</p>

図 1-3-1 構内用輸送容器のハンドリングフロー (2/2)

表 1-3-2 設計事象の抽出 (1/2)

起因事象	原因	発生の可能性・防止策	発生の有無	想定シナリオ	抽出の要否
構内用輸送容器の落下	輸送車両取扱い時の落下 (No. 5)	固定ボルトの取付け不良	以下の対策、設計により容器の落下を防止する ● 容器は輸送車両に複数のボルトで固縛されていることを確認 ● 容器は輸送車両で徐行して輸送 ● 輸送経路は輸送に関係する人及び車両以外の立入を制限	×	×
	搬送台車取扱い時の落下 (No. 8)	固定ボルトの取付け不良	以下の対策、設計により容器の落下を防止する ● 容器は搬送台車に複数のボルトで固縛されていることを確認 ● 搬送台車はレール上を走行し、走行範囲インターロック及び障害物検知装置を有している	×	×
	クレーン取扱時の落下 (No. 1, 2, 3, 4, 7, 9, 10)	吊具の取付け不良 (3号機)	以下の対策、設計により容器の落下を防止する ● 吊具の二重化 ● 始業前の吊具点検 ● 取付け後の外れ止めを設置 ● 取付け状態の ITVによる目視確認 ● 取付け状態の吊具アーム部のリミットスイッチによる確認 ● 地切り後の ITVによる取付け状態の確認、クレーンの荷重確認	×	×
		吊具の取付け不良 (共用プール)	以下の対策、設計により容器の落下を防止する ● 吊具の二重化 ● 始業前の吊具点検 ● 取付け後の外れ止めを設置 ● 取付け状態の作業員による確認	×	×
	ワイヤーロープ及び吊具の破断 (3号機)		以下の対策、設計により容器の落下を防止する ● ワイヤーロープ及び吊具の二重化 ● 始業前のワイヤーロープ、吊具点検	×	×
	ワイヤーロープ及び吊具の破断 (共用プール)		以下の対策、設計により容器の落下を防止する ● ワイヤーロープ及び吊具の二重化 ● 始業前のワイヤーロープ、吊具点検	×	×

表 1-3-2 設計事象の抽出 (2/2)

起因事象	原因	発生の可能性・防止策	発生の有無	想定シナリオ	抽出の要否
構内用輸送容器の衝突	クレーン移動時(走行、横行)の衝突 (No. 2, 7, 9, 10)	ブレーキの故障 (3号機)	以下の対策、設計により容器は他の構築物等へ衝突を防止する ● ITVにより移動経路に障害物がないことの確認 ● 走行及び横行それぞれの制御盤（シーケンサ、インバータ等）による停止機能の作動	×	×
		ブレーキの故障 (共用プール)	以下の対策、設計により容器は他の構築物等へ衝突を防止する ● 容器移動前に移動経路に障害物がないことの確認 ● 走行及び横行それぞれの制御盤（シーケンサ、インバータ等）による停止機能の作動	×	×
		操作員の誤操作 (3号機)	以下の対策、設計により構内輸送容器は他の構築物等へ衝突を防止する ● クレーンの横行走行範囲に制限機能を設定 ● ITVにより移動経路に障害物がないことの確認	×	×
		操作員の誤操作 (共用プール)	以下の対策、設計により構内輸送容器は他の構築物等へ衝突を防止する ● クレーンの横行走行範囲に制限機能を設定 ● 容器移動前に移動経路に障害物がないことの確認	×	×
	クレーン吊下げ時の衝突（垂直吊り） (No. 3, 4, 9, 10)	ブレーキの故障	以下の設計により容器の輸送架台、転倒防止台座あるいはキャスクピットへ衝突を防止する ● 卷上げ装置ブレーキを二重化	×	×
		操作員の誤操作	吊下げ時の誤操作により、容器は巻下げ速度で輸送架台、転倒防止台座あるいはキャスクピットに衝突する可能性がある。	○	クレーンの最大巻下げ速度 0.025m/s で、構内用輸送容器が輸送架台、転倒防止台座、キャスクピットに衝突する場合を、設計事象として抽出。
	クレーン吊下げ時の衝突（水平吊り） (No. 7)	ブレーキの故障	以下の設計により容器の搬送架台へ衝突を防止する ● 卷上げ装置ブレーキを二重化	×	×
		操作員の誤操作	吊下げ時の誤操作により、容器は巻下げ速度で搬送架台に衝突する可能性がある。	○	クレーンの最大巻下げ速度 0.025m/s で、容器が搬送架台に衝突する場合を、設計事象として抽出。

### 1.3.3. 設計事象の荷重条件

前項で抽出した設計事象について、構内用輸送容器に発生する荷重を評価する。

#### 1) 内圧

内圧は、除熱評価結果から設定した容器内部水の温度 (°C) から、下記の通り設定した。

##### ① 容器内部水及び気体の熱膨張を考慮した場合の内圧

###### (a) 容器本体及び一次蓋の内圧

容器本体及び一次蓋の内圧は 0.6 (MPa) とする。

###### (b) 二次蓋の内圧

二次蓋の内圧は 0.45 (MPa) とする。

##### ② 容器内部水及び気体の熱膨張に加えて、燃料破損による燃料棒内のガス放出を考慮した場合の内圧（最高使用圧力）

###### (a) 容器本体及び一次蓋の最高使用圧力

容器本体及び一次蓋の最高使用圧力は 2.0 (MPa) とする。

###### (b) 二次蓋の最高使用圧力

二次蓋の最高使用圧力は 1.4 (MPa) とする。

##### ③ 試験時圧力

###### (a) 容器本体及び一次蓋の試験時圧力

容器本体及び一次蓋の試験時圧力は 3.0 (MPa) とする。

###### (b) 二次蓋の試験時圧力

二次蓋の試験時圧力は 2.1 (MPa) とする。

#### 2) 热荷重

構内用輸送容器に発生する熱応力は除熱評価結果より得られた温度分布を用いて評価する。

#### 3) 設計事象 I の加速度

取扱い時及び構内輸送時の加速度

##### ①取扱い時（吊上げ時）

構内用輸送容器を吊り上げる際に発生する加速度は以下のとおり。なお、吊上げ時の姿勢は縦姿勢である。

- ・容器軸方向加速度 : 1.32 (G)

##### ②構内輸送時

構内用輸送容器を構内輸送する際に発生する加速度は以下のとおり。なお、構内輸送時の姿勢は横姿勢である。

- ・前後方向加速度 : 2.0 (G)

- ・上方向加速度 : 2.0 (G)
- ・下方向加速度 : 3.0 (G) (自重を考慮)
- ・左右方向加速度 : 1.0 (G)

#### 4) 設計事象Ⅱの加速度の導出

事象発生時に構内用輸送容器が有する運動エネルギーを被衝突物（輸送架台，搬送架台，転倒防止台座）の弾性により吸収するとして，発生する衝撃加速度を計算した。衝撃加速度の計算方法と結果を以下に示す。

##### ①輸送架台への衝突（取扱いモード No. 3）

縦姿勢で構内用輸送容器の下部トラニオンが輸送架台後部支持脚にクレーンの巻下げ速度（0.025m/s）で衝突する場合について評価する。

構内用輸送容器の有する運動エネルギーを輸送架台後部支持脚のひずみエネルギーで吸収するとして，(1)式で構内用輸送容器に生じる衝撃加速度を求める。

$$\alpha = 1 + \sqrt{1 + \frac{K \cdot V^2}{m \cdot g^2}} \quad (1)$$

ただし， $\alpha$ ：衝撃加速度 (G)

$K$ ：輸送架台後部支持脚の圧縮変形バネ定数 ( $2.882 \times 10^{10} \text{N/m}$ )

$V$ ：クレーンの巻下げ速度 (0.025m/s)

$m$ ：構内用輸送容器の質量 ( $4.63 \times 10^4 \text{kg}$ )

$g$ ：重力加速度 ( $9.8 \text{m/s}^2$ )

発生する衝撃加速度は 3.25G となり，余裕をみて 4.0G を評価加速度とする。

##### ②構内用輸送容器の搬送台車上の搬送架台への衝突（取扱いモード No. 7）

横姿勢で構内用輸送容器を搬送台車上の搬送架台に積載する際に，構内用輸送容器が搬送台車上の搬送架台に共用プールの天井クレーンの巻下げ速度（0.025m/s）で衝突する場合について評価する。

構内用輸送容器を剛体として，構内用輸送容器の有する運動エネルギーを搬送架台支持脚のひずみエネルギーで吸収するとして，(1)式で構内用輸送容器に生じる衝撃加速度を求める。

ただし， $K$ ：搬送架台前後部支持脚の圧縮変形バネ定数 ( $5.738 \times 10^{10} \text{N/m}$ )

$V$ ：共用プールの天井クレーンの巻下げ速度 (0.025m/s)

発生する衝撃加速度は 4.01G となり，余裕をみて 5.0G を評価加速度とする。

##### ③転倒防止台座への衝突及びキャスクピット床面への衝突（取扱いモード No. 9, 10）

縦姿勢で構内用輸送容器が転倒防止台座に共用プールの天井クレーンの巻下げ速

度（0.025m/s）で衝突する場合及び、転倒防止台座を取り付けた構内用輸送容器がキャスクピット床面に共用プールの天井クレーンの巻下げ速度（0.025m/s）で衝突する場合について評価する。

床面を剛体として、容器の有する運動エネルギーを転倒防止台座のひずみエネルギーで吸収するとして、（1）式で構内用輸送容器に生じる衝撃加速度を求める。

ただし、K：転倒防止台座の圧縮変形バネ定数（ $4.407 \times 10^{11} \text{N/m}$ ）

V：共用プールの天井クレーンの巻下げ速度（0.025m/s）

発生する衝撃加速度は8.93Gとなり、余裕をみて9.0Gを評価加速度とする。

5) 各設計事象における荷重条件

構内用輸送容器の各設計事象における荷重条件を表 1-3-3～表 1-3-5 に示す。なお、構内用輸送容器の設計事象及び荷重条件については、抽出された事象のうち最大の荷重が作用する場合について示す。

表 1-3-3 荷重条件（容器本体及び蓋）(1/2)

設計事象	代表事象	包絡される事象	荷重条件
I	設計時	—	最高使用圧力 : 2.0MPa (二次蓋は 1.4MPa) ボルト初期締付け力 以下の荷重のうち最大となるもの ・構内輸送時荷重 ・吊上げ時荷重 ・搬送架台への衝突時荷重 ・転倒防止台座への衝突時荷重
	構内輸送時	—	内圧 : 0.6MPa (二次蓋は 0.45MPa) ボルト初期締付け力 構内輸送時荷重 上方向 : 2.0G 下方向 : 3.0G (自重を考慮) 前後方向 : 2.0G 左右方向 : 1.0G 熱荷重
	吊上げ時	—	内圧 : 0.6MPa (二次蓋は 0.45MPa) ボルト初期締付け力 吊上げ荷重 下方向 : 1.32G (自重を考慮) 熱荷重

表 1-3-3 荷重条件（容器本体及び蓋）(2/2)

設計事象	代表事象	包絡される事象	荷重条件
II	搬送架台への衝突 (取扱いモード No. 7)	—	内圧 : 0.6MPa (二次蓋は 0.45MPa) ボルト初期締付け力 搬送架台への衝突時荷重 下方向 : 5.0G (自重を考慮) 熱荷重
	転倒防止台座への衝突 (取扱いモード No. 9) キャスクピットへの衝突 (取扱いモード No. 10)	輸送架台への衝突 (取扱いモード No. 3)	内圧 : 0.6MPa (二次蓋は 0.45MPa) ボルト初期締付け力 転倒防止台座への衝突時荷重 下方向 : 9.0G (自重を考慮) 熱荷重
試験状態	試験時	—	試験時圧力 : 3.0MPa (二次蓋は 2.1MPa) ボルト初期締付け力

表 1-3-4 荷重条件（バスケット）

設計事象	代表事象	包絡される事象	荷重条件
設計条件	設計時	—	搬送架台への衝突時荷重 下方向 : 5.0G (自重を考慮)
I	構内輸送時	吊上げ時	構内輸送時荷重 上方向 : 2.0G 下方向 : 3.0G (自重を考慮) 前後方向 : 2.0G 左右方向 : 1.0G
II	搬送架台への衝突 (取扱いモード No. 7)	—	搬送架台への衝突時荷重 下方向 : 5.0G (自重を考慮)
	転倒防止台座への衝突 (取扱いモード No. 9) キャスクピットへの衝突 (取扱いモード No. 10)	輸送架台への衝突 (取扱いモード No. 3)	転倒防止台座への衝突時荷重 下方向 : 9.0G (自重を考慮)

\*1 設計時のうち荷重条件が最も厳しいのは搬送架台への衝突荷重である

表 1-3-5 荷重条件（トラニオン）

構内用輸送容器の評価事象及び荷重条件			
設計事象	代表事象	包絡される事象	荷重条件
I	構内輸送時	—	構内輸送時荷重 上方向：2.0G 下方向：3.0G (自重を考慮) 前後方向：2.0G 左右方向：1.0G
	吊上げ時	—	吊上げ荷重 下方向：1.32G (自重を考慮)
II	輸送架台への衝突 (取扱いモード No. 3)	搬送架台への衝突 (取扱いモード No. 7) *1	輸送架台への衝突時荷重 下方向：4.0G (自重を考慮)

\*1 輸送架台への衝突（取扱いモード No. 3）は垂直姿勢で衝突するためトラニオンの荷重負担本数は2本であるのに対して、搬送架台への衝突（取扱いモード No. 7）では横姿勢で衝突するためトラニオンの荷重負担本数は4本である。このため、構内用輸送容器への荷重は取扱いモード No. 7 の方が大きいものの、トラニオンあたりに作用する荷重は取扱いモード No. 3 の方が大きくなる。以上から、設計事象としては取扱いモード No. 3 が抽出される。

#### 1.3.4. 設計基準

##### 1) 容器本体及び蓋

容器本体及び蓋は設計・建設規格 クラス 1 容器に関する規定 PVB-3000 に準じて評価を実施する。容器本体及び蓋の許容応力を表 1-3-6～表 1-3-11 に示す。

###### ① 設計条件における許容応力

設計条件における一次応力は以下の許容応力を上回らないことを確認する。

###### (a) 一次一般膜応力 ( $P_m$ )

$$P_m \leq S_m$$

###### (b) 一次局部膜応力 ( $P_L$ )

$$P_L \leq 1.5S_m$$

###### (c) 一次膜+一次曲げ応力 ( $P_L + P_b$ )

$$P_L + P_b \leq 1.5S_m$$

###### (d) ボルトの平均引張応力 ( $\sigma_m$ )

$$\sigma_m \leq S_m$$

###### ② 設計事象 I, II における許容応力

設計事象 I, II における応力は以下の許容応力を上回らないことを確認する。

###### (a) 一次+二次応力 ( $P_L + P_b + Q$ )

$$P_L + P_b + Q \leq 3S_m$$

###### (b) 平均せん断応力 ( $\tau$ )

$$\tau \leq 0.6S_m$$

###### (c) 平均支圧応力 ( $\sigma_b$ )

$$\sigma_b \leq S_y$$

###### (d) 圧縮応力 ( $\sigma_c$ )

$$\sigma_c \leq B$$

###### (e) ボルトの平均引張応力 ( $\sigma_m$ )

$$\sigma_m \leq 2S_m$$

###### (f) ボルトの平均引張応力+曲げ応力 ( $\sigma_m + \sigma_b$ )

$$\sigma_m + \sigma_b \leq 3S_m$$

###### ③ 試験状態における許容応力

試験状態における一次応力は以下の許容応力を上回らないことを確認する。

###### (a) 一次一般膜応力 ( $P_m$ )

$$P_m \leq 0.9S_y$$

###### (b) 一次局部膜応力 ( $P_L$ )

$$P_L \leq 1.5(0.9S_y)$$

(c) 一次一般膜+一次曲げ応力 ( $P_m + P_b$ )

$$P_m + P_b \leq 1.5 (0.9 S_y)$$

## 2) バスケット

バスケットは設計・建設規格 炉心支持構造物に関する規定 CSS-3000 に準じて評価を実施する。バスケットの許容応力を表 1-3-12 に示す。

### ① 設計条件における許容応力

設計条件における一次応力は以下の許容応力を上回らないことを確認する。

(a) 一次一般膜応力 ( $P_m$ )

$$P_m \leq S_m$$

(b) 一次一般膜+一次曲げ応力 ( $P_m + P_b$ )

$$P_m + P_b \leq 1.5 S_m$$

### ② 設計事象 I, IIにおける許容応力

設計事象 I, IIにおける応力は以下の許容応力を上回らないことを確認する。

(a) 一次+二次応力 ( $P_m + P_b + Q$ )

$$P_m + P_b + Q \leq 3 S_m$$

(b) 平均せん断応力 ( $\tau$ )

$$\tau \leq 0.6 S_m$$

(c) 平均支圧応力 ( $\sigma_b$ )

$$\sigma_b \leq S_y$$

(d) 軸圧縮応力 ( $\sigma_c$ )

$$\sigma_c \leq f_c$$

## 3) トラニオン

トラニオン及びトラニオン取付けボルトは以下に示すとおり、設計・建設規格 クラス 1 支持構造物に関する規定 SSB-3000 に準じて評価を実施する。

設計事象 I, IIにおけるトラニオン及びトラニオン取付けボルトの許容応力を表 1-3-13, 表 1-3-14 に示す。

### ① トラニオンの一次応力の許容応力

一次応力は以下の許容応力を上回らないことを確認する。

(a) 引張応力 ( $\sigma_t$ )

$$\sigma_t \leq f_t$$

(b) せん断応力 ( $\sigma_s$ )

$$\sigma_s \leq f_s$$

(c) 圧縮応力 ( $\sigma_c$ )

$$\sigma_c \leq f_c$$

(d) 曲げ応力 ( $\sigma_b$ )

$$\sigma_b \leq f_b$$

(e) 組合せ応力 ( $\sigma_T$ )

$$\sigma_T \leq f_t$$

## ② トラニオンの一次+二次応力の許容応力

一次+二次応力は以下の許容応力を上回らないことを確認する。

(a) 引張応力及び圧縮応力 ( $\sigma_t$ )

$$\sigma_t \leq 3f_t$$

(b) せん断応力 ( $\sigma_s$ )

$$\sigma_s \leq 3f_s$$

(c) 曲げ応力 ( $\sigma_b$ )

$$\sigma_b \leq 3f_b$$

## ③ トラニオン取付けボルトの許容応力

応力は以下の許容応力を上回らないことを確認する。

(a) 引張応力 ( $\sigma_t$ )

$$\sigma_t \leq f_t$$

表 1-3-6 脈及び底板の許容応力

設計事象	応力分類	記号	許容値 [MPa]	備考
設計条件	一次一般膜応力	$P_m$	123	
	一次局部膜応力	$P_L$	184	
	一次膜+曲げ応力	$P_L+P_b$	184	
設計事象 I , II	一次+二次応力	$P_L+P_b+Q$	369	
	平均せん断応力	$\tau$	73	
	平均支圧応力	$\sigma_b$	184	
	圧縮応力	$\sigma_c$	95	
試験状態	一次一般膜応力	$P_m$	165	
	一次局部膜応力	$P_L$	247	
	一次一般膜+曲げ応力	$P_m+P_b$	247	

材質： GLF1 相当材 (ASTM A350M Gr. LF5 Cl. 1)

設計温度： 135 (°C)

表 1-3-7 一次蓋の許容応力

設計事象	応力分類	記号	許容値 [MPa]	備考
設計条件	一次一般膜応力	$P_m$	137	
	一次局部膜応力	$P_L$	205	
	一次膜+曲げ応力	$P_L+P_b$	205	
設計事象 I , II	一次+二次応力	$P_L+P_b+Q$	411	
試験状態	一次一般膜応力	$P_m$	153	
	一次局部膜応力	$P_L$	229	
	一次一般膜+曲げ応力	$P_m+P_b$	229	

材質： SUSF304

設計温度： 100 (°C)

表 1-3-8 ポートカバーの許容応力

設計事象	応力分類	記号	許容値 [MPa]	備考
設計条件	一次一般膜応力	$P_m$	137	
	一次局部膜応力	$P_L$	205	
	一次膜+曲げ応力	$P_L + P_b$	205	
設計事象 I, II	一次+二次応力	$P_L + P_b + Q$	411	
試験状態	一次一般膜応力	$P_m$	143	
	一次局部膜応力	$P_L$	214	
	一次一般膜+曲げ応力	$P_m + P_b$	214	

材質： SUS304

設計温度： 135 (°C)

表 1-3-9 二次蓋、二次蓋ポートカバーの許容応力

設計事象	応力分類	記号	許容値 [MPa]	備考
設計条件	一次一般膜応力	$P_m$	137	
	一次局部膜応力	$P_L$	205	
	一次膜+曲げ応力	$P_L + P_b$	205	
設計事象 I, II	一次+二次応力	$P_L + P_b + Q$	411	
試験状態	一次一般膜応力	$P_m$	155	
	一次局部膜応力	$P_L$	232	
	一次一般膜+曲げ応力	$P_m + P_b$	232	

材質： SUSF304

設計温度： 95 (°C)

表 1-3-10 一次蓋ボルト、二次蓋ボルト、ポートカバーボルトの許容応力

設計事象	応力分類	記号	許容値 [MPa]	備考
設計条件	平均引張応力	$\sigma_m$	216	
設計事象 I, II	平均引張応力	$\sigma_m$	432	
	平均引張応力+曲げ応力	$\sigma_m + \sigma_b$	648	

材質： SUS630 H1150

設計温度： 135 (°C)

表 1-3-11 二次蓋ポートカバーボルトの許容応力

設計事象	応力分類	記号	許容値 [MPa]	備考
設計条件	平均引張応力	$\sigma_m$	223	
設計事象 I, II	平均引張応力	$\sigma_m$	446	
	平均引張応力+曲げ応力	$\sigma_m + \sigma_b$	669	

材質： SUS630 H1150

設計温度： 95 (°C)

表 1-3-12 バスケットの許容応力

設計事象	応力分類	記号	許容値 [MPa]	備考
設計条件	一次一般膜応力	$P_m$	133	
	一次一般膜+曲げ応力	$P_m + P_b$	199	
設計事象 I, II	一次+二次応力	$P_m + P_b + Q$	399	
	平均せん断応力	$\tau$	79	
	平均支圧応力	$\sigma_b$	150	
	軸圧縮 応力	バスケット 長手方向	34	
			84	

材質： ボロン添加ステンレス鋼

設計温度： 170 (°C)

表 1-3-13 トランニオンの許容応力

設計事象	応力分類		記号	許容値 [MPa]	備考
設計事象 I , II	一次応力	引張応力	$\sigma_t$	394	
		せん断応力	$\sigma_s$	227	
		圧縮応力	$\sigma_c$	383	
		曲げ応力	$\sigma_b$	537	
		組合せ応力 (垂直応力とせん断応力)	$\sigma_T$	394	
	一次+ 二次応力	引張応力及び圧縮応力	$\sigma_t$	1182	
		せん断応力	$\sigma_s$	681	
		曲げ応力	$\sigma_b$	1611	

材質： SUS630 H1150

設計温度： 135 (°C)

表 1-3-14 トランニオン取付けボルトの許容応力

設計事象	応力分類	記号	許容値 [MPa]	備考
設計事象 I , II	引張応力	$\sigma_t$	318	

材質： SNB23-3

設計温度： 135 (°C)

### 1.3.5. 評価方法及び評価モデル

#### 1.3.5.1. 容器本体及び蓋

容器本体及び蓋の主な構造部材の応力評価箇所を図 1-3-2～1-3-3 に示す。荷重条件は表 1-3-3 に示したとおりである。

##### 1) 設計条件

###### ① 脇, 底板, 一次蓋, 二次蓋

###### (a) 最高使用圧力, ボルト初期締付け力, 機械的荷重による応力

容器の実形状をモデル化し構造解析コード ABAQUS を用いて応力評価を行う。

###### ② ポートカバー, 二次蓋ポートカバー

###### (a) 最高使用圧力による応力

最高使用圧力により発生する一次一般膜応力( $P_m$ )及び, 一次膜+曲げ応力( $P_L + P_b$ )は(2)式で計算する。なお, 一次局部膜応力( $P_l$ )は発生しない。

$$\left. \begin{array}{l} \sigma_x = \frac{1.24 \cdot P \cdot r^2}{t^2} \\ \sigma_y = \sigma_x \\ \sigma_z = -P \end{array} \right\} \dots \dots \dots \dots \dots \dots \quad (2)$$

ここで,

$P$  : 最高使用圧力

$r$  : ポートカバーOリング平均半径

二次蓋ポートカバーは締付けボルトピッチ円半径

$t$  : ポートカバー最小板厚

###### ③ 一次蓋ボルト, 二次蓋ボルト, ポートカバーボルト, 二次蓋ポートカバーボルト

###### (a) 最高使用圧力及びガスケット締付による平均引張応力

最高使用圧力におけるボルト荷重及びガスケット(Oリング)締付時のボルト荷重により発生する平均引張応力( $\sigma_{m1}$ )は(3)式で計算する。

$$\left. \begin{array}{l} \sigma_{m1} = \frac{W_{m1}}{A} \\ W_{m1} = H + H_p \end{array} \right\} \dots \dots \dots \dots \dots \dots \quad (3)$$

ここで,

$W_{m1}$  : 必要な最小ボルト荷重

$A$  : 全数のボルト最小断面積

$H$  : フランジに加わる最高使用圧力による全荷重

$H_p$  : 気密を十分保つために, Oリング又は継手接触面にかける圧縮

力 (ゴム製Oリングのため  $H_p=0N$ )

また, ガスケット (Oリング) 締付け時の平均引張応力 ( $\sigma_m$ ) は(4)式で計算する。

$$\sigma_m = \frac{W_{m2}}{A} \quad \dots \dots \dots \dots \dots \quad (4)$$

ここで,

$W_{m2}$  : ガスケット締付時に必要な最小ボルト荷重 (ゴム製Oリングのため  $W_{m2}=0N$ )

## 2) 設計事象 I 構内輸送時

### ① 脳, 底板, 一次蓋, 二次蓋

(a) 内圧, ボルト初期締付け力, 構内輸送時の機械的荷重, 熱荷重による応力  
容器の実形状をモデル化し構造解析コード ABAQUS を用いて応力評価を行う。

### (b) 平均せん断応力

平均せん断応力 ( $\tau$ ) が発生する箇所はない。

### (c) 平均支圧応力

底板とバスケット底面との接触部に発生する平均支圧応力 ( $\sigma_b$ ) は(5)式で計算する。

$$\sigma_b = \frac{m_b \cdot G_z}{A_b} \quad \dots \dots \dots \dots \dots \quad (5)$$

ここで,

$m_b$  : バスケットの質量

$G_z$  : 後方向加速度

$A_b$  : 接触面積

### (d) 圧縮応力

脳に生じる圧縮応力 ( $\sigma_c$ ) は(6)式で計算する。

$$\sigma_c = \frac{m_c \cdot G_z}{A_c} \quad \dots \dots \dots \dots \dots \quad (6)$$

ここで,

$m_c$  : 容器の質量

$G_z$  : 後方向加速度

$A_c$  : 脳の断面積

## ② ポートカバー、二次蓋ポートカバー

最高使用圧力による応力を除き、構内輸送時の機械的荷重及び熱荷重による応力は無視できる。

一次+二次応力 ( $P_L + P_b + Q$ ) は、(2)式で計算する最高使用圧力により発生する一次膜+曲げ応力 ( $P_L + P_b$ ) となる。

## ③ 一次蓋ボルト、二次蓋ボルト、ポートカバーボルト、二次蓋ポートカバーボルト

### (a) 最高使用圧力による平均引張応力

最高使用圧力により発生する平均引張応力 ( $\sigma_{m1}$ ) は(3)式で計算する。

### (b) ボルト初期締付け力による平均引張応力

ボルト初期締付け力により発生する平均引張応力 ( $\sigma_{m3}$ ) は(7)式で計算する。

$$\sigma_{m3} = \frac{F_s}{A_s} \dots \dots \dots \dots \dots \dots \dots \quad (7)$$

ここで、

$F_s$  : ボルト初期締付け力

$A_s$  : ボルト最小断面積

### (c) 構内輸送時に作用する加速度による平均引張応力

構内輸送時に作用する加速度により発生する平均引張応力 ( $\sigma_{m4}$ ) は(8)式で計算する。

$$\sigma_{m4} = \frac{mG}{A} \dots \dots \dots \dots \dots \dots \dots \quad (8)$$

ここで、

$m$  : 作用する質量

$G$  : 加速度

$A$  : 全数のボルト最小断面積

### (d) 構内輸送時に作用する加速度による曲げ応力

構内輸送時に作用する加速度によって発生する曲げ応力 ( $\sigma_b$ ) は(9)式で計算する。

$$\sigma_b = \frac{1}{n} \cdot \frac{mG\ell_b}{8Z} \dots \dots \dots \dots \dots \dots \dots \quad (9)$$

ここで、

$n$  : ボルト本数

$m$  : 作用する質量

$G$  : 加速度

$\ell_b$  : ボルト長さ

$Z$  : ボルトの断面係数

なお、二次蓋ポートカバー bolt には取付け構造上、曲げ応力は発生しない。

### 3) 設計事象 I 吊上げ時

#### ① 脇、底板、一次蓋、二次蓋

(a) 内圧、ボルト初期締付け力、吊上げ時の機械的荷重、熱荷重による応力

容器の実形状をモデル化し構造解析コード ABAQUS を用いて応力評価を行う。

#### (b) 平均せん断応力

平均せん断応力 ( $\tau$ ) が発生する箇所はない。

#### (c) 平均支圧応力

底板とバスケット底面との接触部に発生する平均支圧応力 ( $\sigma_b$ ) は(5)式で計算する。

#### (d) 圧縮応力

脇に生じる圧縮応力 ( $\sigma_c$ ) は(6)式で計算する。

#### ② ポートカバー、二次蓋ポートカバー

最高使用圧力による応力を除き、吊上げ時の機械的荷重及び熱荷重による応力は無視できる。

一次+二次応力 ( $P_L + P_b + Q$ ) は、(2)式で計算する最高使用圧力により発生する一次膜+曲げ応力 ( $P_L + P_b$ ) となる。

#### ③ 一次蓋ボルト、二次蓋ボルト、ポートカバーボルト、二次蓋ポートカバーボルト

##### (a) 最高使用圧力による平均引張応力

最高使用圧力により発生する平均引張応力 ( $\sigma_{m1}$ ) は(3)式で計算する。

##### (b) ボルト初期締付け力による平均引張応力

ボルト初期締付け力により発生する平均引張応力 ( $\sigma_{m3}$ ) は(7)式で計算する。

##### (c) 吊上げ時に作用する加速度による平均引張応力

吊上げ時に作用する加速度による平均引張応力 ( $\sigma_{m4}$ ) は発生しない。

##### (d) 吊上げ時に作用する加速度による曲げ応力

吊上げ時に作用する加速度による曲げ応力 ( $\sigma_b$ ) は発生しない。

#### 4) 設計事象Ⅱ 搬送架台への衝突（横姿勢）

##### ① 脳, 底板, 一次蓋, 二次蓋

(a) 内圧, ボルト初期締付け力, 搬送架台への衝突による機械的荷重, 熱荷重による応力

容器の実形状をモデル化し構造解析コード ABAQUS を用いて応力評価を行う。

##### (b) 平均せん断応力

平均せん断応力( $\tau$ )が発生する箇所はない。

##### (c) 平均支圧応力

底板とバスケット底面との接触部に発生する平均支圧応力( $\sigma_b$ )は(5)式で計算する。

##### (d) 圧縮応力

脳に生じる圧縮応力( $\sigma_c$ )は(6)式で計算する。

##### ② ポートカバー, 二次蓋ポートカバー

最高使用圧力による応力を除き, 搬送架台への衝突による機械的荷重及び熱荷重による応力は無視できる。

一次+二次応力( $P_L+P_b+Q$ )は, (2)式で計算する最高使用圧力により発生する一次膜+曲げ応力( $P_L+P_b$ )となる。

##### ③ 一次蓋ボルト, 二次蓋ボルト, ポートカバーボルト, 二次蓋ポートカバーボルト

###### (a) 最高使用圧力による平均引張応力

最高使用圧力により発生する平均引張応力( $\sigma_{m1}$ )は(3)式で計算する。

###### (b) ボルト初期締付け力による平均引張応力

ボルト初期締付け力により発生する平均引張応力( $\sigma_{m3}$ )は(7)式で計算する。

###### (c) 搬送架台への衝突時に作用する加速度による平均引張応力

搬送架台への衝突時に作用する加速度により発生する平均引張応力( $\sigma_{m4}$ )は(8)式で計算する。

なお, 一次蓋ボルト, 二次蓋ボルト, ポートカバーボルトには, 搬送架台への衝突時に作用する加速度による平均引張応力( $\sigma_{m4}$ )は発生しない。

###### (d) 搬送架台への衝突時に作用する加速度による曲げ応力

搬送架台への衝突時に作用する加速度により発生する曲げ応力( $\sigma_b$ )は(9)式で計算する。

なお、二次蓋ポートカバーボルトには、搬送架台への衝突時に作用する加速度により曲げ応力 ( $\sigma_b$ ) は発生しない。

## 5) 設計事象II 転倒防止台座への衝突（縦姿勢）

### ① 脇、底板、一次蓋、二次蓋

(a) 内圧、ボルト初期締付け力、転倒防止台座への衝突による機械的荷重、熱荷重による応力

容器の実形状をモデル化し構造解析コード ABAQUS を用いて応力評価を行う。

### (b) 平均せん断応力

平均せん断応力 ( $\tau$ ) が発生する箇所はない。

### (c) 平均支圧応力

底板とバスケット底面との接触部に発生する平均支圧応力 ( $\sigma_b$ ) は(5)式で計算する。

### (d) 圧縮応力

脇に生じる圧縮応力 ( $\sigma_c$ ) は(6)式で計算する。

### ② ポートカバー、二次蓋ポートカバー

最高使用圧力による応力を除き、転倒防止台座への衝突による機械的荷重及び熱荷重による応力は無視できる。

一次+二次応力 ( $P_L + P_b + Q$ ) は、(2)式で計算する最高使用圧力により発生する一次膜+曲げ応力 ( $P_L + P_b$ ) となる。

### ③ 一次蓋ボルト、二次蓋ボルト、ポートカバーボルト、二次蓋ポートカバーボルト

#### (a) 最高使用圧力による平均引張応力

最高使用圧力により発生する平均引張応力 ( $\sigma_{m1}$ ) は(3)式で計算する。

#### (b) ボルト初期締付け力による平均引張応力

ボルト初期締付け力により発生する平均引張応力 ( $\sigma_{m3}$ ) は(7)式で計算する。

#### (c) 転倒防止台座への衝突時に作用する加速度による平均引張応力

転倒防止台座への衝突時に作用する加速度による平均引張応力 ( $\sigma_{m4}$ ) は発生しない。

#### (d) 転倒防止台座への衝突時に作用する加速度による曲げ応力

転倒防止台座への衝突時に作用する加速度による曲げ応力 ( $\sigma_b$ ) は発生しない。

## 6) 試験状態

- ① 脇, 底板, 一次蓋, 二次蓋
  - (a) 試験時圧力, ボルト初期締付け力による応力  
容器の実形状をモデル化し構造解析コード ABAQUS を用いて応力評価を行う。
  
- ② ポートカバー, 二次蓋ポートカバー
  - (a) 試験時の圧力による応力  
試験時圧力により発生する一次一般膜応力( $P_m$ )及び, 一次一般膜+曲げ応力( $P_m + P_b$ )は(2)式で計算する。なお, 一次局部膜応力( $P_L$ )は発生しない。

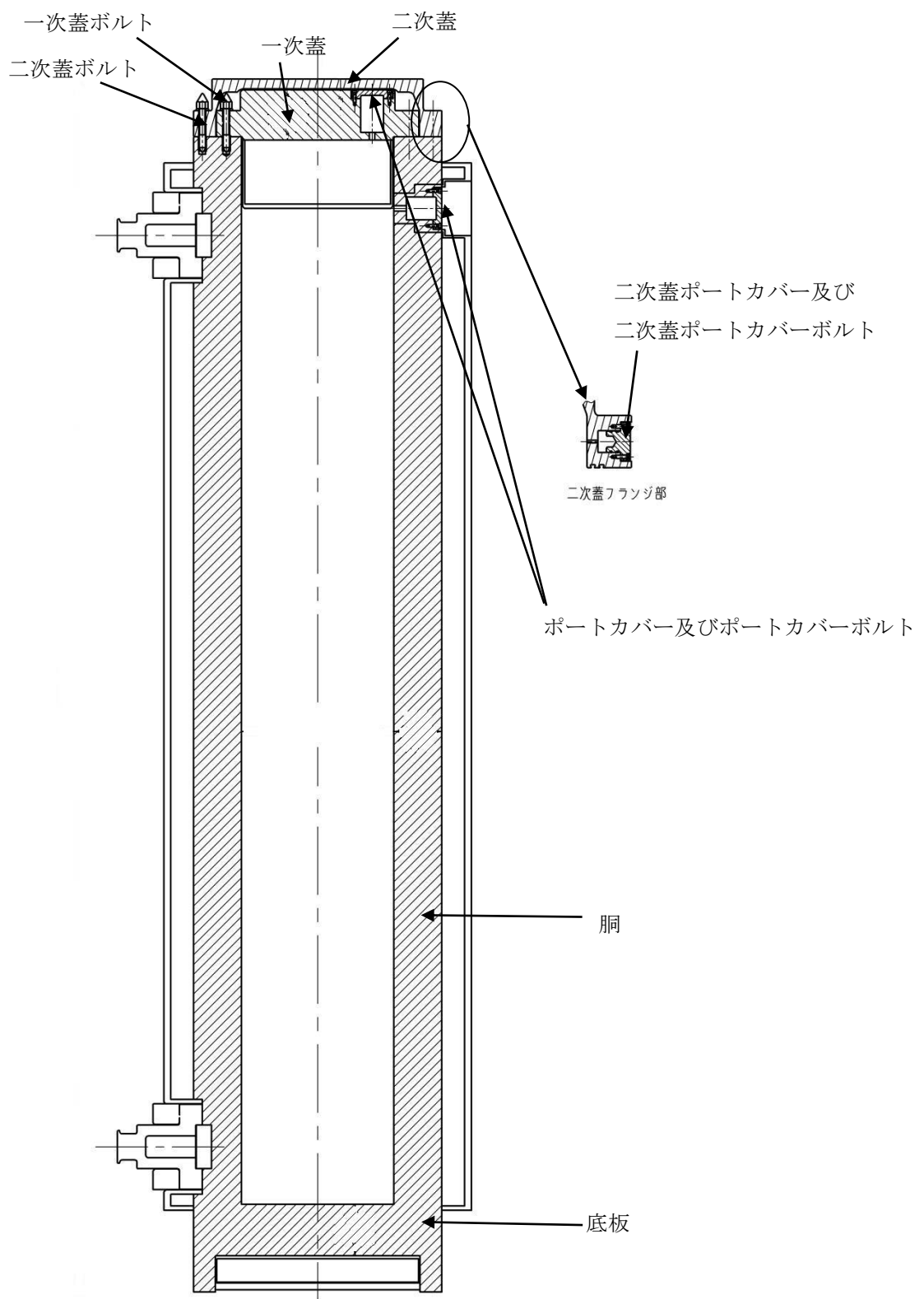


図1-3-2 容器本体及び蓋の応力評価箇所

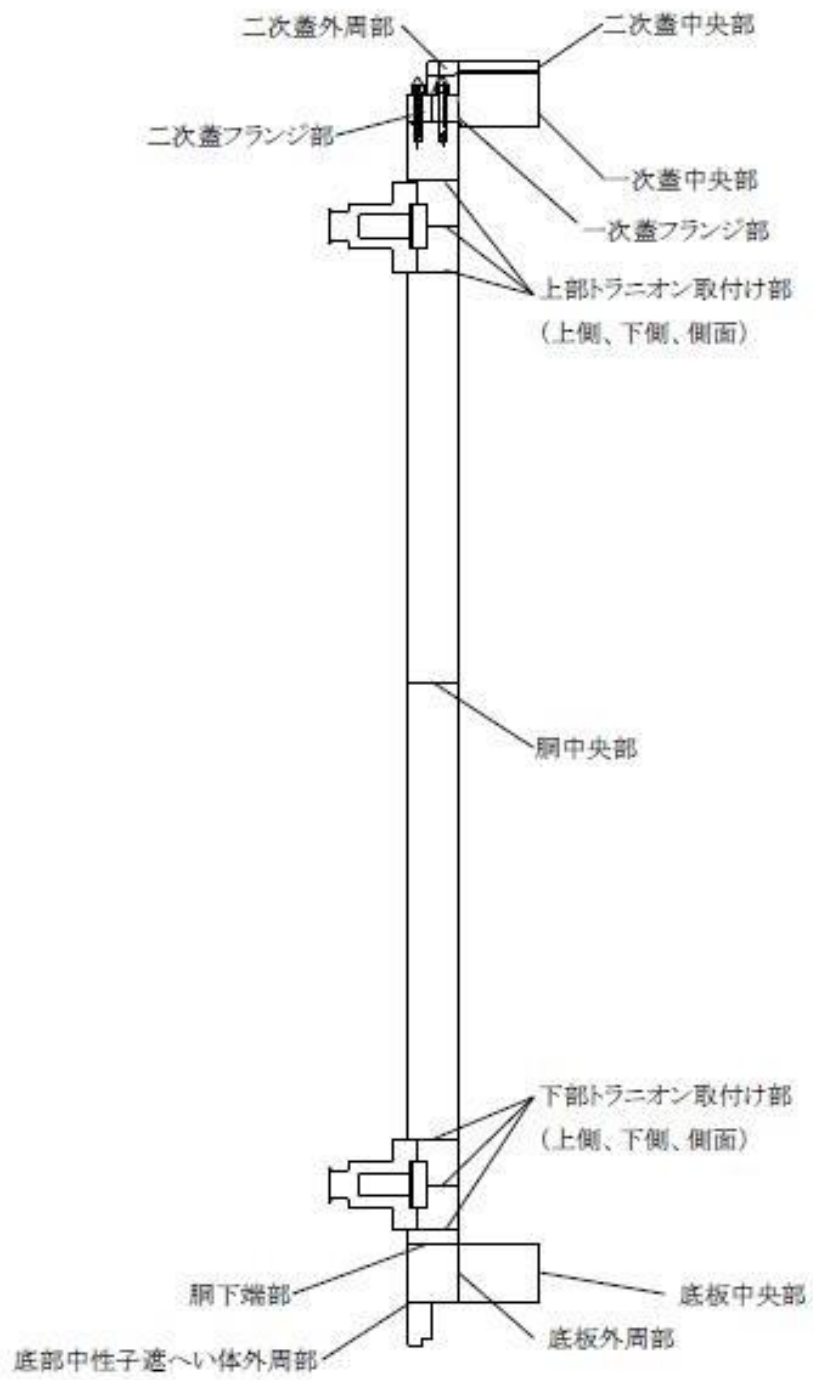


図1-3-3 容器本体及び蓋の応力評価箇所（胴、底板、蓋の詳細）





#### ④ 軸圧縮応力

最大応力が発生する箇所は図 1-3-4 の評価点②である。軸圧縮応力( $\sigma_c$ )は(10)式で計算する。

### 4) 設計事象 II 転倒防止台座への衝突 (縦姿勢)

#### ① 一次+二次応力

転倒防止台座への衝突時の荷重は枠板断面に均等に加わるため枠板には圧縮応力が発生する。また、熱荷重は発生しない。

転倒防止台座への衝突に発生する一次+二次応力( $P_m + P_b + Q$ )は(13)式で計算する。

$$P_m + P_b + Q = \frac{m_A G_Z}{A_A} \quad \dots \dots \dots \quad (13)$$

ここで、

$m_A$  : バスケットの質量

$A_A$  : 枠板の総断面積

$G_Z$  : 加速度

#### ② 平均せん断応力

平均せん断応力( $\tau$ )は発生しない。

#### ③ 平均支圧応力

平均支圧応力( $\sigma_b$ )は①一次+二次応力と同じである。

#### ④ 軸圧縮応力

軸圧縮応力( $\sigma_c$ )は①一次+二次応力と同じである。

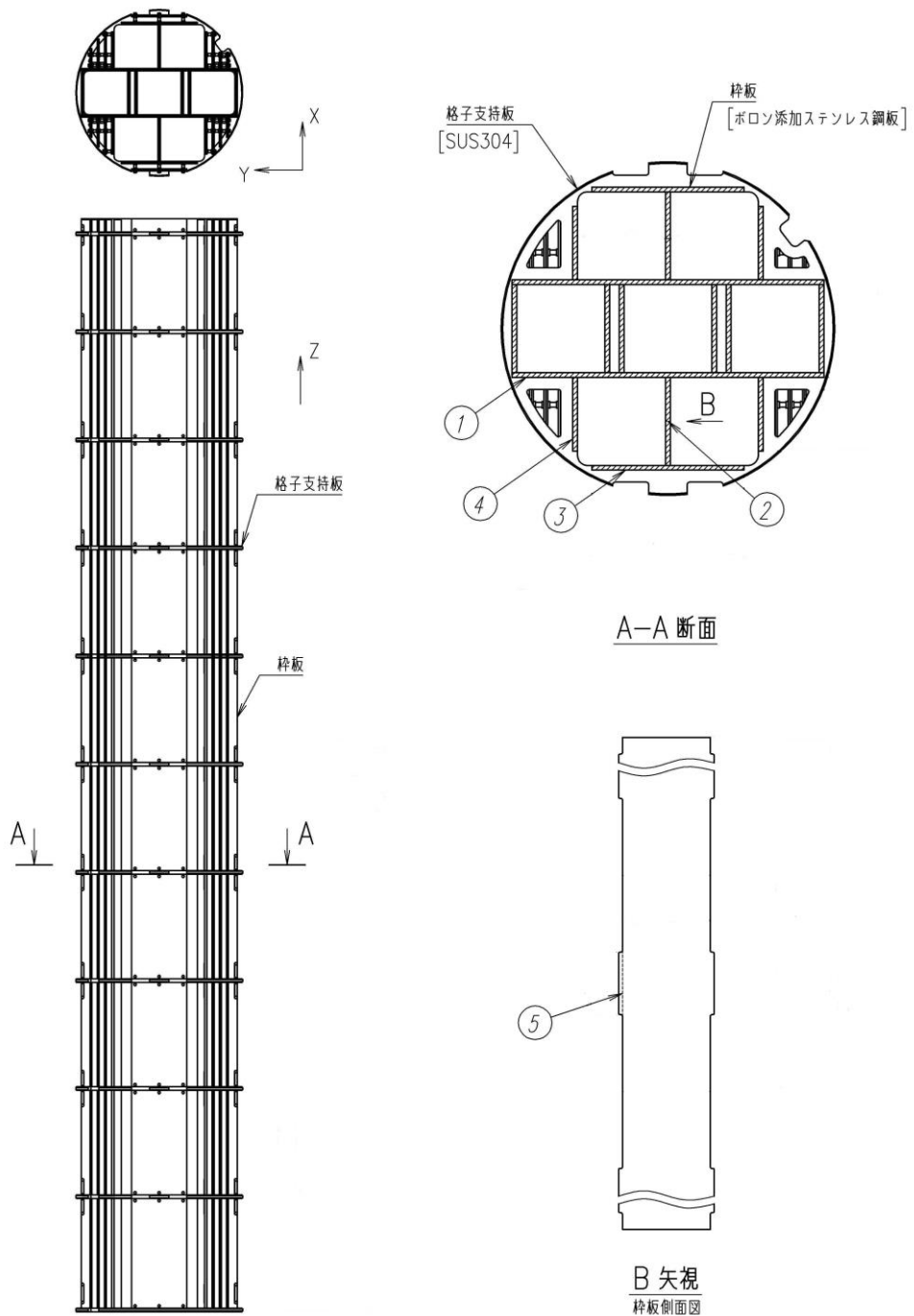


図1-3-4 バスケットの応力評価箇所

### 1.3.5.3. トラニオン

トラニオン応力評価箇所を図 1-3-5 に示す。荷重条件は表 1-3-5 に示したとおりである。

#### 1) 設計事象 I 構内輸送時

##### ① トラニオン

###### (a) せん断応力

最大応力が発生する箇所は、図 1-3-5 の下部トラニオンの評価点②である。

前後方向加速度及び下方向加速度により発生するせん断応力( $\sigma_s$ )は、(14)式で計算する。

$$\left. \begin{aligned} \sigma_s &= \frac{F_m}{A_2} \\ F_m &= \sqrt{\left(\frac{m}{4} \cdot G_x\right)^2 + \left(\frac{m}{2} \cdot G_z\right)^2} \end{aligned} \right\} \quad \dots \dots \dots \quad (14)$$

ここで、

$F_m$  : 構内輸送時に下部トラニオンに作用する荷重

$m$  : 容器の質量

$A_2$  : 評価点の断面積

$G_x$  : 下方向加速度

$G_z$  : 前後方向加速度

###### (b) 曲げ応力

最大応力が発生する箇所は、図 1-3-5 の下部トラニオンの評価点②である。前後方向加速度及び下方向加速度により発生する曲げ応力( $\sigma_b$ )は、(15)式で計算する。

$$\left. \begin{aligned} \sigma_b &= \frac{M_2}{Z_2} \\ M_2 &= F_m \cdot L_2 \end{aligned} \right\} \quad \dots \dots \dots \quad (15)$$

ここで、

$M_2$  : 評価点に生じる曲げモーメント

$Z_2$  : 評価点の断面係数

$F_m$  : 構内輸送時に下部トラニオンに作用する荷重 (14)式のとおり

$L_2$  : 評価点と荷重作用位置との距離

### (c) 引張応力及び圧縮応力

構内輸送時は図 1-3-5 の上部及び下部トラニオンと輸送架台間の摩擦力により左右方向加速度による荷重を支持する。したがって引張応力と圧縮応力が発生する箇所は、図 1-3-5 の評価点②である。左右方向加速度により発生する評価点②の引張応力 ( $\sigma_t$ ) 及び圧縮応力 ( $\sigma_c$ ) は、(16)式で計算する。

$$\left. \begin{aligned} \sigma_t = \sigma_c &= \frac{F_{m2}}{A_2} \\ F_{m2} &= \frac{m}{4} \cdot G_Y \end{aligned} \right\} \quad (16)$$

$F_{m2}$  : 構内輸送時に上部及び下部トラニオンに作用する荷重

$m$  : 容器の質量

$A_2$  : 評価点の断面積

$G_Y$  : 左右方向加速度

### (d) 組合せ応力

垂直応力 ( $\sigma$ ) とせん断応力 ( $\sigma_s$ ) との組合せ応力 ( $\sigma_T$ ) は、(17)式で計算する。

$$\left. \begin{aligned} \sigma_T &= \sqrt{\sigma^2 + 3 \cdot \sigma_s^2} \\ \sigma &= \sigma_b + \sigma_t = \sigma_b + \sigma_c \end{aligned} \right\} \quad (17)$$

ここで、

$\sigma$  : 評価点における垂直応力

$\sigma_b$  : 評価点における曲げ応力

$\sigma_t, \sigma_c$  : 評価点における引張応力及び圧縮応力

$\sigma_s$  : 評価点におけるせん断応力

また、圧縮応力 ( $\sigma_c$ ) と曲げ応力 ( $\sigma_b$ ) との組合せ応力は、(18)式で計算する。

$$\frac{|\sigma_c| + |\sigma_b|}{f_c} \leq 1 \quad \text{かつ} \quad \frac{|\sigma_b| - |\sigma_c|}{f_t} \leq 1 \quad (18)$$

ここで、 $|c \sigma_b| = |t \sigma_b| = \sigma_b$ ,  $|\sigma_c| = \sigma_c$  である。

また、引張応力 ( $\sigma_t$ ) と曲げ応力 ( $\sigma_b$ ) との組合せ応力は、(19)式で計算する。

$$\frac{|\sigma_t| + |\sigma_b|}{f_t} \leq 1 \quad \text{かつ} \quad \frac{|\sigma_b| - |\sigma_t|}{f_b} \leq 1 \quad (19)$$

ここで、 $|c \sigma_b| = |t \sigma_b| = \sigma_b$ ,  $|\sigma_b| = \sigma_t$  である。

(e) 一次+二次応力

容器の熱膨張による応力は無視できるため、トラニオンに発生する一次+二次応力は  
 (a)せん断応力( $\sigma_s$ )、(b)曲げ応力( $\sigma_b$ )、(c)引張応力( $\sigma_t$ )及び圧縮応力( $\sigma_c$ )と同じ  
 である。

② トラニオン取付けボルト

最大応力が発生する箇所は、図 1-3-5 の下部トラニオンの評価点③である。

トラニオンにモーメント荷重及び引張荷重が作用する場合にトラニオン取付けボルトに発生する引張応力( $\sigma_t$ )は、(20)式で計算する。

$$\left. \begin{aligned} \sigma_t &= \frac{M_3}{Z_b} + \frac{1}{16} \bullet \frac{F_{m2}}{S_b} \\ M_3 &= F_m \cdot L_3 \end{aligned} \right\} \dots \dots \dots \dots \dots \dots \quad (20)$$

ここで、

$F_m$  : 構内輸送時に下部トラニオンに作用する荷重 (14)式のとおり

$F_{m2}$  : 構内輸送時に上部及び下部トラニオンに作用する荷重

$L_3$  : 評価点と荷重作用位置との距離

$Z_b$  : トラニオン取付けボルトの断面係数

$S_b$  : トラニオン取付けボルトの最小断面積

2) 設計事象 I 吊上げ時

① トラニオン

(a) せん断応力

最大応力が発生する箇所は、図 1-3-5 の上部トラニオンの評価点①である。

吊上げ荷重により発生するせん断応力( $\sigma_s$ )は、(21)式で計算する。

$$\left. \begin{aligned} \sigma_s &= \frac{F_{m3}}{A_1} \\ F_{m3} &= \frac{m}{2} \bullet G_z \end{aligned} \right\} \dots \dots \dots \dots \dots \dots \quad (21)$$

ここで、

$F_{m3}$  : 吊上げ時に上部トラニオンに作用する荷重

$m$  : 容器の質量

$A_1$  : 評価点の断面積

$G_z$  : 吊上げ加速度

(b) 曲げ応力

最大応力が発生する箇所は、図 1-3-5 の上部トラニオンの評価点①である。吊上げ荷重により発生する曲げ応力( $\sigma_b$ )は、(15)式で計算する。

(c) 引張応力及び圧縮応力

吊上げ時には引張応力( $\sigma_t$ )及び圧縮応力( $\sigma_c$ )は発生しない。

(d) 組合せ応力

垂直応力( $\sigma$ )と曲げ応力( $\sigma_b$ )との組合せ応力( $\sigma_T$ )は、(17)式で計算する。

(e) 一次+二次応力

容器の熱膨張による応力は無視できるため、トラニオンに発生する一次+二次応力は

(a)せん断応力( $\sigma_s$ ), (b)曲げ応力( $\sigma_b$ )と同じである。

② トラニオン取付けボルト

最大応力が発生する箇所は、図 1-3-5 の上部トラニオンの評価点③である。

トラニオンにモーメント荷重が作用する場合にトラニオン取付けボルトに発生する引張応力( $\sigma_t$ )は、(22)式で計算する。

$$\left. \begin{aligned} \sigma_t &= \frac{M_3}{Z_b} \\ M_3 &= F_{m3} \cdot L_3 \end{aligned} \right\} \dots \dots \dots \dots \dots \dots \quad (22)$$

ここで、

$M_3$  : 評価点に生じる曲げモーメント

$L_3$  : 評価点と荷重作用位置との距離

$Z_b$  : トラニオン取付けボルトの断面係数

3) 設計事象 II 輸送架台への衝突

① トラニオン

(a) せん断応力

最大応力が発生する箇所は、図 1-3-5 の下部トラニオンの評価点②である。

衝突荷重により発生するせん断応力( $\sigma_s$ )は、(21)式で計算する。

(b) 曲げ応力

最大応力が発生する箇所は、図 1-3-5 の下部トラニオンの評価点②である。衝突荷重により発生する曲げ応力( $\sigma_b$ )は、(15)式で計算する。

(c) 引張応力及び圧縮応力

輸送架台への衝突時には引張応力( $\sigma_t$ )及び圧縮応力( $\sigma_c$ )は発生しない。

(d) 組合せ応力

垂直応力( $\sigma$ )とせん断応力( $\sigma_s$ )との組合せ応力( $\sigma_T$ )は、(17)式で計算する。

(e) 一次+二次応力

容器の熱膨張による応力は無視できるため、トラニオンに発生する一次+二次応力は

(a) せん断応力( $\sigma_s$ )、(b) 曲げ応力( $\sigma_b$ )と同じである。

② トラニオン取付けボルト

最大応力が発生する箇所は、図 1-3-5 の下部トラニオンの評価点③である。

トラニオンにモーメント荷重が作用する場合にトラニオン取付けボルトに発生する引張応力( $\sigma_t$ )は、(22)式で計算する。

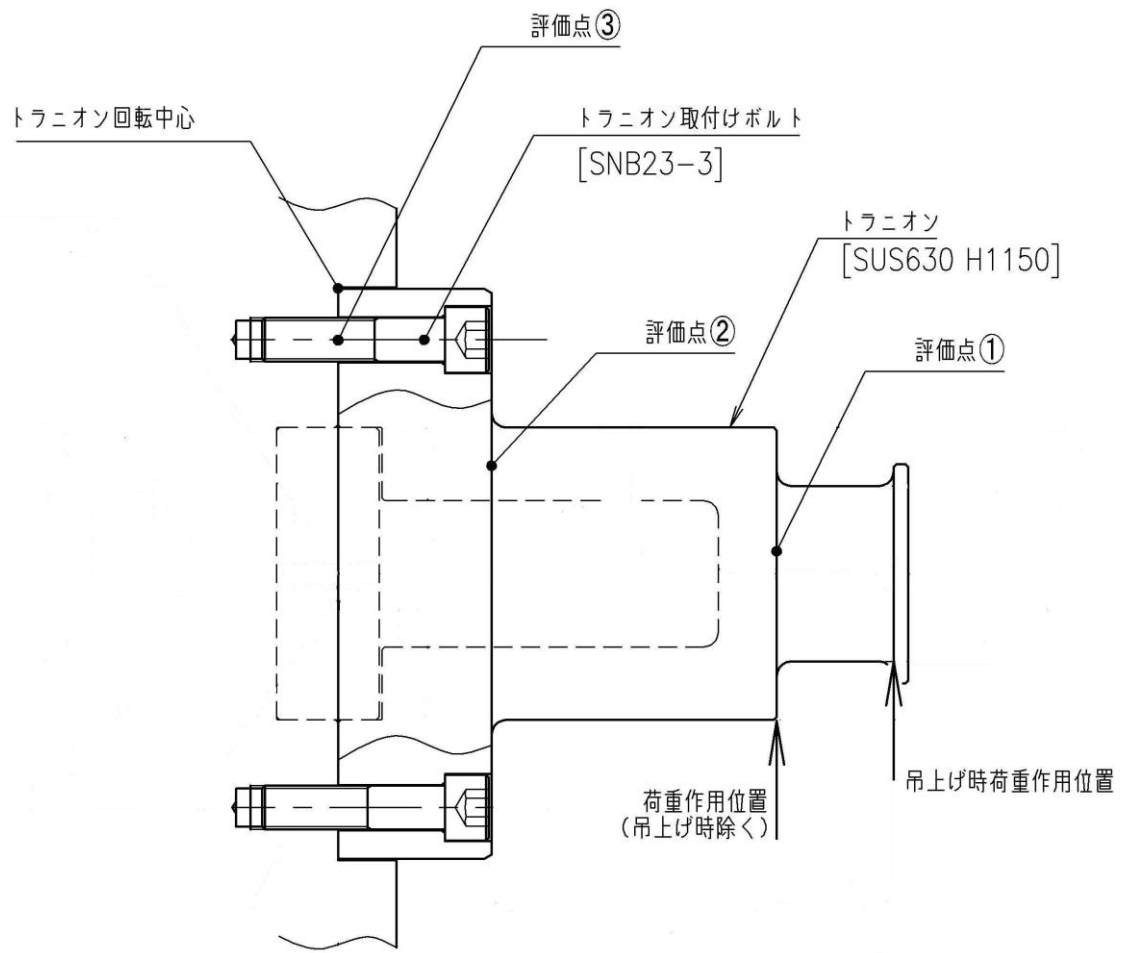


図1-3-5 トラニオンの応力評価箇所

### 1.3.6. 評価結果

評価結果を表1-3-15～表1-3-23に示す。いずれも、許容応力に対して十分に余裕がある。このため、構内用輸送容器の構造健全性は維持される。

表 1-3-15 容器本体及び蓋の評価結果（胴，底板，蓋） 1/2

(単位：MPa)

部位	材料	設計事象	一次一般膜応力( $P_m$ )		一次局部膜応力( $P_L$ )		一次膜+曲げ応力( $P_L + P_b$ )		一次一般膜+曲げ応力( $P_m + P_b$ )		一次+二次応力( $P_L + P_b + Q$ )		
			計算値	許容応力	計算値	許容応力	計算値	許容応力	計算値	許容応力	計算値	許容応力	
胴中央部	ASTM A350M Gr. LF5 C1.1	設計条件	8	123	—	—	9	184	—	—	—	—	
		I, II	—	—	—	—	—	—	—	—	9	369	
		試験状態	7	165			—	—	9	247	—	—	
底板中央部		設計条件	5	123	—	—	10	184	—	—	—	—	
		I, II	—	—	—	—	—	—	—	—	21	369	
		試験状態	3	165	—	—	—	—	6	247	—	—	
底板外周部		設計条件	—	—	5	184	11	184	—	—	—	—	
		I, II	—	—	—	—	—	—	—	—	10	369	
		試験状態	—	—	3	247	—	—	6	247	—	—	
胴下端部		設計条件	—	—	13	184	23	184	—	—	—	—	
		I, II	—	—	—	—	—	—	—	—	17	369	
		試験状態	—	—	5	247	—	—	10	247	—	—	
底部中性子遮 へい体外周部		設計条件	—	—	10	184	13	184	—	—	—	—	
		I, II	—	—	—	—	—	—	—	—	25	369	
		試験状態	—	—	6	247	—	—	10	247	—	—	
上部トラニオ ン取付け部		設計条件			11	184	22	184	—	—	—	—	
		I, II	—	—	—	—	—	—	—	—	21	369	
		試験状態	—	—	7	247	—	—	10	247	—	—	

表 1-3-15 容器本体及び蓋の評価結果（胴，底板，蓋） 2/2

(単位：MPa)

部位	材料	設計事象	一次一般膜応力 (P <sub>m</sub> )		一次局部膜応力 (P <sub>L</sub> )		一次膜+曲げ応力 (P <sub>L</sub> +P <sub>b</sub> )		一次一般膜+曲げ応力 (P <sub>m</sub> +P <sub>b</sub> )		一次+二次応力 (P <sub>L</sub> +P <sub>b</sub> +Q)		
			計算値	許容応力	計算値	許容応力	計算値	許容応力	計算値	許容応力	計算値	許容応力	
下部トラニ オン取付け 部	ASTM A350M Gr. LF5 Cl. 1	設計条件	—	—	18	184	32	184	—	—	—	—	
		I, II	—	—	—	—	—	—	—	—	32	369	
		試験状態	—	—	7	247	—	—	9	247	—	—	
一次蓋 中央部	SUSF304	設計条件	3	137	—	—	9	205	—	—	—	—	
		I, II	—	—	—	—	—	—	—	—	4	411	
一次蓋 フランジ部		試験状態	3	153	—	—	—	—	10	229	—	—	
		設計条件	—	—	7	205	9	205	—	—	—	—	
二次蓋 中央部		I, II	—	—	—	—	—	—	—	—	8	411	
		試験状態	—	—	8	229	—	—	8	229	—	—	
二次蓋 外周部		設計条件	61	137	—	—	102	205	—	—	—	—	
		I, II	—	—	—	—	—	—	—	—	34	411	
二次蓋フラ ンジ部		試験状態	92	155	—	—	—	—	154	232	—	—	
		設計条件	—	—	36	205	64	205	—	—	—	—	
		I, II	—	—	—	—	—	—	—	—	25	411	
		試験状態	—	—	46	232	—	—	95	232	—	—	
		設計条件			9	205	18	205	—	—	—	—	
		I, II	—	—	—	—	—	—	—	—	9	411	
		試験状態	—	—	13	232	—	—	27	232	—	—	

表 1-3-16 容器本体及び蓋の評価結果（ポートカバー）

(単位 : MPa)

部位	材質	設計事象	一次一般膜応力 ( $P_m$ )		一次膜+曲げ応力 ( $P_L + P_b$ )		一次一般膜+曲げ応力 ( $P_m + P_b$ )		一次+二次応力 ( $P_L + P_b + Q$ )	
			計算値	許容値	計算値	許容値	計算値	許容値	計算値	許容値
ポートカバー	SUS304	設計条件	2	137	17	205	—	—	—	—
		I , II	—	—	—	—	—	—	17	411
		試験状態	3	143	—	—	26	214	—	—
二次蓋 ポートカバー	SUSF304	設計条件	2	137	7	205	—	—	—	—
		I , II	—	—	—	—	—	—	7	411
		試験状態	3	155	—	—	11	232	—	—

表 1-3-17 容器本体及び蓋の評価結果（ボルト）

(単位 : MPa)

部位	材料	設計事象	平均引張応力( $\sigma_m$ )		平均引張応力+曲げ応力 ( $\sigma_m + \sigma_b$ )	
			計算値	許容応力	計算値	許容応力
一次蓋 ボルト	SUS630	設計条件	101	216	—	—
二次蓋 ボルト		I, II	320	432	350	648
ポートカバー ボルト	H1150	設計条件	125	216	—	—
ポートカバー ボルト		I, II	334	432	352	648
二次蓋ポート カバーボルト		設計条件	39	216	—	—
		I, II	227	432	229	648
		設計条件	21	223	—	—
		I, II	216	446	216	669

表 1-3-18 容器本体及び蓋の評価結果（平均支圧応力及び圧縮応力）

(単位 : MPa)

部位	設計事象	平均支圧応力( $\sigma_b$ )		圧縮応力( $\sigma_c$ )	
		計算値	許容応力	計算値	許容応力
底板	I, II	2	184	—	—
胴	I, II	—	—	7	95

表 1-3-19 バスケットの評価結果

(単位 : MPa)

部位	応力の種類	設計条件		設計事象 I		設計事象 II				許容応力
				構内輸送時		搬送架台への衝突		転倒防止台座への衝突		
		計算値	評価点(面)	計算値	評価点(面)	計算値	評価点(面)	計算値	評価点(面)	
バスケット	一次一般膜応力( $P_m$ )	52	②	—	—	—	—	—	—	133
	一次一般膜+一次曲げ応力( $P_m+P_b$ )	159	③	—	—	—	—	—	—	199
	一次+二次応力( $P_m+P_b+Q$ )	—	—	103	③	159	③	5	—	399
	平均せん断応力( $\tau$ )	—	—	1	⑤	—	—	—	—	79
	平均支圧応力( $\sigma_b$ )	—	—	34	②	52	②	5	—	150
	軸圧縮応力( $\sigma_c$ )	バスケット長手方向	—	—	—	—	—	5	—	34
	上記以外	—	—	34	②	52	②	—	—	84

表 1-3-20 トランニオンの評価結果

(単位 : MPa)

部位	応力の種類	設計事象 I				設計事象 II		許容応力	
		構内輸送時		吊上げ時		輸送架台への衝突			
		計算値	評価点(面)	計算値	評価点(面)	計算値	評価点(面)		
トランニオン	一次応力	引張応力( $\sigma_t$ )	5	②	—	—	—	394	
		せん断応力( $\sigma_s$ )	27	②	27	①	39	② 227	
		曲げ応力( $\sigma_b$ )	165	②	143	①	243	② 537	
		圧縮応力( $\sigma_c$ )	5	②	—	—	—	383	
		組合せ応力( $\sigma_T$ )	177	②	151	①	253	② 394	
	一次+二次応力	引張応力及び圧縮応力( $\sigma_t$ )	5	②	—	—	—	1182	
		せん断応力( $\sigma_s$ )	27	②	27	①	39	② 681	
		曲げ応力( $\sigma_b$ )	165	②	143	①	243	② 1611	

表 1-3-21 トランニオンの評価結果  
評価点②の組合せ応力 (圧縮応力+曲げ応力)

評価式	$\sigma_c$ (MPa)	$\sigma_b^*$ (MPa)	計算値	基準値
$\frac{ \sigma_c }{f_c} + \frac{ _c \sigma_b }{f_b}$	5	165	0.32	$\leq 1$
$\frac{ _t \sigma_b  -  \sigma_c }{f_t}$	5	165	0.41	$\leq 1$

注記 \* :  $|_c \sigma_b| = |_t \sigma_b| = \sigma_b$  である。

表 1-3-22 トランニオンの評価結果  
評価点②の組合せ応力（引張応力+曲げ応力）

評価式	$\sigma_t$ (MPa)	$\sigma_b^*$ (MPa)	計算値	基準値
$\frac{ \sigma_t  +  \tau \sigma_b }{f_t}$	5	165	0.44	$\leq 1$
$\frac{ \tau \sigma_b  -  \sigma_t }{f_b}$	5	165	0.30	$\leq 1$

注記 \* :  $|\tau \sigma_b| = |\tau \sigma_b| = \sigma_b$  である。

表 1-3-23 トランニオン取付けボルトの評価結果

(単位 : MPa)

部位	応力の種類	設計事象 I		設計事象 II	許容応力	
		構内輸送時	吊上げ時	輸送架台への衝突		
		計算値	計算値	計算値		
トランニオン取付けボルト	一次応力	引張応力	168	96	228	318

## 参考資料

### 構造強度計算に用いるコード（ABAQUS）について

#### （1）概要

ABAQUS コードは米国 Hibbit, Karlsson&Sorensen, Ins. (HKS 社)で開発された有限要素法に基づく応力・座屈解析等の汎用解析コードであり、輸送容器の応力解析等に広く利用されている。

#### （2）機能

ABAQUS コードは、応力解析に際して以下の機能を有している。

- ① 定常、非定常の弾性、弾塑性のいずれの解も得ることができる。
- ② 材料特性として時間依存、歪の履歴依存並びに等方性・異方性等を考慮することができる。
- ③ モデルの形状は一次元～三次元、又は連続体についても取り扱うことができる。
- ④ 伝熱解析結果をそのまま境界条件として熱応力解析に用いることが可能である。
- ⑤ 荷重条件として集中荷重、分布荷重、モーメント、加速度力（慣性力）、圧力、遠心力及びコリオリ力等が取り扱える。また、これらの条件の時間依存、線形変化に対しても対応可能である。

#### （3）解析フロー

ABAQUS コードの解析フローを図 1-3-6 に示す。

#### （4）使用実績

ABAQUS コードは、これまで多くの応力解析に対し使用実績がある。

#### （5）検証方法

理論値との比較による検証が実施されていることを確認している。

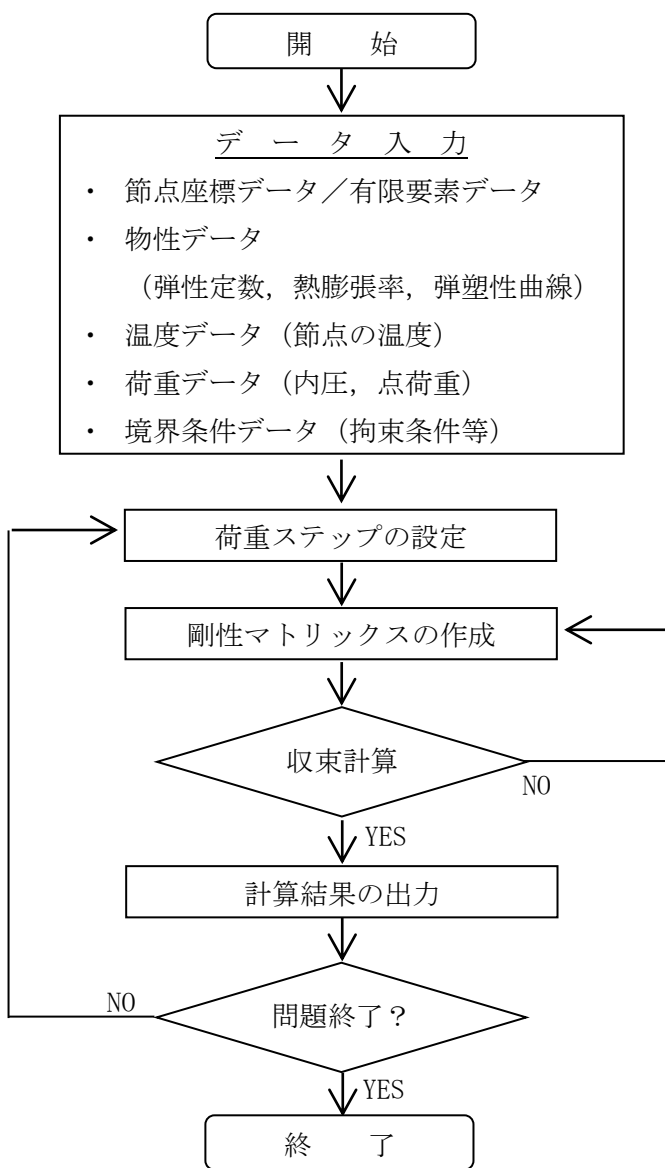


図 1-3-6 ABAQUS コードの応力解析フロー図

## 参考資料

### 容器内水の放射線分解による水素ガス発生について

#### 1. 容器内水の放射線分解による水素ガス発生

本構内用輸送容器のような密閉した槽内での容器内水の放射線分解により発生する水素ガスの水中濃度はある飽和値に達する。ここでは、水素ガス発生評価を以下に示す。

#### 2. 評価方法

「添付資料－2－1－3 構内用輸送容器に係る安全機能及び構造強度に関する説明書（4号機）」（NFT-12B型）と同じく、類似の環境下における水の放射線分解による水素ガス定常濃度評価<sup>\*1</sup>をベースに、液相定常水素ガス濃度が照射線量率の平方根に比例する<sup>\*2</sup>として、水素ガス濃度の評価を行う。

#### 3. 評価結果および4号機構内用輸送容器(NFT-12B型)との比較

水素ガス濃度の評価結果および、4号機構内用輸送容器(NFT-12B型)との比較を以下に示す。

	ガンマ線照射線量	水素ガス濃度
3号機 構内用輸送容器	0.29Gy/s	1.24%
4号機 構内用輸送容器(NFT-12B)	1Gy/s	2.4%

3号機 構内用輸送容器のガンマ線照射量は、4号機構内用輸送容器(NFT-12B型)のガンマ線照射量より低く、水素ガス濃度も低くなっている。

水素ガス濃度 1.24%は、水素の爆発下限である空気との混合比 4%に対して十分低い値であり問題ない。

\*1 Sunaryo, 1993, "A Study on Yields and Chemical Behavior of Radiolysis Products of High Temperature Water", University of Tokyo.

\*2 Y. Fujita, M. Ebihara, "EVALUATION OF HYDROGEN YIELD IN SPENT FUEL TRANSPORT PACKAGE" The 16th International Symposium on the Packaging and Transportation of radioactive Materials (PATRAM 2010), October 3-8 2010, London, UK Poster Session 210 (2010)

## 1. 4. 除熱機能

### 1. 4. 1. 基本的な考え方

除熱設計にあたっては、燃料の健全性及び構内用輸送容器の安全機能を有する構成部材の健全性が維持できるよう、以下のとおり設計する。

- a. 収納された使用済燃料より発生する崩壊熱は、容器内に充填した水及び空気の自然対流及び熱伝導により胴に伝える。
- b. 胴に伝えられた熱は主として中性子遮へい部のレジン中に設けた伝熱フィンにより外筒に伝える。
- c. 外筒に伝えられた熱は外筒から大気に放散する。

除熱機能の評価においては、収納する使用済燃料の最大崩壊熱量を考慮し、自然冷却により冷却されるものとして、除熱条件が厳しくなる横姿勢(輸送時)の各部の温度を求め、各部材料の制限温度を超えないことを評価する。

### 1.4.2. 設計基準

設計基準を表 1-4-1 に示す。

表 1-4-1 設計基準

対象部位	材質	設計基準	設計基準 温度 (°C)	備考
構内用 輸送容器	中性子遮へ い材	レジン	使用可能温度	149
	Oリング	ふっ素ゴム	使用可能温度	300
	胴	低合金鋼	構造強度が確保される 制限温度	350
	蓋	ステンレス鋼	構造強度が確保される 制限温度	425
	バスケット	ボロン添加 ステンレス鋼	構造強度が確保される 制限温度	200
燃料被覆管		ジルカロイ-2	200	8×8 燃料
			300	新型 8×8 ジルコニウム ライ燃料, 高燃焼度 8×8 燃 料, 9×9 燃料

\*1 平成 18 年度リサイクル燃料資源貯蔵技術調査等(貯蔵燃料長期健全性等確証試験に関する試験最終報告書) (06 基炉

報-0006, 独立行政法人原子力安全基盤機構)

\*2 平成 19 年度リサイクル燃料資源貯蔵技術調査等(貯蔵燃料健全性等調査に関する試験成果報告書) (07 基炉報-0004,

独立行政法人原子力安全基盤機構)

### 1.4.3. 燃料仕様および崩壊熱量

表 1-1-2 に示す 3 号機使用済燃料プールに貯蔵されている燃料を包絡する条件で崩壊熱量を ORIGEN2 コードにより評価する。燃料条件及び崩壊熱量を表 1-4-2 に示す。

表 1-4-2 燃料条件及び崩壊熱量

燃料タイプ	9 × 9 燃料
燃焼度 (MWd/t)	52,000
冷却期間 (日)	1716
収納体数 (体)	7
崩壊熱量 (kW)	3.91

### 1.4.4. 評価条件

構内用輸送容器の除熱評価は以下の 2 種類の解析モデルを用いて行う。

- ・輪切り断面モデル
- ・軸対称断面モデル

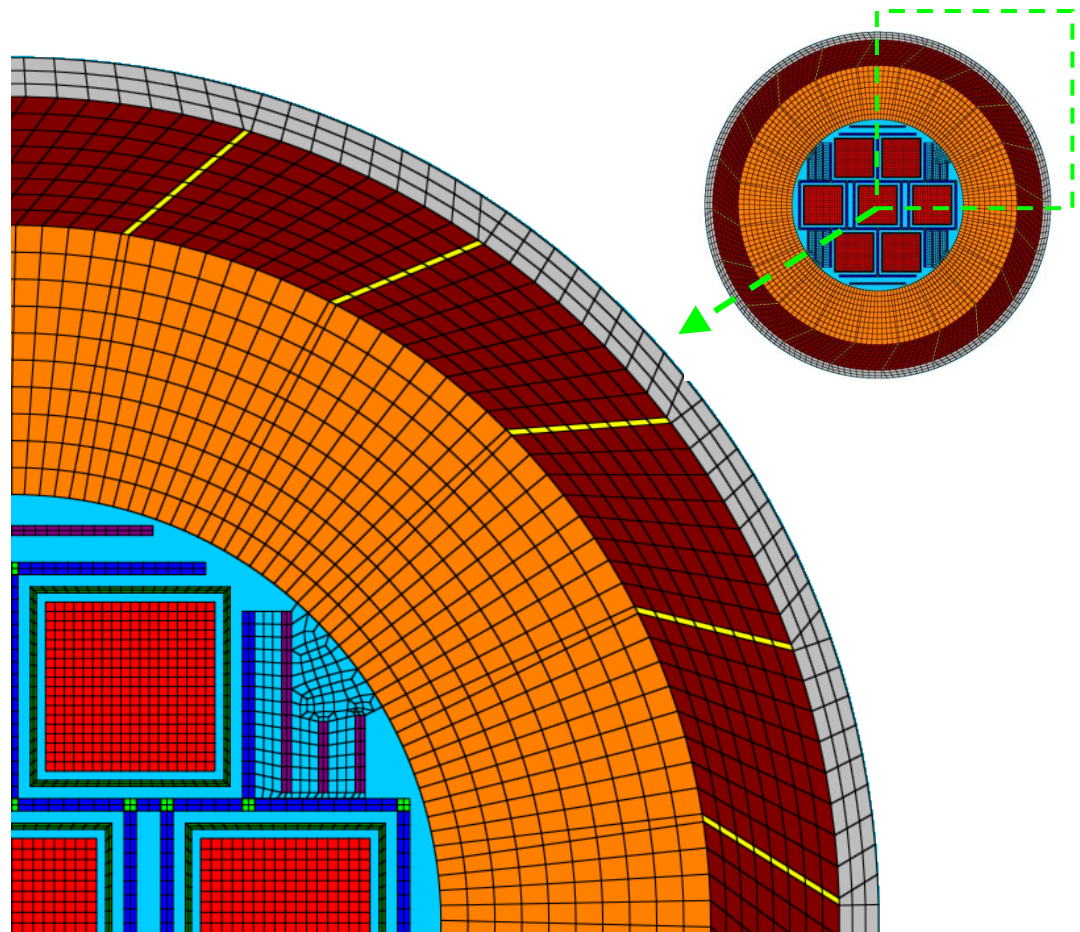
輪切り断面モデル形状図を図 1-4-1 に、軸対称断面モデル形状図を図 1-4-2 に示す。

また、評価条件を表 1-4-3 に示す。

表 1-4-3 評価条件

項目	横姿勢 (輸送時)	
収納体数 (体)	7	
崩壊熱量 (kW)	3.91	
周囲温度 (°C)	38	
太陽熱放射 (W/m <sup>2</sup> ) *1	垂直に輸送される表面	200
	その他の表面 (曲面)	400

\*1 : 太陽熱放射は 1 日につき 12 時間ごと、7 日間受ける



- : 外筒
- : 中性子遮へい体
- : 伝熱フィン
- : 脳体
- : バスケット
- : バスケット交差部
- : 中性子吸収材
- : 水
- : 使用済燃料収納缶（小）
- : 燃料領域（均質化）

図 1-4-1 輪切り断面モデル形状図

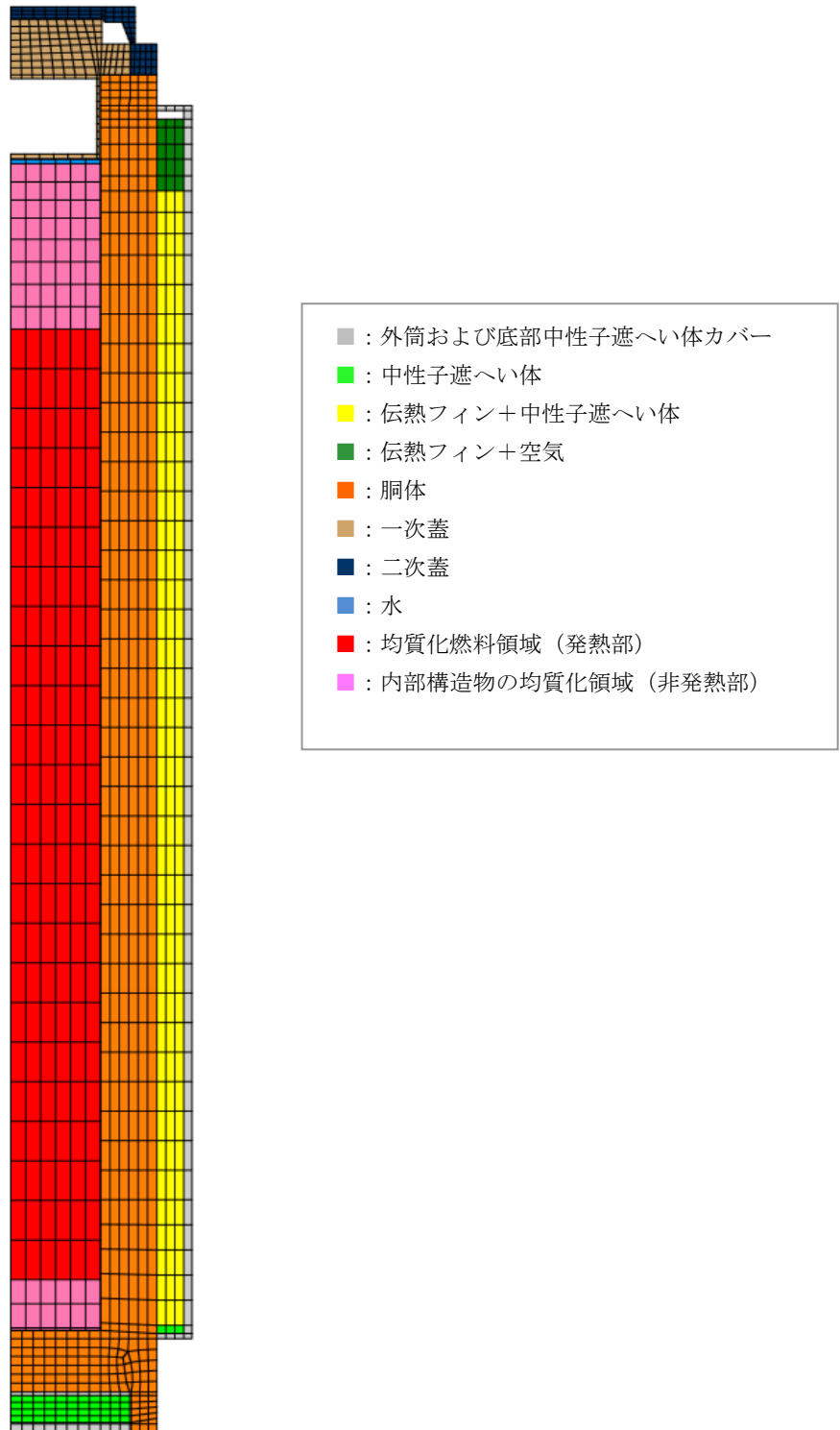


図 1-4-2 軸対称断面モデル形状図

#### 1.4.5. 評価方法

輪切り断面モデルで容器中央部断面の燃料、バスケット、胴、中性子遮へい体の温度を評価する。輪切り断面モデルで評価できない部位については、軸方向の温度分布が求められる軸対称断面モデルで評価する。解析には ABAQUS コードを用いる。

#### 1.4.6. 評価結果

評価結果を表 1-4-4 に示す。表 1-4-4 に示すとおり、構内用輸送容器を構成する部材はいずれも設計基準温度を下回っており、熱的健全性は維持される。

また、燃料被覆管の温度は 169°C であり、水素化物の再配向による機械特性の低下が生じる温度を大きく下回っており、燃料の健全性は維持される。

表 1-4-4 評価結果（各部温度）

対象部位		材質	評価結果 (°C)	設計基準 温度 (°C)	備考
構内用 輸送容器	中性子遮へい材	レジン	96	149	
	O リング	ふつ素ゴム	82	300	
	胴	低合金鋼	100	350	
	蓋	ステンレス鋼	96	425	
	バスケット	ボロン添加 ステンレス鋼	152	200	
燃料被覆管		ジルカロイ－ 2	169	200	8×8 燃料
				300	新型 8×8 ジルコニアラ付 燃料 高燃焼度 8×8 燃料, 9×9 燃料

## 除熱解析に用いるコード（ABAQUS）について

### （1） 概要

ABAQUS コードは、米国 Hibbitt, Karlsson & Sorensen, Inc. (HKS 社) で開発された有限要素法に基づく伝熱解析等の汎用解析コードであり、輸送容器の伝熱解析などに広く利用されている。

### （2） 機能

ABAQUS コードは、伝熱解析に際して以下の機能を有している。

- ① 定常、非定常のいずれの解も得ることができる。
- ② 一次元～三次元の任意形状の構造に対して解くことが可能である。
- ③ 初期条件（温度）は要素ごとに変化させることができ、計算ステップの自動決定も可能である。
- ④ 境界条件として、時間に依存する熱流束、温度、伝導、対流及び放射が考慮できる。
- ⑤ 構成物質の相変態が考慮できる。

### （3） 解析フロー

ABAQUS コードの解析フローを図 1-4-3 に示す。

### （4） 使用実績

ABAQUS コードは、多くの伝熱解析に使用された実績がある。

### （5） 検証方法

貯蔵容器の定常伝熱試験に対して ABAQUS コードによる解析結果と試験結果を比較・検討し、本コードの妥当性が検証されている<sup>\*1</sup>。

\*1 山川秀次、五味義雄、尾崎幸男、尾崎明郎「使用済燃料キャスク貯蔵技術の確立—キャスクの伝熱特性評価—」、電中研報告書、U92038、(1993)

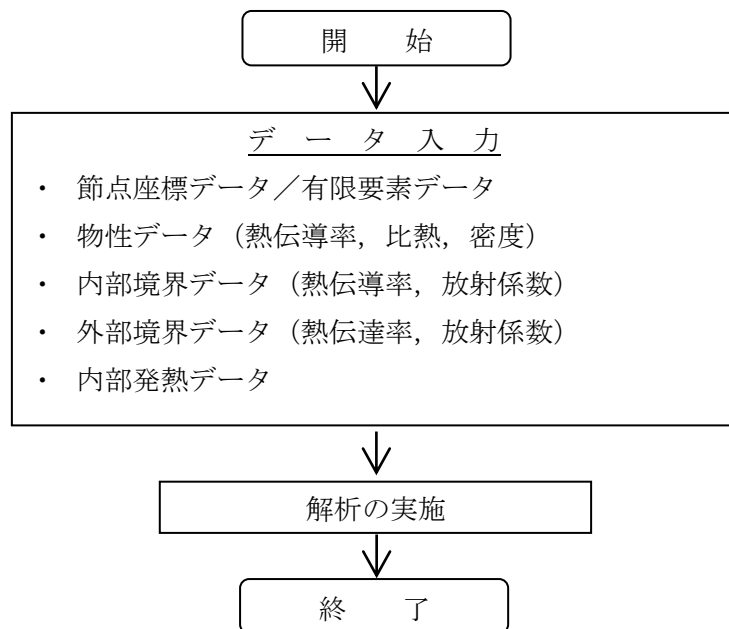


図 1-4-3 ABAQUS コードの伝熱解析フロー図

## 除熱解析に用いるコード（ORIGEN2）について

### （1） 概要

ORIGEN2 コードは、米国オークリッジ国立研究所（ORNL）で開発された炉内中性子束の 1 点近似による燃焼計算コードである。ORIGEN2 コードは汎用解析コードであり、輸送容器の崩壊熱計算等に広く利用されている。

### （2） 機能

ORIGEN2 コードは、燃焼解析に際して以下の機能を有している。

- ① 燃料の炉内での燃焼計算、炉取出し後の減衰計算により、冷却期間に対応した崩壊熱、放射線の強度、各核種の放射能量等が求められる。
- ② 原子炉の炉型と燃料の組合せに対し、中性子エネルギースペクトルの違いにより重みをつけた断面積ライブラリが内蔵されており、任意に選択できる。
- ③ 計算結果は、放射化生成物、アクチニド、核分裂生成物に分類して出力される。
- ④ 燃焼計算に必要な放射性核種データ（崩壊熱、ガンマ線のエネルギー分布、自発核分裂と  $(\alpha, n)$  反応により発生する中性子線源強度等）に関しては、ORIGEN2 コード専用のライブラリがあり、これを用いる。

### （3） 計算フロー

ORIGEN2 コードの計算フローを図 1-4-4 に示す。

### （4） 使用実績

ORIGEN2 コードは、輸送容器、核燃料施設の崩壊熱計算に広く使用されている<sup>\*1</sup>。

### （5） 検証方法

汎用コードの導入評価<sup>\*1</sup> が実施されていることが確認されている。

大型実験/ベンチマーク試験による検証<sup>\*2</sup> が実施されていることが確認されている。

\*1 ORNL, “ORIGEN2 Isotope Generation and Depletion Code MATRIX EXPONENTIAL METHOD”, CCC-371

\*2 (社)日本原子力学会 “原子炉崩壊熱とその推奨値”, 1989 年 8 月

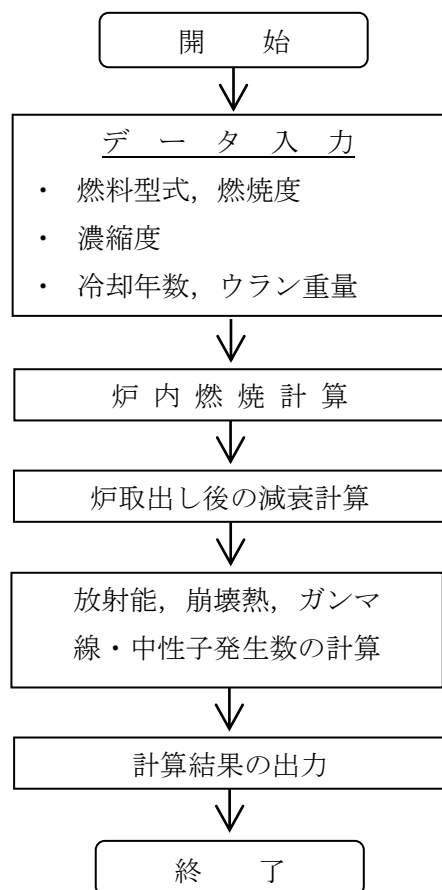


図 1-4-4 ORIGEN2 コードの計算フロー図

## 1.5. 密封機能

### 1.5.1. 基本的な考え方

構内用輸送容器の密封は容器本体及び一次蓋より構成される密封容器とこれに付属するポート部のカバーから構成される。容器本体と一次蓋、各ポートカバーのガスケットにはゴム製Oリングが使用されている。一次蓋で構成される構内用輸送容器の密封境界を図1-5-1に示す。

また、一次蓋を覆う形で二次蓋を容器本体に取付ける構造となっており、容器本体と二次蓋のガスケットはゴム製Oリングが使用され、一次蓋に漏えいが発生しても二次蓋で密封を確保できる構造となっている。二次蓋で構成される構内用輸送容器の密封境界を図1-5-2に示す。

密封機能の評価にあたっては、構造強度評価結果、除熱機能評価結果、容器構造から、構内用輸送容器の密封機能が維持されることを確認する。

### 1.5.2. 評価結果

#### (1) 構造強度評価結果

1.3項に示したとおり、構造強度評価から構内用輸送容器の密封境界を構成する胴、底板、一次蓋、一次蓋ボルト、二次蓋、二次蓋ボルト、ポートカバー及びポートカバーボルトは想定される荷重条件に対して十分な強度を有しており、密封境界の構造健全性に問題がないことが確認されている。

#### (2) 除熱評価結果

1.4項に示したとおり、除熱機能評価からOリングの最高温度は82°Cで、設計基準温度である300°Cを大きく下回ることから、密封境界の熱的健全性に問題ないことが確認されている。

#### (3) 容器構造

構内用輸送容器の密封境界を構成する一次蓋及び各ポートカバーは、ガスケットにゴム製のOリングを使用し、複数のボルトで容器本体に締付ける構造であり、締付けトルクの管理により密封機能を担保する。

各ポートカバーは3号機に空の容器を移動する前に、共用プールで締付けトルクを管理し、密封機能を担保する。

一次蓋は3号機で燃料装填後に容器本体に締付ける際に、締付けトルクを管理し、密封機能を担保する。

二次蓋も一次蓋と同様にガスケットにゴム製のOリングを使用し、複数のボルトで容器本体に締付けトルクを管理して締付ける構造であり、万が一、一次蓋の密封機能が喪失した場合でも、二次蓋で密封機能を担保する。

(4)まとめ

以上から、構内用輸送容器の密封性能は維持される。

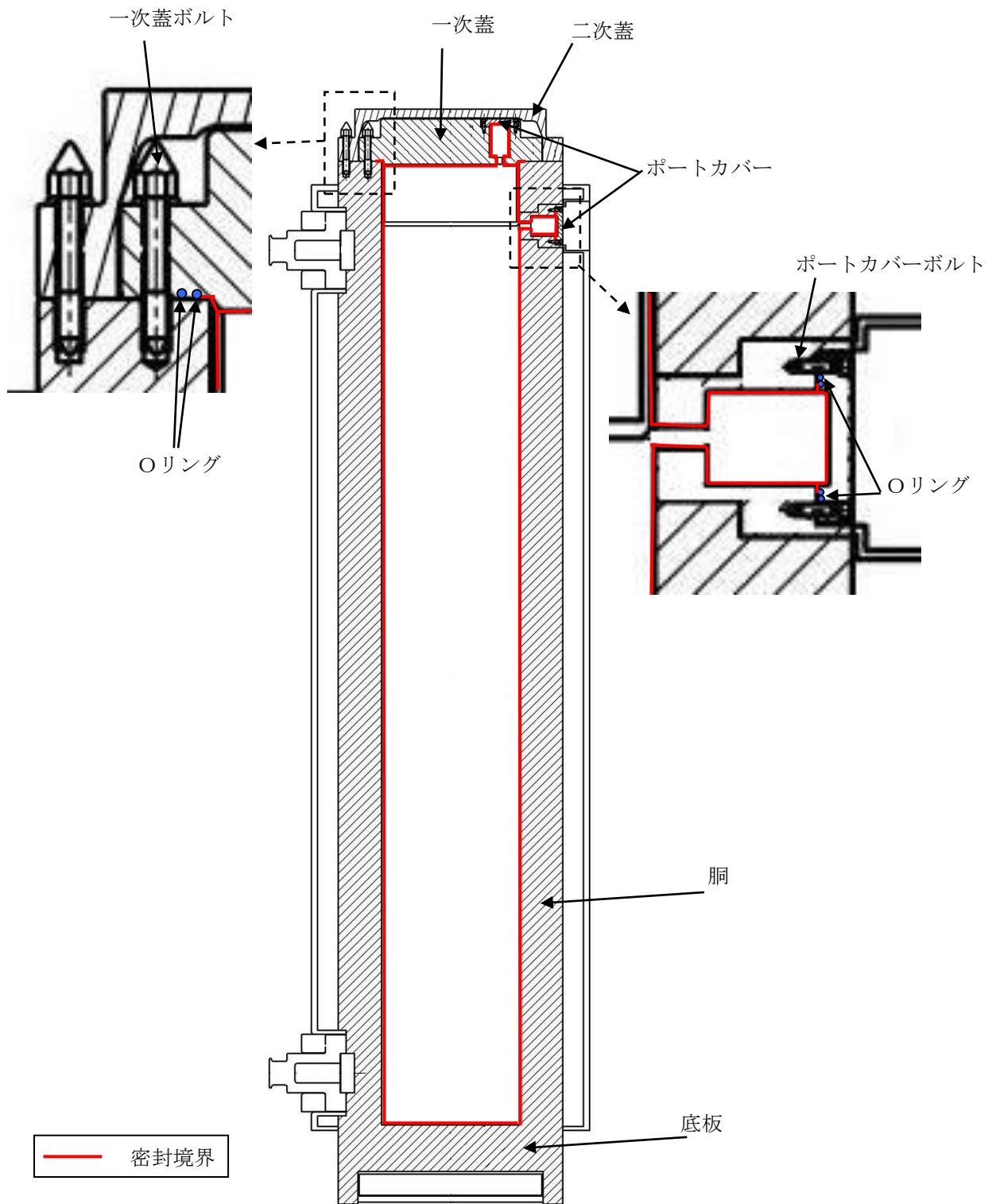


図 1-5-1 一次蓋で構成する容器密封境界

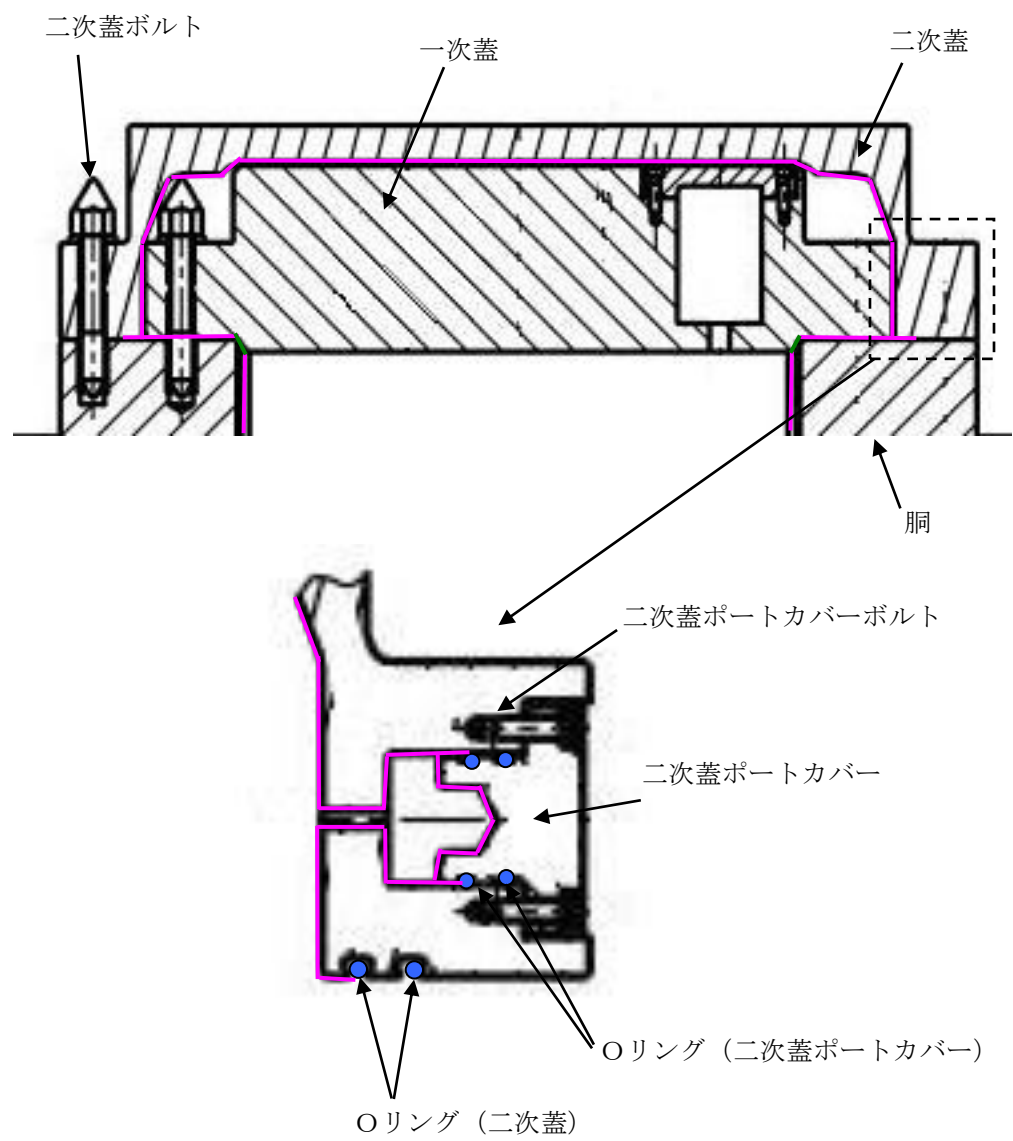


図 1-5-2 二次蓋で構成する密封境界

## 1.6. 遮へい機能

### 1.6.1. 基本的な考え方

収納した使用済燃料から発生する放射線を遮へいするための構内用輸送容器の遮へい設計の基本的な考え方は以下のとおりである。

- 使用済燃料から発生するガンマ線及び中性子を遮へいするために、構内用輸送容器はガンマ線遮へいと中性子遮へいの機能を有するものとする
- 主要なガンマ線遮へい材は、胴及び底板の低合金鋼、外筒の炭素鋼、蓋のステンレス鋼とする
- 主要な中性子遮へい材は、内水及び胴と外筒間、底板底部のレジンとする

1.1に記載のとおり、構内用輸送容器は3号機に新設するクレーン（定格荷重：50ton）で取扱えるよう、収納する燃料を含む総重量を46.3tonとして設計した容器であり、容器の取扱作業に従事する放射線業務従事者の作業環境からの被ばく低減を図るため、収納体数を7体として遮へい厚さを設定している。

遮へい機能の評価においては、収納する使用済燃料の線源強度を考慮し、構内用輸送容器表面及び表面から1mにおける線量当量率を評価する。

### 1.6.2. 評価条件

#### 1) 遮へい厚さ

構内用輸送容器の遮へい厚さを表 1-6-1 に示す。

表 1-6-1 遮へい厚さ

(単位 : cm)

	低合金鋼・炭素鋼	ステンレス鋼	レジン
側面方向	約 25	—	約 10
上部方向	—	約 23	—
下部方向	約 28	—	約 10

#### 2) 線源条件

遮へい評価の線源条件は表 1-1-2 に示す 3 号機使用済燃料プールに保管されている燃料の条件を包絡する条件とする。線源条件を表 1-6-2 に示す。

表 1-6-2 線源条件

項目	線源条件
燃料タイプ	9×9 燃料
平均燃焼度 (MWd/t)	52,000
冷却期間 (日)	1716
収納体数 (体)	7

#### 3) 線源強度及びエネルギー

##### ① ガンマ線源強度

燃料有効部のガンマ線源強度の計算は ORIGEN2 コードにより行う。得られたガンマ線源強度を表 1-6-3 に示す。また、構造材の放射化によるガンマ線源強度は次式で計算する。構造材の放射化によるガンマ線源強度を表 1-6-4 に示す。

$$A = N_0 \cdot \sigma \cdot \phi \cdot \{1 - \exp(-\lambda \cdot T_1)\} \cdot \exp(-\lambda \cdot T_2)$$

ここで、A : 放射化核種 (<sup>60</sup>Co) の放射能 (Bq)

N<sub>0</sub> : ターゲット核種 (<sup>59</sup>Co) の個数 (atoms)

σ : 2200m/s の中性子による (<sup>59</sup>Co) の (n, γ) 反応断面積 (cm<sup>2</sup>)

ϕ : 炉内照射熱中性子束 (n/(cm<sup>2</sup> · s))

λ : <sup>60</sup>Co の崩壊定数 (/日)

T<sub>1</sub> : 照射期間 (日)

T<sub>2</sub> : 冷却期間 (日)

表1-6-3 ガンマ線源強度  
(容器1基あたり)

光子エネルギー群		集合体7体あたり (ph/s/7体)
群	代表エネルギー(MeV)	
1	1.00E-02	5.9E+15
2	2.50E-02	1.3E+15
3	3.75E-02	1.5E+15
4	5.75E-02	1.2E+15
5	8.50E-02	7.7E+14
6	1.25E-01	8.3E+14
7	2.25E-01	6.4E+14
8	3.75E-01	3.6E+14
9	5.75E-01	1.1E+16
10	8.50E-01	3.1E+15
11	1.25E+00	5.9E+14
12	1.75E+00	1.9E+13
13	2.25E+00	6.7E+12
14	2.75E+00	2.9E+11
15	3.50E+00	3.7E+10
16	5.00E+00	1.3E+08
17	7.00E+00	1.5E+07
18	9.50E+00	1.7E+06

表 1-6-4 構造材の放射化によるガンマ線源強度  
(容器 1 基あたり)

	$^{60}\text{Co}$ 線源強度(Bq)
ハンドル部	$1.2 \times 10^{12}$
上部グリッド部	$5.2 \times 10^{12}$
上部端栓部	$5.0 \times 10^{11}$
下部タイプレート部	$2.3 \times 10^{13}$

## ② 中性子線源強度

中性子線源強度の計算は ORIGEN2 コードにより行う。得られた中性子線源強度を表 1-6-5 に示す。また、評価に用いる中性子エネルギースペクトルは Pu-239 の核分裂スペクトルとし、表 1-6-6 に示す。

表 1-6-5 中性子線源強度

(容器 1 基あたり)

		中性子線源強度 (n/s)
1 次中性子源	自発核分裂によるもの	$3.0 \times 10^9$
	( $\alpha$ , n) 反応によるもの	$3.6 \times 10^7$
実効増倍率		0.95
実効増倍効果を考慮した全中性子線源強度		$6.0 \times 10^{10}$

表 1-6-6 中性子線源スペクトル

エネルギー群数	上限エネルギー (eV)	スペクトル
1	$1.492 \times 10^7$	$5.72 \times 10^{-4}$
2	$1.220 \times 10^7$	$2.02 \times 10^{-3}$
3	$1.000 \times 10^7$	$6.07 \times 10^{-3}$
4	$8.180 \times 10^6$	$2.00 \times 10^{-2}$
5	$6.360 \times 10^6$	$4.12 \times 10^{-2}$
6	$4.960 \times 10^6$	$5.27 \times 10^{-2}$
7	$4.060 \times 10^6$	$1.10 \times 10^{-1}$
8	$3.010 \times 10^6$	$8.74 \times 10^{-2}$
9	$2.460 \times 10^6$	$2.28 \times 10^{-2}$
10	$2.350 \times 10^6$	$1.15 \times 10^{-1}$
11	$1.830 \times 10^6$	$2.07 \times 10^{-1}$
12	$1.110 \times 10^6$	$1.89 \times 10^{-1}$
13	$5.500 \times 10^5$	$1.31 \times 10^{-1}$
14	$1.110 \times 10^5$	$1.59 \times 10^{-2}$
15	$3.350 \times 10^3$	$8.12 \times 10^{-5}$
16	$5.830 \times 10^2$	$5.89 \times 10^{-6}$
17	$1.010 \times 10^2$	$3.89 \times 10^{-7}$
18	$2.900 \times 10^1$	$5.53 \times 10^{-8}$
19	$1.070 \times 10^1$	$1.33 \times 10^{-8}$
20	$3.060 \times 10^0$	$1.88 \times 10^{-9}$
21	$1.120 \times 10^0$	$4.19 \times 10^{-10}$
22	$4.140 \times 10^{-1}$	$1.20 \times 10^{-10}$

### 1.6.3. 評価モデル

遮へい評価のモデルを図 1-6-1～図 1-6-2 に示す。計算モデルは、構内用輸送容器の実形状を模擬して 2 次元 R-Z 体系で評価する。また、トランニオン取付け部は局所的な中性子遮へい体の欠損が生じるため詳細評価を行う。

評価モデルは以下の条件を考慮する。

- ・ 主要な遮へい体の厚さは製造公差を考慮した寸法とし、遮へい体の密度はノミナル値とする。

### 1.6.4. 評価方法

遮へい計算は、ガンマ線、中性子共に DOT3.5 コードを用いて計算し、構内用輸送容器表面及び表面から 1 m の線量当量率を求める。

ライブラリとしては、DLC-23/CASK データを用い、線量当量率への変換は ICRP Publ. 74 に基づく 1cm 線量当量率への換算係数を用いる。

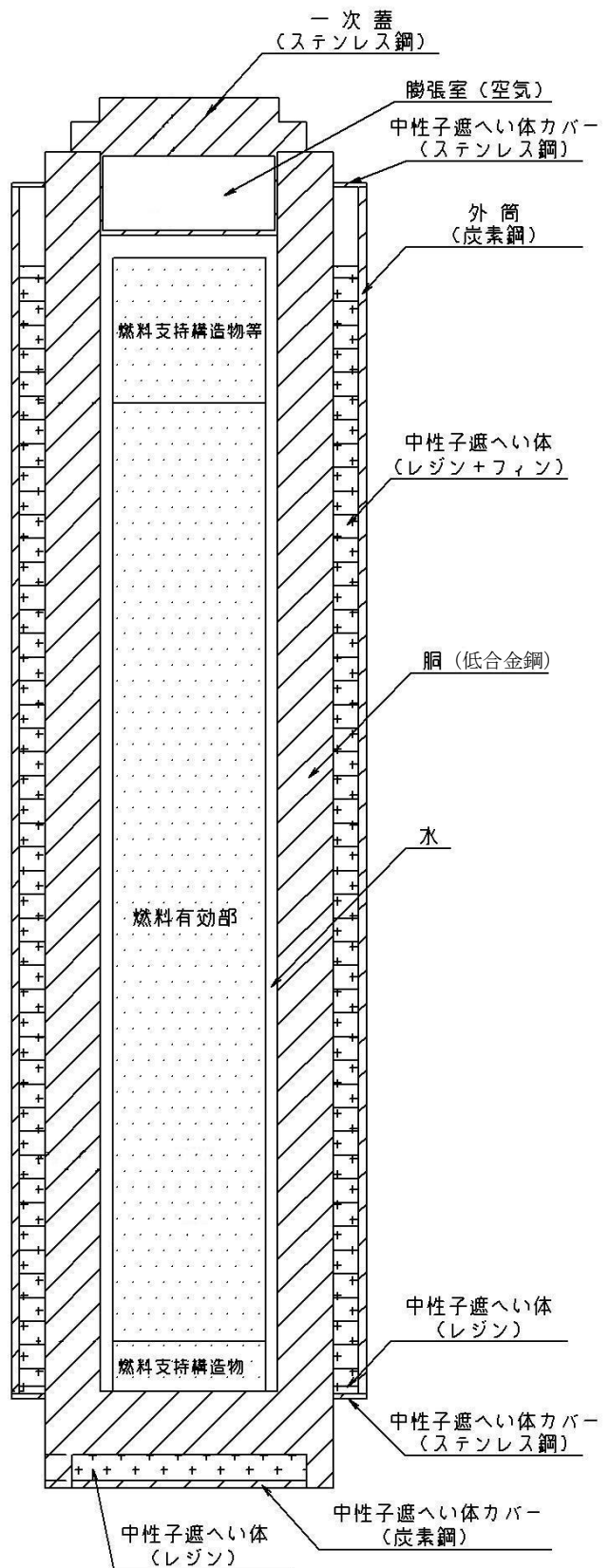


図 1-6-1 遮へい解析モデル（全体 R-Z 体系）

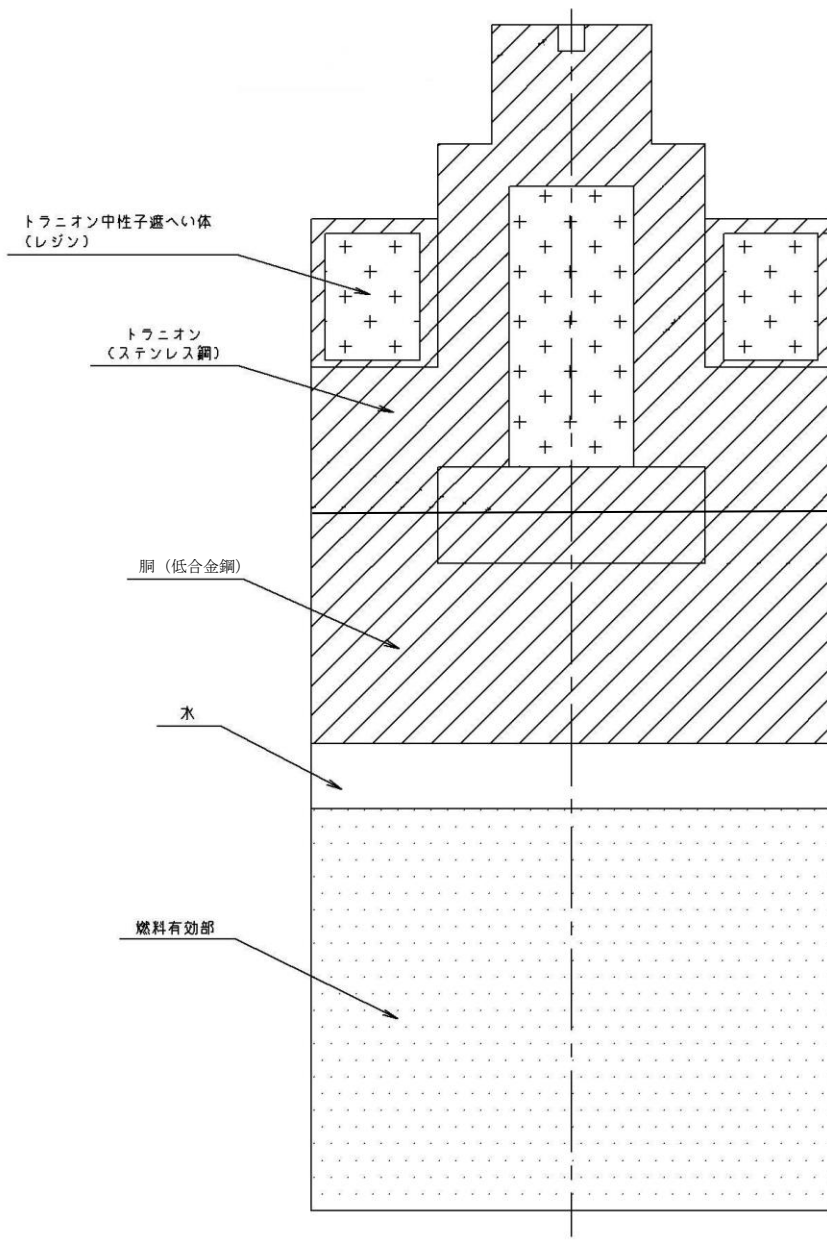


図 1-6-2 遮へい解析モデル（トラニオン部 R-Z 体系）

#### 1.6.5. 評価結果

構内用輸送容器の線量当量率評価位置を図 1-6-3 に、評価結果を表 1-6-7 に示す。評価結果は容器上部、上部中性子遮へい体欠損部、容器側面、下部中性子遮へい体欠損部、容器下部における線量当量率の最大値を示しており、容器表面の線量当量率は容器側面で最大  $1.5\text{mSv/h}$ 、容器表面から  $1\text{m}$  の線量当量率は容器側面で最大  $0.34\text{mSv/h}$  となって いる。

線量当量率が最大となるのは容器側面であり、容器取扱時には追加遮へい体設置等の放射線業務従事者の被ばく低減対策を講じる計画としている。

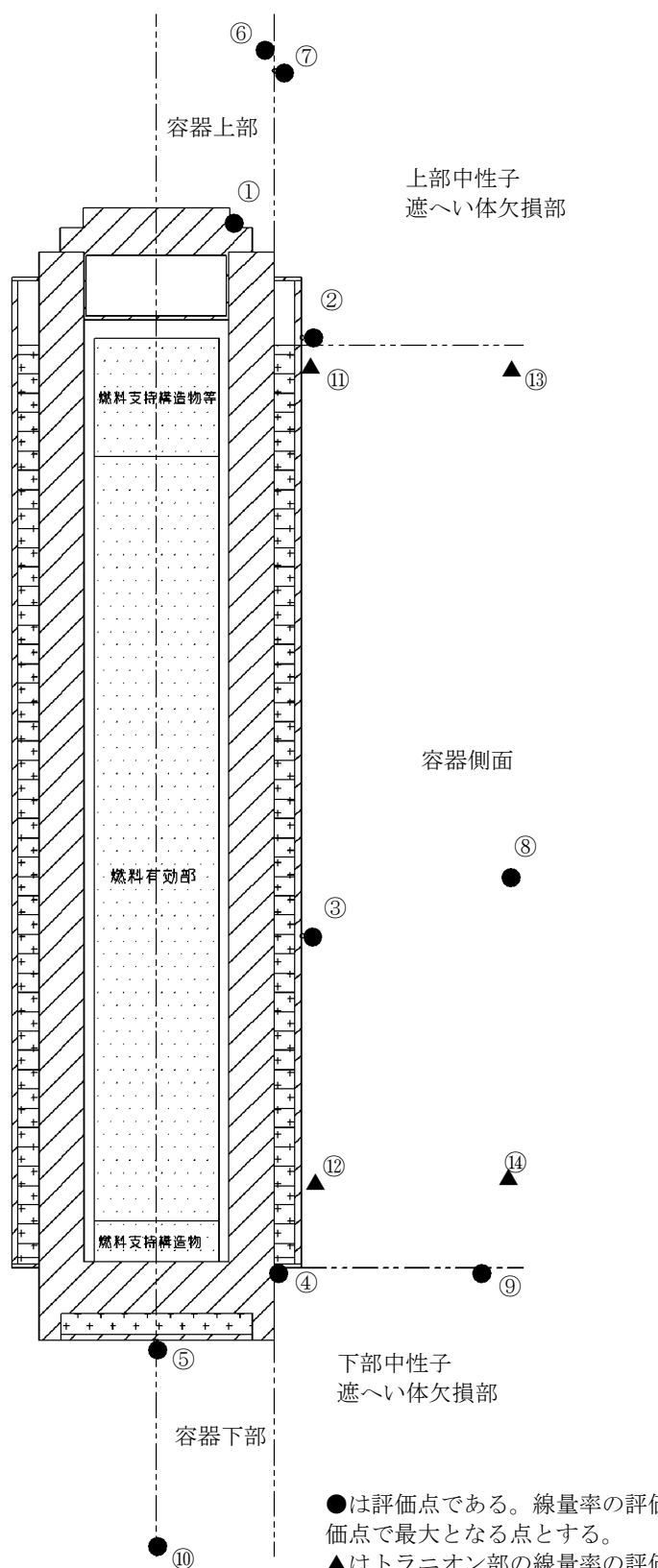


図 1-6-3 線量評価点（容器全体）

表 1-6-7 最大線量当量率の評価結果

(単位 : mSv/h)

		容器上部	上部中性子 遮へい体欠 損部	容器側面	下部中性子 遮へい体欠 損部	容器下部
表面	評価点	①	②	③	④	⑤
	結果	1.4	5.1E-2	1.5	1.1	1.7E-1
表面から 1 m	評価点	⑥	⑦	⑧	⑨	⑩
	結果	4.6E-2	5.2E-2	3.4E-1	1.0E-1	2.1E-2

(単位 : mSv/h)

		上部トラニオン	下部トラニオン
表面	評価点	⑪	⑫
	結果	5.4E-2	7.5E-1
表面から 1 m	評価点	⑬	⑭
	結果	6.4E-2	1.9E-1

## 参考資料

### 遮へい解析に用いるコード（ORIGEN2）について

#### （1） 概要

ORIGEN2 コードは、米国オークリッジ国立研究所（ORNL）で開発された炉内中性子束の 1 点近似による燃焼計算コードである。ORIGEN2 コードは汎用解析コードであり、輸送容器の放射線源強度計算等に広く利用されている。

#### （2） 機能

ORIGEN2 コードは、燃焼解析に際して以下の機能を有している。

- ① 燃料の炉内での燃焼計算、炉取出し後の減衰計算により、冷却期間に対応した崩壊熱、放射線の強度、各核種の放射能量等が求められる。
- ② 原子炉の炉型と燃料の組合せに対し、中性子エネルギースペクトルの違いにより重みをつけた断面積ライブラリが内蔵されており、任意に選択できる。
- ③ 計算結果は、放射化生成物、アクチニド、核分裂生成物に分類して出力される。
- ④ 燃焼計算に必要な放射性核種データ（崩壊熱、ガンマ線のエネルギー分布、自発核分裂と  $(\alpha, n)$  反応により発生する中性子線源強度等）に関しては、ORIGEN2 コード専用のライブラリがあり、これを用いる。

#### （3） 計算フロー

ORIGEN2 コードの計算フローを図 1-6-4 に示す。

#### （4） 使用実績

ORIGEN2 コードは、輸送容器、核燃料施設の放射線源強度計算に広く使用されている<sup>\*1</sup>。

#### （5） 検証方法

汎用コードの導入評価<sup>\*1</sup> が実施されていることが確認されている。

大型実験/ベンチマーク試験による検証<sup>\*2</sup> が実施されていることが確認されている。

\*1 ORNL, “ORIGEN2 Isotope Generation and Depletion Code MATRIX EXPONENTIAL METHOD”, CCC-371

\*2 (社)日本原子力学会 “原子炉崩壊熱とその推奨値”, 1989 年 8 月

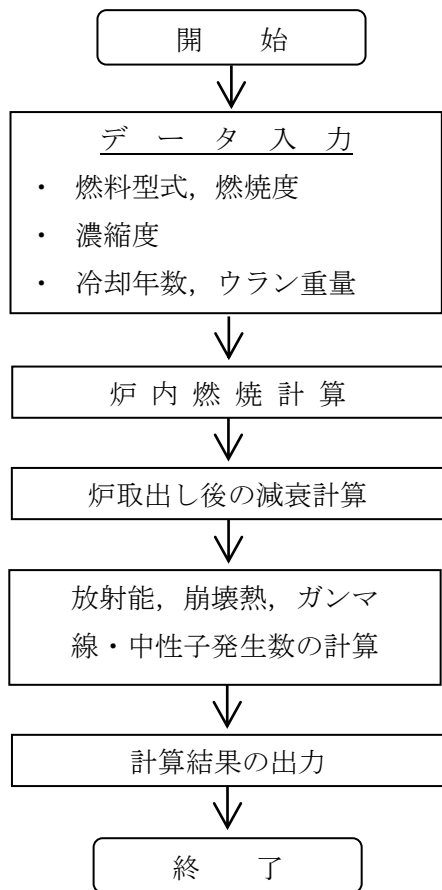


図 1-6-4 ORIGEN2 コードの計算フロー図

## 遮へい解析に用いるコード（DOT3.5 コード）について

### （1）概要

DOT3.5 コード（以下「DOT コード」という。）は二次元輸送コードであり、米国オーケリッジ国立研究所（ORNL）で開発された汎用解析コードである。

### （2）機能

DOT コードは、遮へい解析に際して以下の機能を有する。

- ① ガンマ線や中性子に対するボルツマン輸送方程式を解くことによる数値解析法であり、放射線の挙動を追跡するのに重要な非等方性が表現できる。
- ② DOT コードは、二次元の体系を扱うことができる。

### （3）解析フロー

DOT コードの解析フローを図 1-6-5 に示す。

### （4）使用実績

DOT コードは、原子力施設の遮へい計算に広く用いられており、輸送容器の遮へい解析に豊富な実績がある。

### （5）検証

汎用コードの導入評価<sup>\*1</sup>が実施されていることが確認されている。

大型実験/ベンチマーク試験による検証<sup>\*2</sup>が実施されていることが確認されている。

\*1 W. A. Rhoades, “DOT3.5 TWO DIMENSIONAL DISCRETE ORDINATES RADIATION TRANSPORT CODE”, CCC-276, 1978 年 10 月

\*2 (社)日本原子力学会“中性子遮蔽設計ハンドブック”，1993 年 4 月

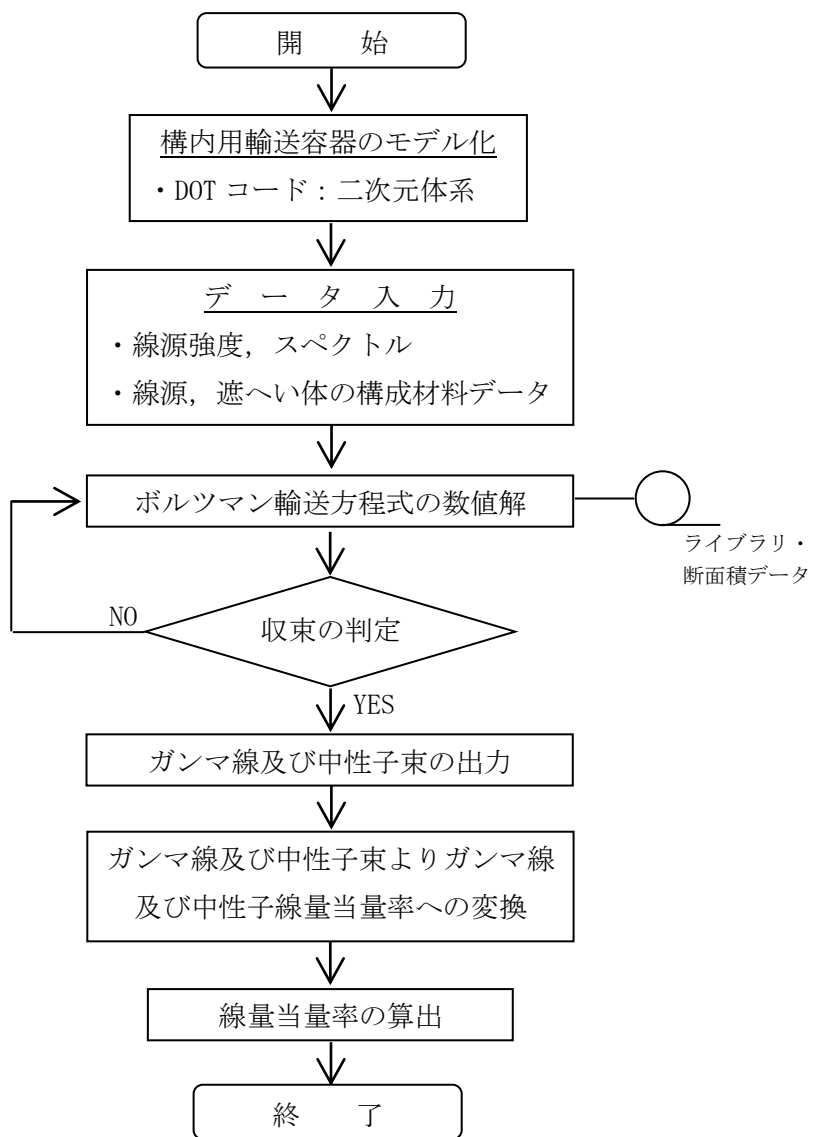


図 1-6-5 DOT コードの解析フロー図

## 1.7. 臨界防止機能

### 1.7.1. 基本的な考え方

臨界防止にあたっては、想定されるいかなる場合にも燃料が臨界に達することを防止するため以下のとおり設計する。

- 燃料を収納するバスケットは格子構造として、燃料を所定の幾何学的配置に維持する設計とする。
- バスケットの主要材料には、中性子を吸収するボロン添加ステンレス鋼を使用し、バスケット外周部にボロン添加アルミニウム合金板を配置する。

### 1.7.2. 設計基準

想定されるいかなる場合も実効増倍率が 0.95 以下であること。

### 1.7.3. 評価条件

#### 1) 燃料条件、評価モデル

以下の保守的な燃料条件で評価を行うものとする。臨界評価モデルを図 1-7-1 に示す。

- ・燃料タイプは表 1-1-2 に示す燃料条件を包絡する条件として、最も U-235 の濃縮度の高い  $9 \times 9$  燃料とする
- ・U-235 の濃縮度は未照射のまま減損しない値とし、 $9 \times 9$  燃料の集合体平均値 3.9wt% とする。
- ・燃料には可燃性毒物として Gd を添加した燃料が含まれるが、中性子吸収断面積の大きい Gd を無視する。
- ・燃料の変形を考慮して使用済燃料収納缶（小）内で燃料棒が最適な状態に広がった配列とする。
- ・燃料を装填した使用済燃料収納缶（小）がバスケット内で最適に偏心した状態とする。
- ・バスケット材料のボロン添加ステンレス鋼材中及びバスケット外周に配置したボロン添加アルミニウム合金の  $^{10}\text{B}$  含有量は、製造下限値とする。
- ・評価に使用する各部の寸法は製造公差を考慮した寸法とする。
- ・チャンネルボックス及びウォーターロッドは水に置換える。
- ・中性子遮へい体部（レジン）は真空とする。
- ・構内用輸送容器外部の雰囲気は安全側に真空、完全反射とする。
- ・評価モデルは 2 次元体系とする。

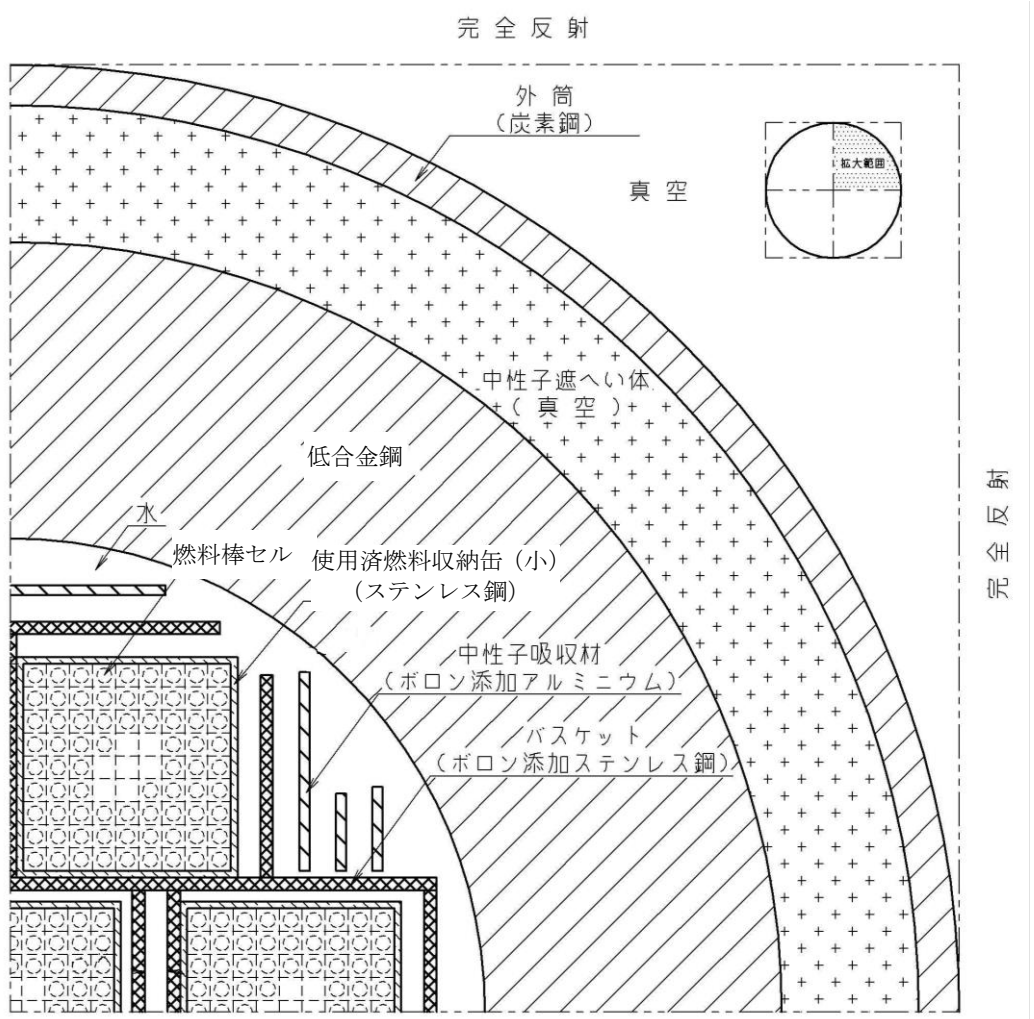


図 1-7-1 臨界評価体系

#### 1.7.4. 評価方法

構内用輸送容器の実形状をモデル化し、臨界解析コード KENO-V.a を使用して求める。

#### 1.7.5. 評価結果

評価結果を表 1-7-1 に示す。表 1-7-1 に示すとおり、構内用輸送容器の実効増倍率は設計基準を満足している。

表 1-7-1 評価結果

実効増倍率 <sup>*1</sup>	設計基準
0.77	0.95

\*1 モンテカルロ計算の統計誤差 ( $3\sigma$ ) を考慮した値

### 臨界解析に用いるコード（KENO-V.a）について

#### （1） 概要

KENO-V.a コードは、米国オークリッジ国立研究所（ORNL）で開発されたモンテカルロ法に基づく公開の臨界解析コードであり、輸送容器の臨界解析などに利用されている。

#### （2） 機能

KENO-V.a コードは、臨界解析に際して以下の機能を有している。

- ① 実際に中性子が出会う物理現象を確率理論を用いて模擬するため、どのような物理的問題にも適用できる。なお、統計的な手法を用いるため、計算結果には統計誤差が付随する。
- ② 一次元～三次元の任意形状の体系を扱うことができる。

#### （3） 解析フロー

KENO-V.a コードの解析フローを図 1-7-2 に示す。

#### （4） 使用実績

KENO-V.a コードは、国内外で輸送容器の臨界解析をはじめ、核燃料施設の臨界解析に使用されている。

#### （5） 検証

米国のバッテル研究所（パシフィック ノースウェスト研究所、PNL）で行われた臨界実験<sup>\*1</sup>の中から 16 種類の臨界体系をベンチマーク試験<sup>\*2</sup>として選び、検証を行った。

\*1 S. R. Bierman and E. D. Clayton, “Criticality Experiments with Subcritical Clusters of 2.35 Wt% and 4.31 Wt%  $^{235}\text{U}$  Enriched  $\text{UO}_2$  Rods in Water with Steel Reflecting Walls”, NUREG/CR-1784(PNL-3602), U.S. Nuclear Regulatory Commission, April 1981.

\*2 “International Handbook of Evaluated Criticality Safety Benchmark Experiments”, LEU-COMP-THERM-010, LEU-COMP-THERM-013, LEU-COMP-THERM-017, LEU-COMP-THERM-042, NEA/NSC/DOC(95)03, September 2009.

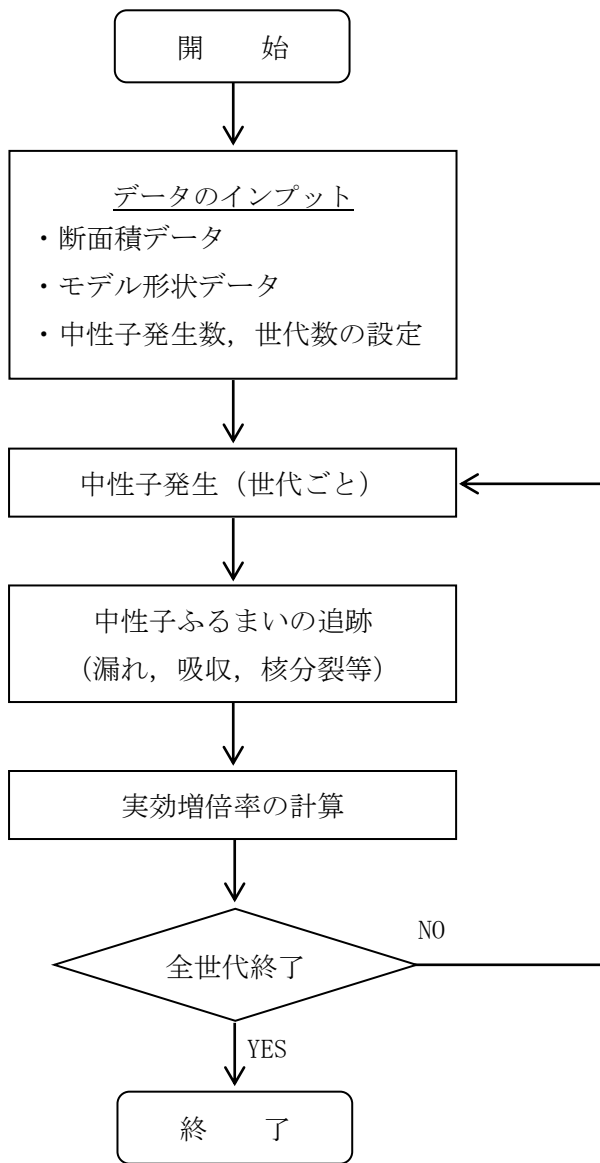


図 1-7-2 KENO-V.a コードの解析フロー図

## 1.8. 構内用輸送容器の落下

### 1.8.1. 原因

構内用輸送容器の取扱い中に、何らかの原因で構内用輸送容器が落下して密封境界が破損し、放射性物質が環境に放出される。

### 1.8.2. 発生防止対策

構内用輸送容器の落下を防止するために、次のような設計及び手順の対策を講じる。

- (1) クレーン主巻フックは二重のワイヤーロープで保持する構造とする。
- (2) クレーン巻上装置は電源断時に電動油圧押上機ブレーキで保持する構造とする。
- (3) クレーン主巻フックと吊具、吊具と構内用輸送容器の取付けを二重化する。
- (4) 取付け作業後の取付け状態を ITV にて確認し、外れ止めを取り付ける。
- (5) 作業開始前にクレーン及び吊具の事前点検を実施する。
- (6) 作業手順書を整備し、作業員への教育訓練を行う。

### 1.8.3. 核分裂生成物の放出量及び線量の評価

#### 1.8.3.1. 核分裂生成物の放出量

##### (1) 破損燃料棒の評価

破損する燃料棒の本数の評価は、次の仮定に基づいて行う。

- a. 構内用輸送容器の取り扱い作業に際し、構内用輸送容器が落下して、構内用輸送容器に収納された燃料集合体が破損するものと仮定する。
- b. 落下による燃料集合体の破損体数は、構内用輸送容器の収納体数 7 体とする。

##### (2) 評価条件

核分裂生成物の移行と放出量の評価は、次の仮定に基づいて行う。

- a. 燃料ギャップ内の核分裂生成物の量は、表 1-1-2 の燃料条件を包絡する条件として燃焼度 52,000MWD/t の 9×9 燃料集合体について行う。
- b. 燃料集合体の冷却期間は表 1-1-2 の燃料条件を包絡する条件として 1716 日とする。
- c. 破損した燃料棒のギャップ内核分裂生成物の全量が構内用輸送容器内に放出されるものとする。破損した燃料棒のギャップ内核分裂生成物の存在量については、半減期の長い核種の放出が支配的であることを考えて、破損した燃料棒内の全蓄積量に対して希ガス (Kr-85) 及びよう素 (I-129) それぞれ 30% とする。
- d. 放出された希ガスは、全量が構内用輸送容器から大気中へ移行するものとする。
- e. 放出されたよう素は、全量が構内用輸送容器から大気中へ移行するものとし、構内用輸送容器に内包する水による除去は無いものとする。

### (3) 評価結果

上記の評価条件に基づいて計算した核分裂生成物の大気中への放出量は表 1-8-1 の通りである。

表 1-8-1 核分裂生成物の大気中への放出量

核分裂生成物	放出量
希ガス	約 $1.3 \times 10^{14}$ Bq
よう素	約 $6.6 \times 10^8$ Bq

#### 1.8.3.2. 線量当量の評価

##### (1) 評価の前提

大気中へ放出される核分裂生成物は、地上放出されるものとし、これによる実効線量の計算は、次の仮定に基づいて行う。

a. 敷地境界外の地表空气中濃度は、設置許可申請書添付書類六の「5.5 安全解析に使用する気象条件」に記述される相対濃度に核分裂生成物の全放出量を乗じて求めること。

なお、相対濃度 ( $\chi/Q$ ) は保守的な評価となる設置許可申請書記載の4号機の主蒸気管破断(地上放出)の値  $3.4 \times 10^{-5}$ s/m<sup>3</sup>を適用する。

b. 敷地境界外の希ガスによるγ線空気吸收線量は、設置許可申請書添付書類六の「5.5 安全解析に使用する気象条件」に記述される相対線量に希ガスの全放出量を乗じて求める。

なお、相対線量 ( $D/Q$ ) は保守的な評価となる設置許可申請書記載の4号機の主蒸気管破断(地上放出)の値  $3.4 \times 10^{-19}$ Gy/Bqを適用する。

##### (2) 評価方法

敷地境界外における実効線量は、次に述べる内部被ばくによる実効線量及び外部被ばくによる実効線量の和として計算する。

よう素の内部被ばくによる実効線量  $H_I$  (Sv) は、(1)式で計算する。

$$H_I = R \cdot H \cdot \chi/Q \cdot Q_I \dots \dots \dots \dots \quad (1)$$

ここで、

R : 呼吸率 (m<sup>3</sup>/s) 「発電用軽水型原子炉施設の安全評価に関する審査指針」の活動中の呼吸率を秒当たりに換算して用いる。

(小児 : 0.31m<sup>3</sup>/h, 成人 : 1.2m<sup>3</sup>/h)

H : よう素(I-129)を1Bq吸入した場合の実効線量は ICRP Publ. 72 の値を用いる。

(小児 :  $2.0 \times 10^{-7}$ Sv/Bq, 成人 :  $9.6 \times 10^{-8}$ Sv/Bq)

$\chi/Q$  : 相対濃度 (s/m<sup>3</sup>)

$Q_I$  : よう素の大気放出量 (Bq)

希ガスの $\gamma$ 線外部被ばくによる実効線量 $H_{\gamma}$  (Sv) は、(2)式で計算する。

$$H_{\gamma} = K \cdot D / Q \cdot Q_K \cdot E_{\gamma} / 0.5 \dots \dots \dots \quad (2)$$

ここで、

- $K$  : 空気吸収線量から実効線量への換算係数 (1Sv/Gy)
- $D / Q$  : 相対線量 (Gy/Bq)
- $Q_K$  : 希ガスの大気放出量 (Bq)
- $E_{\gamma}$  :  $\gamma$ 線実効エネルギー「被ばく計算に用いる放射線エネルギー等について」を用いる。(0.0022MeV)

また、希ガスの $\beta$ 線外部被ばくによる実効線量 $H_{\beta}$  (Sv) は、(3)式で計算する。

$$H_{\beta} = 6.2 \times 10^{-14} \cdot \chi / Q \cdot Q_K \cdot E_{\beta} \cdot W_{TS} \dots \dots \dots \quad (3)$$

ここで、

- $\chi / Q$  : 相対濃度 (s/m<sup>3</sup>)
- $Q_K$  : 希ガスの大気放出量 (Bq)
- $E_{\beta}$  :  $\beta$ 線実効エネルギー「被ばく計算に用いる放射線エネルギー等について」を用いる。(0.251MeV)
- $W_{TS}$  : 皮膚の組織荷重係数は ICRP Publ. 60 の値を用いる。(0.01)

### (3) 評価結果

上記の評価前提及び方法に基づき敷地境界外の実効線量を評価した結果は表 1-8-2 の通りである。

表 1-8-2 構内用輸送容器の落下時の実効線量

	小児	成人
よう素の $\gamma$ 線による実効線量	約 $3.9 \times 10^{-4}$ mSv	約 $7.1 \times 10^{-4}$ mSv
希ガスの $\gamma$ 線による実効線量	約 $1.9 \times 10^{-4}$ mSv	約 $1.9 \times 10^{-4}$ mSv
希ガスの $\beta$ 線による実効線量	約 $6.7 \times 10^{-4}$ mSv	約 $6.7 \times 10^{-4}$ mSv
実効線量 (合計)	約 $1.3 \times 10^{-3}$ mSv	約 $1.6 \times 10^{-3}$ mSv

上記の値から判断して、本事象による周辺の公衆に与える放射線被ばくのリスクは十分に小さいものと考えられる。

2. 別添

別添－1 3号機構内用輸送容器に係る確認事項について

別添－2 3号機構内用輸送容器の保守について

## 3号機 構内用輸送容器に係る確認事項について

3号機 構内用輸送容器の設置工事および溶接に係る主要な確認項目を表－1～表－2に示す。

表－1 安全機能及び構造強度に関する確認事項

確認事項	確認項目		確認内容	判定基準
構造強度	材料確認		実施計画に記載されている主な材料について確認する。	実施計画のとおりであること。
	強度・漏えい確認	耐圧・漏えい確認	確認圧力で保持した後、確認圧力に耐えていることを確認する。 耐圧確認終了後、耐圧部分からの漏えいの有無を確認する。	確認圧力に耐え、かつ構造物の変形等がないこと。 また、耐圧部から著しい漏えいがないこと。
構造強度遮へい機能	構造確認	寸法確認	実施計画に記載されている主要寸法を確認する。	寸法が許容範囲内であること。
		外観確認	各部の外観を確認する。	有意な欠陥がないこと。
除熱機能	機能確認	伝熱確認	代表1基について容器内部に使用済燃料を模擬するヒータを挿入して発熱させ、温度を確認する。	周囲温度を補正した容器各部の温度が最高使用温度を超えないこと。
密封機能	機能確認	取合確認	密封境界を構成する蓋等が容器と取合い密封境界の構成に問題が無いことを確認する。	密封境界を構成する蓋等が容器と取合うこと。
臨界防止機能	機能確認	材料確認 寸法確認 外観確認	バスケットの材料及び主要寸法が、実施計画評価の前提条件となっている値を満足していることを確認し、バスケットの外観に異常のないことを確認する。	・材料が実施計画どおりであり、寸法が許容範囲内であること。 ・有意な変形、破損等の異常がないこと。

表-2 溶接部に関する確認事項

確認項目	確認内容	判定基準
材料確認	使用材料を材料証明書により確認する。	実施計画に記載の材料が使用されていること。
開先確認	開先面の溶接に悪影響を及ぼす欠陥、付着物の有無を確認する。	開先面の溶接に悪影響を及ぼす傷、欠陥、付着物がないこと。
	開先形状、寸法について確認する。	開先形状、寸法が溶接規格に適合していること。
溶接作業確認	溶接施工法が、溶接規格第2部に定める溶接施工法認証標準に基づく確認試験を実施し合格したものであることを確認する。	溶接施工法が、溶接規格第2部に定める溶接施工法認証標準に基づく確認試験を実施し合格したものであること。
	溶接士は、実機作業が可能となる資格を有し、同資格が有効期限内であることを確認する。	溶接士は、実機作業が可能となる資格を有し、同資格が有効期限内であること。
	溶接設備が溶接施工法に適したものであることを確認する。	溶接設備が溶接施工法に適したものであること。
	溶接が、あらかじめ決められた溶接施工法によって、溶接士が保有する資格の作業範囲内で行われていることを確認する。	溶接が、あらかじめ決められた溶接施工法で行われていること。 溶接士が保有する資格の作業範囲内で行われていること。
溶接後熱処理確認	溶接後熱処理の方法、熱処理設備の種類及び容量が溶接規格に適合するものであることを確認する。	溶接後熱処理の方法、熱処理設備の種類及び容量が溶接規格に適合するものであること。
非破壊確認	放射線透過試験または浸透探傷試験を実施し、溶接規格に規定する判定基準に適合することを確認する。	放射線透過試験または浸透探傷試験を実施し、溶接規格に規定する判定基準に適合すること。
機械確認	機械試験を実施し、溶接規格に規定する判定基準に適合することを確認する。	機械試験を実施し、溶接規格に規定する判定基準に適合すること。
耐圧確認	溶接規格に規定する試験圧力で、一定時間以上保持した後、試験圧力に耐え、かつ、漏えいのないことを確認する。	目視により各溶接部を検査し、漏えいのないこと。
外観確認	溶接部の形状、外観及び状態について溶接規格に適合することを目視で確認する。	目視により溶接部の仕上がり形状を確認し、溶接規格に適合していること。

### 3号機構内用輸送容器の保守について

3号機構内用輸送容器は、本文 2.11.1.4 供用期間中に確認する項目に記載のとおり、「除熱、密封、遮へい、臨界防止の安全機能が維持されていること」を供用期間中、確認する。

輸送容器は、共用プールにおいて、輸送毎に以下の検査を実施する。なお、合格基準は、表-3に示す。また、検査の結果、必要に応じて消耗品の交換、補修を実施する。

#### (1) 外観検査

輸送容器の外表面を目視で確認する。

#### (2) 気密漏えい検査

輸送容器密封部の圧力降下を測定し、漏えい率を算出する。

#### (3) 遮へい検査

収納物を収納した状態で、輸送容器表面の線量当量率を測定する。

#### (4) 未臨界検査

輸送容器内に収納されたバスケットの外観を目視で確認する。

#### (5) 吊上検査

輸送容器を吊り上げた後の状態において、上部トラニオン部の外観を目視で確認する。

#### (6) 作動確認検査

バルブの開閉を行い、作動性を確認する。

#### (7) 熱検査

収納物を収納した状態で、輸送容器表面の温度を測定する。

表-3 検査項目、検査方法及び合格基準

検査項目	検査方法	合格基準
外観検査	輸送容器の外表面を目視で確認する。	輸送容器の形状に異常な傷又は割れがないこと。
気密漏えい検査	輸送容器密封部に 0.9MPaG 以上の圧力を加え、圧力降下を測定し、漏えい率を算出する。	一次蓋、二次蓋及びポートカバーの各部の漏えい率が $9 \times 10^{-1}$ ref cm <sup>3</sup> /s を超えないこと。
遮へい検査	収納物を収納した状態で、輸送容器表面の線量当量率を測定する。	実施計画記載の評価値を超えないこと。
未臨界検査	輸送容器内に収納されたバスケットの外観を目視で確認する。	バスケットに異常な変形又は破損がないこと。
吊上検査	輸送容器を吊り上げた後の状態において、上部トラニオン部の外観を目視で確認する。	トラニオン部など吊上部等に異常な変形又は破損がないこと。
作動確認検査	バルブの開閉を行い、作動性を確認する。	作動性に異常のないこと。
熱検査	収納物を収納した状態で、輸送容器表面の温度を測定する。	実施計画記載の評価値を超えないこと。

## 破損燃料用輸送容器（7体）に係る安全機能及び構造強度に関する説明書（3号機）

### 1. 3号機の破損燃料用輸送容器（7体）に係る安全機能及び構造強度

#### 1.1. 破損燃料用輸送容器（7体）の概要

3号機使用済燃料プールには、「添付資料－1－3 燃料の健全性確認及び取り扱いに関する説明書 6.2. 3号機における燃料の取り扱い」に示すとおり、震災以前から存在する漏えい燃料等やハンドル部が変形し燃料健全性への影響が疑われる燃料（以下、「破損燃料」という。）が存在し、がれき落下衝撃試験及びがれき衝突解析の結果からペレットが燃料被覆管内に保持されていると想定する。破損燃料用輸送容器は、これらの破損燃料を共用プールへ輸送する際に使用する。

破損燃料用輸送容器は、既存の3号機構内用輸送容器に対して破損燃料を評価条件とした安全評価を行い、安全機能及び構造強度を確認した上で破損燃料用輸送容器として使用する。

また、破損燃料用輸送容器は、収納する燃料のハンドル部の変形の程度に応じて、バスケットを取り替えることにより、変形が小さい燃料を7体収納できる容器（以下、「破損燃料用輸送容器（7体）」という。）と、変形が大きい燃料を2体収納できる容器（以下、「破損燃料用輸送容器（2体）」という。）に使い分けることが可能である。

なお、後者の破損燃料用輸送容器（2体）に係る安全機能及び構造強度については、「添付資料2－2－2 破損燃料用輸送容器（2体）に係る安全機能及び構造強度に関する説明書（3号機）」で説明する。

#### 1.1.1. 破損燃料用輸送容器（7体）の構成

「添付資料－2－1－2 構内用輸送容器に係る安全機能及び構造強度に関する説明書（3号機） 1.1.1. 構内用輸送容器の構成」を参照。

#### 1.1.2. 設備仕様

##### 1.1.2.1. 破損燃料用輸送容器（7体）の仕様

「添付資料－2－1－2 構内用輸送容器に係る安全機能及び構造強度に関する説明書（3号機） 1.1.2.1. 構内用輸送容器の仕様」を参照。

##### 1.1.2.2. 破損燃料用輸送容器（7体）に収納する燃料仕様

バスケットに装填したステンレス鋼製の使用済燃料収納缶（小）（内寸153mm）に燃料を装填して共用プールに輸送する。

収納対象とする燃料は、震災以前から存在する漏えい燃料、チャンネルボックスが装

着されていないスペーサー部損傷燃料及びハンドル部の変形が小さい燃料、並びに健全燃料とする。

なお、破損燃料用輸送容器（7体）で輸送可能な3号機の破損燃料は、がれき落下衝撃試験及びがれき衝突解析の結果からペレットが燃料被覆管内に保持されていると想定される燃料に限る。

3号機使用済燃料プールに貯蔵されている燃料の仕様を表1-1-1に示す。

表1-1-1 3号機使用済燃料プールに貯蔵されている燃料の仕様

	使用済燃料				新燃料
燃料タイプ	8×8燃料	新型8×8 ジルコニウムライ 燃料	高燃焼度 8×8燃料	9×9燃料 (A型)	9×9燃料 (A型)
貯蔵体数	6	36	148	324	52
最高燃焼度 (MWd/t)	34,100	39,300	43,900	51,300	—
最短冷却日 数(日) <sup>※1</sup>	12,133	7,979	4,229	3,207	—

※1：平成31年3月31日時点での冷却期間

## 1.2. 評価の基本方針

破損燃料用輸送容器（7体）が本文2.11.1.3項の設計方針に示される除熱、密封、遮へい及び臨界防止の安全機能を有するとともに、本文2.11.1.8項の構造強度及び耐震性に示される構造強度を有する設計であることを確認する。

なお、既存の3号機構内用輸送容器の安全機能及び構造強度は「添付資料－2－1－2構内用輸送容器に係る安全機能及び構造強度に関する説明書（3号機）」（以下、「既存評価」という。）で確認されているため、1.1.2.2.項に示す3号機の破損燃料が既存評価の評価条件に該当しない事項について、新たに評価を行う。

表1-2-1に評価すべき各安全機能に対する安全設計・評価の方針を示す。

表1-2-1 破損燃料用輸送容器（7体）安全評価の基本方針

項目	設計方針	評価対象	新評価実施要否	評価方針
構造強度	構内用輸送容器は取扱中における衝撃、熱等に耐え、かつ、容易に破損しない設計とする。 構内用輸送容器は、設計、材料の選定、製作及び検査について適切と認められる規格及び基準によるものとする。	破損燃料用輸送容器（7体）	—	震災以前から存在する漏えい燃料等は、燃料被覆管の軽微な損傷または損傷の可能性があるが、ペレットは燃料被覆管内に保持されると想定する。また、ハンドル部が変形した燃料についても落下がれきにより燃料上部が損傷している可能性があるが、ペレットは燃料被覆管内に保持されると想定する。このことから、設計事象の荷重条件が既存評価と同等であると言えるため、新評価は不要。
除熱機能	使用済燃料の健全性及び構成部材の健全性が維持できるように、使用済燃料の崩壊熱を適切に除去できる設計とする。	燃料被覆管	—	構造強度と同様にペレットは燃料被覆管内に保持されると想定する。このことから、評価条件が既存評価と同等であると言えるため、新評価は不要。
		破損燃料用輸送容器（7体）	—	
密封機能	周辺公衆及び放射線業務従事者に対し、放射線被ばく上の影響を及ぼすことのないよう、使用済燃料が内包する放射性物質を適切に閉じ込める設計とする。	破損燃料用輸送容器（7体）	—	構造強度及び除熱機能の評価結果が既存評価と同等であり、容器構造も同一であるため、新評価は不要。
遮へい機能	内部に燃料を入れた場合に放射線障害を防止するため、使用済燃料の放射線を適切に遮へいする設計とする。	破損燃料用輸送容器（7体）	—	構造強度と同様にペレットは燃料被覆管内に保持されると想定する。このことから、評価条件が既存評価と同等であると言えるため、新評価は不要。
臨界防止機能	想定されるいかなる場合にも燃料が臨界に達することを防止できる設計とする。	破損燃料用輸送容器（7体）	○	構造強度と同様にペレットは燃料被覆管内に保持されると想定するが、万一臨界に至った場合の影響緩和が困難であることから、保守的に燃料棒の形状が維持されていないと仮定して実効増倍率を評価する。

### 1.3. 臨界防止機能

#### 1.3.1. 基本的な考え方

臨界防止にあたっては、想定されるいかなる場合にも燃料が臨界に達することを防止するため以下のとおり設計する。

- 燃料を収納するバスケットは格子構造として、燃料を所定の幾何学的配置に維持する設計とする。
- バスケットの主要材料には、中性子を吸収するボロン添加ステンレス鋼を使用し、バスケット外周部にボロン添加アルミニウム合金板を配置する。

#### 1.3.2. 設計基準

想定されるいかなる場合も実効増倍率が 0.95 以下であること。

#### 1.3.3. 評価条件

##### 1) 燃料条件、評価モデル

以下の保守的な燃料条件で評価を行うものとする。臨界評価モデルを図 1-3-1 に示す。

- ・燃料棒の形状が維持されていないと仮定し、以下の条件を設定する。
  - ・燃料被覆管が破損しペレットが使用済燃料収納缶（小）内に放出され、さらに使用済燃料収納缶（小）外にペレットが漏えいすることを仮定し、容器内にペレットと水が非均質に混ざった状態とする。
  - ・水／ウラン比、ペレット粒径が最適な状態とする。
  - ・U-235 の濃縮度は未照射のまま減損しない値とし、9 × 9 燃料のペレット最高濃縮度 4.9wt% とする。また、中性子吸收断面積の大きい Gd は無視する。
- ・バスケット内の使用済燃料収納缶（小）配置は、格子間の範囲で偏心配置（バスケット中心寄り）を考慮する。
- ・バスケット材料のボロン添加ステンレス鋼材中及びバスケット外周に配置したボロン添加アルミニウム合金の  $^{10}\text{B}$  含有量は、製造下限値とする。
- ・評価に使用する各部の寸法は製造公差を考慮した寸法とする。
- ・チャンネルボックス及びウォーターロッドは水に置換える。
- ・中性子遮へい体部（レジン）は真空とする。
- ・破損燃料用輸送容器（7 体）外部の雰囲気は安全側に真空、完全反射とする。
- ・評価モデルは 3 次元体系とする。

完 全 反 射

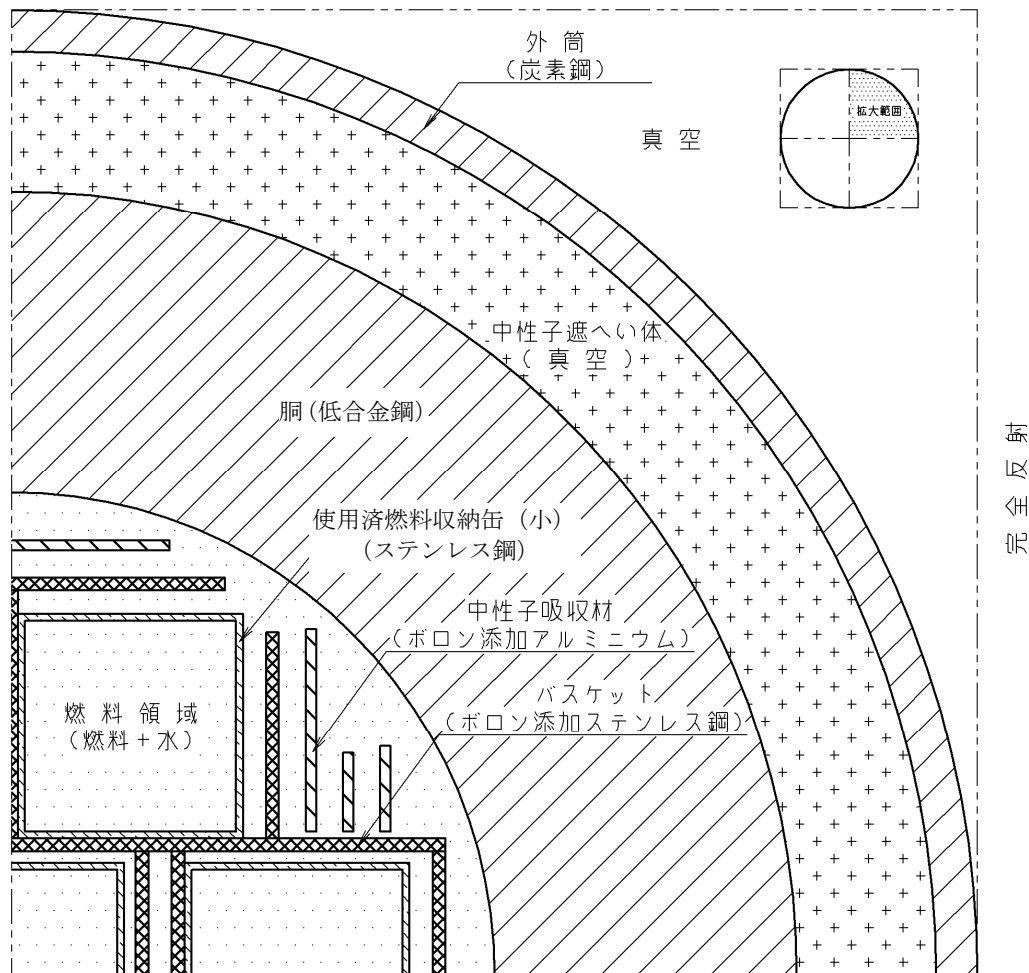


図 1-3-1 臨界評価体系

#### 1.3.4. 評価方法

破損燃料用輸送容器（7体）の実形状をモデル化し、臨界解析コード KENO-V.a を使用して求める。

#### 1.3.5. 評価結果

評価結果を表 1-3-1 に示す。表 1-3-1 に示すとおり、破損燃料用輸送容器（7体）の実効増倍率は設計基準を満足している。

表 1-3-1 評価結果

実効増倍率 <sup>*1</sup>	設計基準
0.94	0.95

\*1 モンテカルロ計算の統計誤差（ $3\sigma$ ）を考慮した値

## 参考資料

### 臨界解析に用いるコード（KENO-V.a）について

#### （1） 概要

KENO-V.a コードは、米国オークリッジ国立研究所（ORNL）で開発されたモンテカルロ法に基づく公開の臨界解析コードであり、輸送容器の臨界解析などに利用されている。

#### （2） 機能

KENO-V.a コードは、臨界解析に際して以下の機能を有している。

- ① 実際に中性子が出会う物理現象を確率理論を用いて模擬するため、どのような物理的問題にも適用できる。なお、統計的な手法を用いるため、計算結果には統計誤差が付随する。
- ② 一次元～三次元の任意形状の体系を扱うことができる。

#### （3） 解析フロー

KENO-V.a コードの解析フローを図 1-3-2 に示す。

#### （4） 使用実績

KENO-V.a コードは、国内外で輸送容器の臨界解析をはじめ、核燃料施設の臨界解析に使用されている。

#### （5） 検証

米国のバッテル研究所（パシフィック ノースウェスト研究所、PNL）で行われた臨界実験<sup>\*1</sup>の中から 16 種類の臨界体系をベンチマーク試験<sup>\*2</sup>として選び、検証を行った。

\*1 S. R. Bierman and E. D. Clayton, “Criticality Experiments with Subcritical Clusters of 2.35 Wt% and 4.31 Wt%  $^{235}\text{U}$  Enriched  $\text{UO}_2$  Rods in Water with Steel Reflecting Walls”, NUREG/CR-1784(PNL-3602), U.S. Nuclear Regulatory Commission, April 1981.

\*2 “International Handbook of Evaluated Criticality Safety Benchmark Experiments”, LEU-COMP-THERM-010, LEU-COMP-THERM-013, LEU-COMP-THERM-017, LEU-COMP-THERM-042, NEA/NSC/DOC(95)03, September 2009.

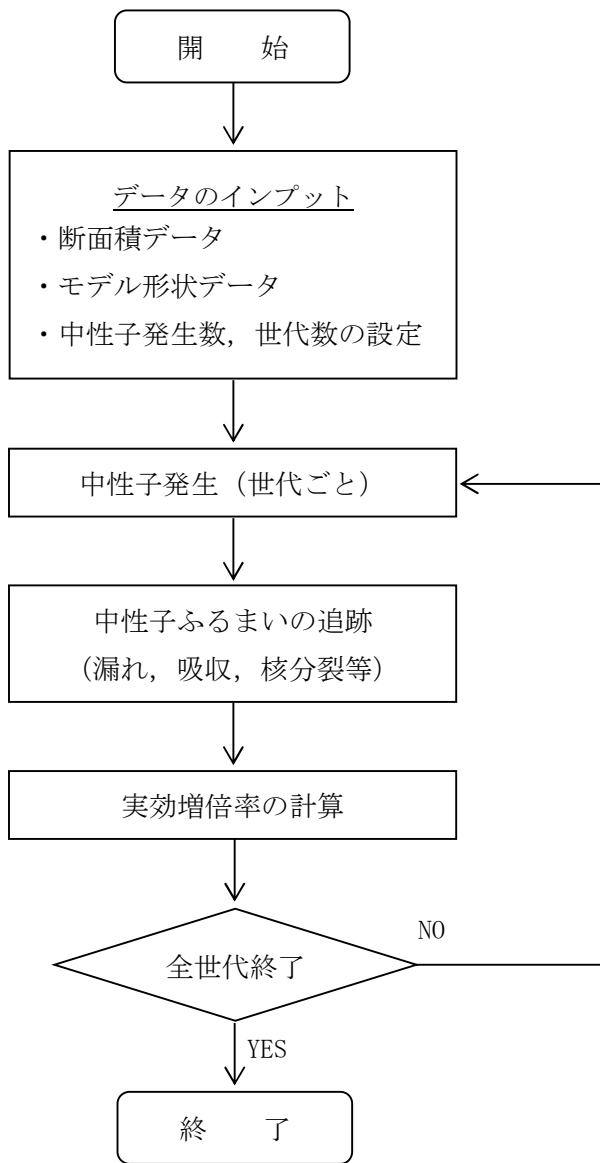


図 1-3-2 KENO-V.a コードの解析フロー図

1.4. 破損燃料用輸送容器（7体）の落下

「添付資料－2－1－2 構内用輸送容器に係る安全機能及び構造強度に関する説明書  
(3号機) 1.8. 構内用輸送容器の落下」を参照。

## 破損燃料用輸送容器（2体）に係る安全機能及び構造強度に関する説明書（3号機）

### 1. 3号機の破損燃料用輸送容器（2体）に係る安全機能及び構造強度

#### 1.1. 破損燃料用輸送容器（2体）の概要

3号機使用済燃料プールにあるハンドル部の変形が認められる燃料のうち、ハンドル部の変形が大きく破損燃料用輸送容器（7体）に収納できない燃料については、内のりの大きいバスケット（2体収納）に取り替えた破損燃料用輸送容器（2体）を使用して、共用プールへ輸送する。なお、バスケット（2体収納）は3基ある3号機構内用輸送容器のいずれに対しても取り替えることができる。

#### 1.1.1. 破損燃料用輸送容器（2体）の構成

破損燃料用輸送容器（2体）は、容器本体、蓋、バスケット及びトラニオンにより構成される。なお、バスケット以外の構成部材は破損燃料用輸送容器（7体）から流用して用いる。破損燃料用輸送容器（2体）の概要図を図1-1-1に示す。

##### （1）容器本体

容器本体は胴、底板、中性子遮へい体、外筒で構成される。低合金鋼の胴及び底板と蓋で放射性物質を閉じ込める耐圧バウンダリを構成する。

また、主に胴及び底板の低合金鋼がガンマ線遮へい機能を有し、胴と外筒の間および底板の底部に配置されたレジンが中性子遮へい機能を有する。

##### （2）蓋

蓋は一次蓋及び二次蓋で構成する。

一次蓋はステンレス鋼であり、複数本のボルトで容器本体フランジ面に取付けられる。一次蓋にはゴム製のOリングを設け容器本体フランジ面との密封性を確保する構造となっている。一次蓋のステンレス鋼がガンマ線遮へい機能を有する。

二次蓋もステンレス鋼であり、一次蓋の上から複数本のボルトで容器本体フランジ面に取付けられる。二次蓋にもゴム製のOリングを設け、容器本体フランジ面との密封性を確保できる構造となっている。

##### （3）バスケット

バスケットは容器内において燃料集合体を所定の位置に保持するための構造物である。また、未臨界確保のためバスケット外周にボロン添加アルミニウム合金板を設置している。

燃料集合体はバスケット内に装填したステンレス鋼製の使用済燃料収納缶（大）に収納する。

#### (4) トラニオン

トラニオンは容器のクレーンでの取扱い（吊上げ）及び、構内輸送時の固縛のために容器上部及び下部にボルトで取付ける。

取扱い時（縦姿勢）は容器と吊具との接続を二重化して落下を防止するために、上部トラニオンは二対（4個）設ける。

構内輸送時（横姿勢）では上部トラニオンと下部トラニオンで架台等に固定するため、下部トラニオンは一対（2個）設ける。

##### 1.1.2. 設備仕様

###### 1.1.2.1. 破損燃料用輸送容器（2体）の仕様

破損燃料用輸送容器（2体）の仕様を表1-1-1に示す。

表 1-1-1 破損燃料用輸送容器（2体）の仕様

項目	数値等
重量（t） (燃料を含む)	約 44.3
全長（m）	約 5.6
外径（m）	約 1.4
収納体数（体）	2
基数（基）	1※1

※1：バスケット（2体収納）は1個有する

###### 1.1.2.2. 破損燃料用輸送容器（2体）に収納する燃料仕様

1.1.1. (3)に記載のとおり、バスケットに装填したステンレス鋼製の使用済燃料収納缶（大）（内寸209mm）に燃料を装填して共用プールに輸送する。

収納対象とする燃料は、破損燃料用輸送容器（7体）に収納できない破損燃料、並びに健全燃料とする。

なお、破損燃料用輸送容器（2体）で輸送可能な3号機の破損燃料は、がれき落下衝撃試験及びがれき衝突解析の結果からペレットが燃料被覆管内に保持されていると想定される燃料に限る。

3号機使用済燃料プールに貯蔵されている燃料の仕様を表1-1-2に示す。

表1-1-2 3号機使用済燃料プールに貯蔵されている燃料の仕様

	使用済燃料				新燃料
燃料タイプ	8×8燃料	新型 8×8 ジルコニアムライ 燃料	高燃焼度 8×8 燃料	9×9燃料 (A型)	9×9燃料 (A型)
貯蔵体数	6	36	148	324	52
最高燃焼度 (MWd/t)	34,100	39,300	43,900	51,300	—
最短冷却日 数(日) <sup>※2</sup>	12,133	7,979	4,229	3,207	—

※2：平成31年3月31日時点での冷却期間

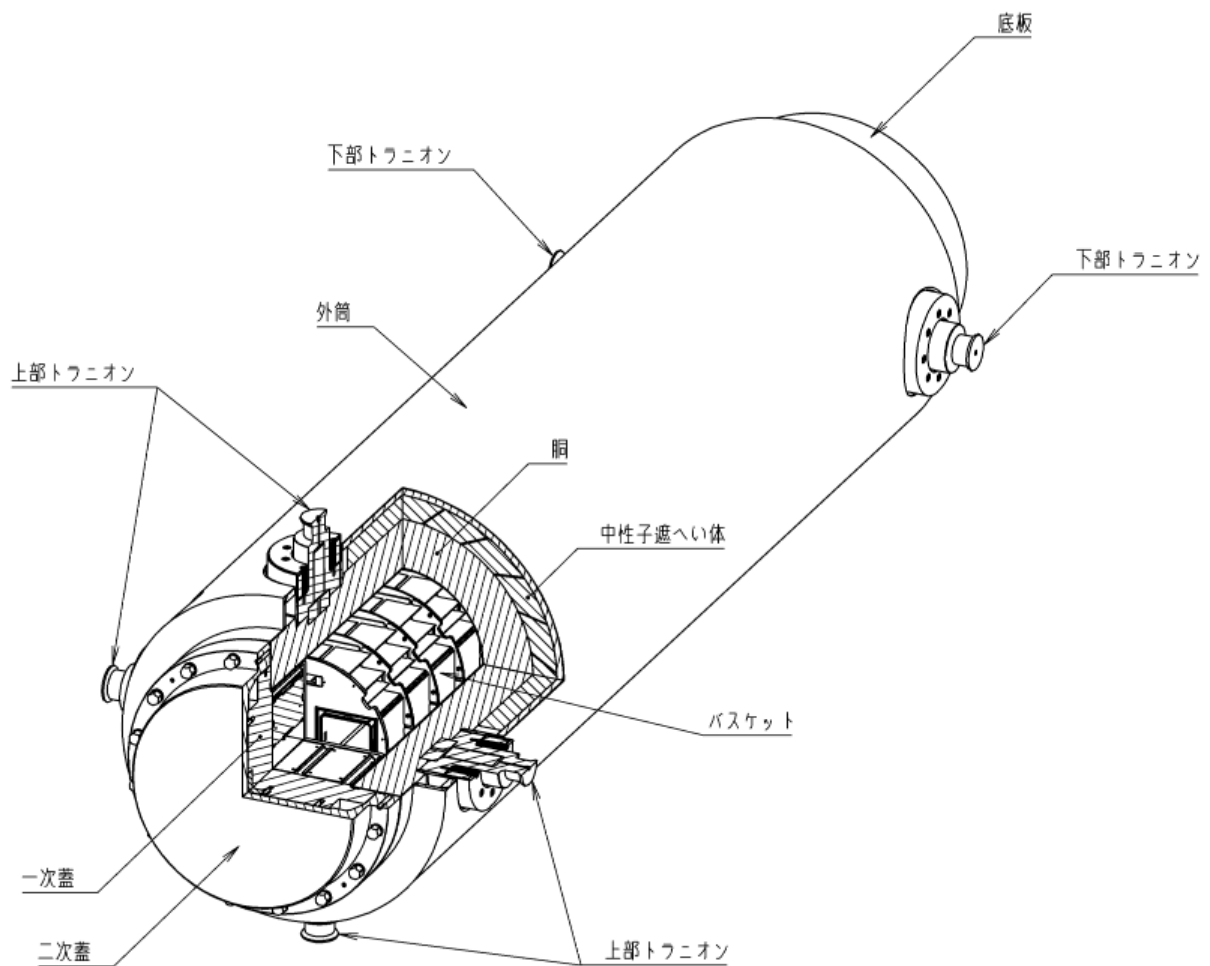


図 1-1-1 破損燃料用輸送容器（2体） 概要図

## 1.2. 評価の基本方針

破損燃料用輸送容器（2体）が、本文2.11.1.3項の設計方針に示される除熱、密封、遮へい及び臨界防止の安全機能を有するとともに、本文2.11.1.8項の構造強度及び耐震性に示される構造強度を有する設計であることを確認する。

表1-2-1に評価すべき各安全機能に関する安全設計・評価の方針を示す。

表1-2-1 破損燃料用輸送容器（2体）安全評価の基本方針

項目	設計方針	評価対象	評価方針
構造強度	構内用輸送容器は取扱中における衝撃、熱等に耐え、かつ、容易に破損しない設計とする。 構内用輸送容器は、設計、材料の選定、製作及び検査について適切と認められる規格及び基準によるものとする。	破損燃料用輸送容器（2体）	落下がれきにより燃料上部が損傷している可能性があるが、ペレットは燃料被覆管内に保持されると想定する。 3号機構内用輸送容器の取扱手順から設計事象を抽出し、その荷重条件で発生する応力を評価する。 構造強度評価手法は、JSME S NC1-2005/2007設計・建設規格を準用する。
除熱機能	使用済燃料の健全性及び構成部材の健全性が維持できるように、使用済燃料の崩壊熱を適切に除去できる設計とする。	燃料被覆管	構造強度と同様にペレットは燃料被覆管内に保持されると想定し、収納する燃料から発生する最大崩壊熱量で容器各部及び燃料の温度を評価する。
		破損燃料用輸送容器（2体）	
密封機能	周辺公衆及び放射線業務従事者に対し、放射線被ばく上の影響を及ぼすことのないよう、使用済燃料が内包する放射性物質を適切に閉じ込める設計とする。	破損燃料用輸送容器（2体）	構造強度及び除熱機能の評価結果から、設計事象において、容器密封部の健全性が維持されることを評価する。
遮へい機能	内部に燃料を入れた場合に放射線障害を防止するため、使用済燃料の放射線を適切に遮へいする設計とする。	破損燃料用輸送容器（2体）	構造強度と同様にペレットは燃料被覆管内に保持されると想定し、収納する燃料から発生する線源強度で容器表面及び表面から1mの線量当量率を評価する。
臨界防止機能	想定されるいかなる場合にも燃料が臨界に達することを防止できる設計とする。	破損燃料用輸送容器（2体）	構造強度と同様にペレットは燃料被覆管内に保持されると想定するが、万一臨界に至った場合の影響緩和が困難であることから、保守的に燃料棒の形状が維持されていないと仮定して実効増倍率を評価する。

### 1.3. 構造強度評価

#### 1.3.1. 基本的な考え方

破損燃料用輸送容器（2体）の構造強度の評価部位は、安全上重要な部位として容器本体（胴及び底板）、蓋、バスケット、支持機能を有するトラニオンとする。

ただし、バスケットを除く構成部材は3号機構内用輸送容器と同一であり、収納体数は3号機構内用輸送容器の7体より少ないため容器質量は小さい。よって、容器の支持部材であるトラニオンについては、「添付資料－2－1－2 構内用輸送容器に係る安全機能及び構造強度に関する説明書（3号機） 1.3. 構造強度評価」に包絡される。

従って、容器本体（胴及び底板）、蓋、バスケットの各部の構造強度を評価する。

構造強度評価手法は、JSME S NC1-2005/2007 設計・建設規格（以下、「設計・建設規格」という。）を準用する。各評価対象部位の適用基準・規格を表1-3-1に示す。

表 1-3-1 構造強度に係る適用基準・規格

評価対象 部位	設計・建設規格 機器区分	構造強度 評価方法	考え方
容器本体, 蓋	クラス3容器	クラス1容器の規定を 準用	<p>容器本体及び蓋は設計・建設規格 GNR-1210 及び GNR-1220 の機器等の区分の定義より, クラス3容器に区分されると考えられる。</p> <p>圧力荷重についてはクラス3容器における規格計算式で評価することができるが, 熱荷重や取扱時の衝撃荷重等の各種の負荷荷重が発生することから, これらの荷重については, 応力解析によって発生応力を求めて評価する必要がある。</p> <p>したがって, 構造強度評価手法は, 同様な「解析による設計」の考え方が採用されているクラス1容器を準用する。</p>
バスケット	ノンクラス	炉心支持構造物の規定 を準用	<p>バスケットは設計・建設規格 GNR-1210 及び GNR-1220 の機器等の区分の定義に該当しないと考えられる。</p> <p>しかし, 容器内において燃料を支持する部材であるため, 構造強度評価手法は, 炉心支持構造物を準用する。</p>

### 1.3.2. 設計事象の抽出

JSME S FA1-2007 金属キャスク構造規格の考え方に基づいて、破損燃料用輸送容器（2体）の設計事象として以下を抽出した。

なお、設計事象の抽出にあたっては、図1-3-1に示すハンドリングフローに基づき、破損燃料用輸送容器（2体）の取扱い及び共用プールまでの輸送において想定される起因事象に着目し、発生防止対策を考慮して事象の発生の可能性を検討した。設計事象の抽出結果を表1-3-2に示す。

#### 1) 設計事象I

容器本体及び蓋には、収納する燃料の発熱により内圧及び熱による応力が発生する。また、取扱い時及び構内輸送時の加速度により収納物及び自重による荷重がかかり、応力が発生する。

バスケットには、取扱い時及び構内輸送時の加速度により収納物及び自重による荷重がかかり、応力が発生する。

#### 2) 設計事象II

容器本体及び蓋には、輸送架台への衝突（取扱いモードNo.3）、搬送架台への衝突（取扱いモードNo.7）、転倒防止台座への衝突（取扱いモードNo.9）及びキャスクピットへの衝突（取扱いモードNo.10）の加速度における収納物及び自重による荷重がかかり、応力が発生する。

バスケットには、輸送架台への衝突（取扱いモードNo.3）、搬送架台への衝突（取扱いモードNo.7）、転倒防止台座への衝突（取扱いモードNo.9）及びキャスクピットへの衝突（取扱いモードNo.10）の加速度における収納物及び自重による荷重がかかり、応力が発生する。

#### 3) 設計事象III及び設計事象IV

破損燃料用輸送容器（2体）を取扱う設備及び運用においては、クレーンワイヤ及び吊具の二重化、始業前の機器の点検を実施することから、ハンドリングフローから抽出される事象のうち、破損燃料用輸送容器（2体）の安全機能を著しく損なう事象であつて、一般公衆の放射線被ばくの観点からみて重要と考えられる事象はない。

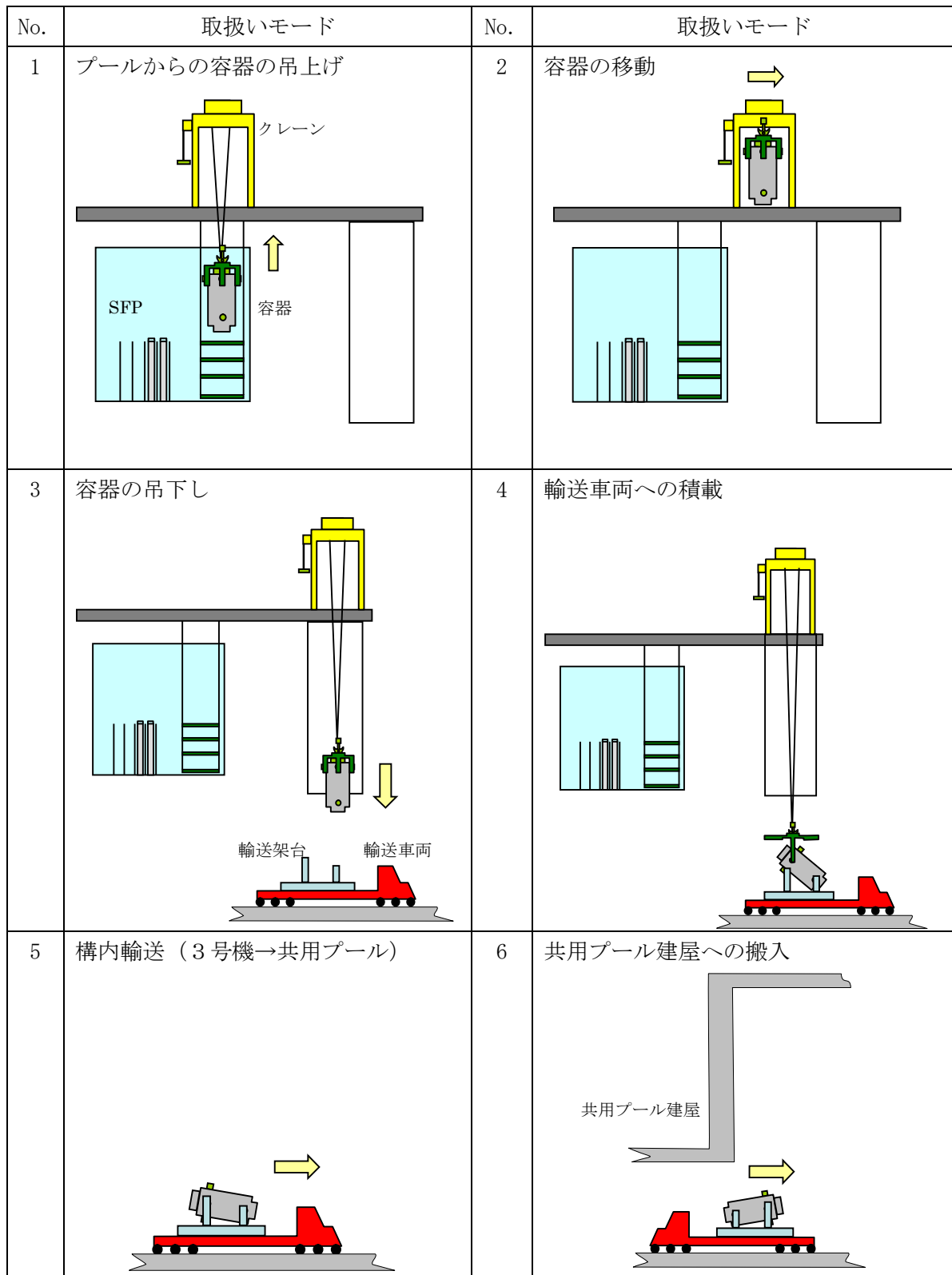


図 1-3-1 構内用輸送容器のハンドリングフロー (1/2)

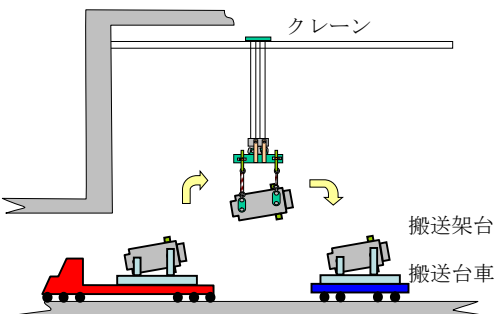
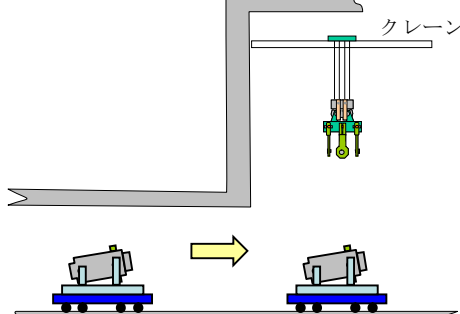
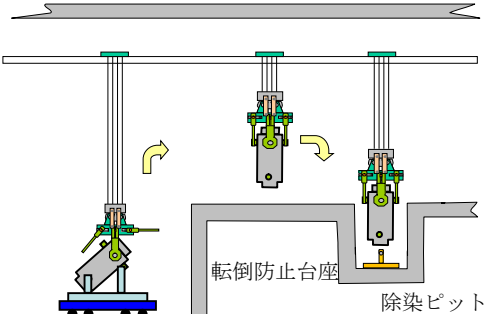
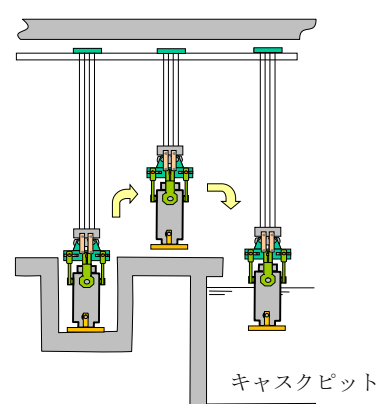
No.	取扱いモード	No.	取扱いモード
7	搬送台車への積載	8	キャスク取扱室への移動
			
9	除染ピットへの移動	10	キャスクピットへの移動
			

図 1-3-1 構内用輸送容器のハンドリングフロー (2/2)

表 1-3-2 設計事象の抽出 (1/2)

起因事象	原因	発生の可能性・防止策	発生の有無	想定シナリオ	抽出の要否
破損燃料用輸送容器(2体)の落下	輸送車両取扱い時の落下 (No. 5)	固定ボルトの取付け不良	以下の対策、設計により容器の落下を防止する ● 容器は輸送車両に複数のボルトで固縛されていることを確認 ● 容器は輸送車両で徐行して輸送 ● 輸送経路は輸送に関係する人及び車両以外の立入を制限	×	×
	搬送台車取扱い時の落下 (No. 8)	固定ボルトの取付け不良	以下の対策、設計により容器の落下を防止する ● 容器は搬送台車に複数のボルトで固縛されていることを確認 ● 搬送台車はレール上を走行し、走行範囲インターロック及び障害物検知装置を有している	×	×
	クレーン取扱い時の落下 (No. 1, 2, 3, 4, 7, 9, 10)	吊具の取付け不良 (3号機)	以下の対策、設計により容器の落下を防止する ● 吊具の二重化 ● 始業前の吊具点検 ● 取付け後の外れ止めを設置 ● 取付け状態のITVによる目視確認 ● 取付け状態の吊具アーム部のリミットスイッチによる確認 ● 地切り後のITVによる取付け状態の確認、クレーンの荷重確認	×	×
		吊具の取付け不良 (共用プール)	以下の対策、設計により容器の落下を防止する ● 吊具の二重化 ● 始業前の吊具点検 ● 取付け後の外れ止めを設置 ● 取付け状態の作業員による確認	×	×
	ワイヤーロープ及び吊具の破断 (3号機)	ワイヤーロープ及び吊具の破断 (3号機)	以下の対策、設計により容器の落下を防止する ● ワイヤーロープ及び吊具の二重化 ● 始業前のワイヤーロープ、吊具点検	×	×
	ワイヤーロープ及び吊具の破断 (共用プール)	ワイヤーロープ及び吊具の破断 (共用プール)	以下の対策、設計により容器の落下を防止する ● ワイヤーロープ及び吊具の二重化 ● 始業前のワイヤーロープ、吊具点検	×	×

表 1-3-2 設計事象の抽出 (2/2)

起因事象	原因	発生の可能性・防止策	発生の有無	想定シナリオ	抽出の要否
破損燃料用輸送容器(2体)の衝突	クレーン移動時(走行、横行)の衝突 (No. 2, 7, 9, 10)	ブレーキの故障 (3号機)	以下の対策、設計により容器は他の構築物等へ衝突を防止する ● ITVにより移動経路に障害物がないことの確認 ● 走行及び横行それぞれの制御盤(シーケンサ、インバータ等)による停止機能の作動	×	×
		ブレーキの故障 (共用プール)	以下の対策、設計により容器は他の構築物等へ衝突を防止する ● 容器移動前に移動経路に障害物がないことの確認 ● 走行及び横行それぞれの制御盤(シーケンサ、インバータ等)による停止機能の作動	×	×
		操作員の誤操作 (3号機)	以下の対策、設計により構内輸送容器は他の構築物等へ衝突を防止する ● クレーンの横行走行範囲に制限機能を設定 ● ITVにより移動経路に障害物がないことの確認	×	×
		操作員の誤操作 (共用プール)	以下の対策、設計により構内輸送容器は他の構築物等へ衝突を防止する ● クレーンの横行走行範囲に制限機能を設定 ● 容器移動前に移動経路に障害物がないことの確認	×	×
	クレーン吊下げ時の衝突(垂直吊り) (No. 3, 4, 9, 10)	ブレーキの故障	以下の設計により容器の輸送架台、転倒防止台座あるいはキャスクピットへ衝突を防止する ● 卷上げ装置ブレーキを二重化	×	×
		操作員の誤操作	吊下げ時の誤操作により、容器は巻下げ速度で輸送架台、転倒防止台座あるいはキャスクピットに衝突する可能性がある。	○	クレーンの最大巻下げ速度 0.025m/s で、構内用輸送容器が輸送架台、転倒防止台座、キャスクピットに衝突する場合を、設計事象として抽出。
	クレーン吊下げ時の衝突(水平吊り) (No. 7)	ブレーキの故障	以下の設計により容器の搬送架台へ衝突を防止する ● 卷上げ装置ブレーキを二重化	×	×
		操作員の誤操作	吊下げ時の誤操作により、容器は巻下げ速度で搬送架台に衝突する可能性がある。	○	クレーンの最大巻下げ速度 0.025m/s で、容器が搬送架台に衝突する場合を、設計事象として抽出。

### 1.3.3. 設計事象の荷重条件

前項で抽出した設計事象について、破損燃料用輸送容器（2体）に発生する荷重を評価する。

#### 1) 内圧

内圧は、除熱評価結果から設定した容器内部水の温度（°C）から、下記の通り設定した。

##### ① 容器内部水及び気体の熱膨張を考慮した場合の内圧

###### (a) 容器本体及び一次蓋の内圧

容器本体及び一次蓋の内圧は 0.6 (MPa) とする。

###### (b) 二次蓋の内圧

二次蓋の内圧は 0.45 (MPa) とする。

##### ② 容器内部水及び気体の熱膨張に加えて、燃料破損による燃料棒内のガス放出を考慮した場合の内圧（最高使用圧力）

###### (a) 容器本体及び一次蓋の最高使用圧力

容器本体及び一次蓋の最高使用圧力は 2.0 (MPa) とする。

###### (b) 二次蓋の最高使用圧力

二次蓋の最高使用圧力は 1.4 (MPa) とする。

##### ③ 試験時圧力

###### (a) 容器本体及び一次蓋の試験時圧力

容器本体及び一次蓋の試験時圧力は 3.0 (MPa) とする。

###### (b) 二次蓋の試験時圧力

二次蓋の試験時圧力は 2.1 (MPa) とする。

#### 2) 热荷重

破損燃料用輸送容器（2体）に発生する熱応力は、3号機構内用輸送容器における除熱評価で得られた温度分布を用いて評価する。

#### 3) 設計事象 I の加速度

取扱い時及び構内輸送時の加速度

##### ① 取扱い時（吊上げ時）

破損燃料用輸送容器（2体）を吊り上げる際に発生する加速度は以下のとおり。なお、吊上げ時の姿勢は縦姿勢である。

- 容器軸方向加速度 : 1.32 (G)

##### ② 構内輸送時

破損燃料用輸送容器（2体）を構内輸送する際に発生する加速度は以下のとおり。な

お、構内輸送時の姿勢は横姿勢である。

- ・前後方向加速度 : 2.0 (G)
- ・上方向加速度 : 2.0 (G)
- ・下方向加速度 : 3.0 (G) (自重を考慮)
- ・左右方向加速度 : 1.0 (G)

#### 4) 設計事象 II の加速度の導出

事象発生時に破損燃料用輸送容器（2体）が有する運動エネルギーを被衝突物（輸送架台，搬送架台，転倒防止台座）の弾性により吸収するとして，発生する衝撃加速度を計算した。衝撃加速度の計算方法と結果を以下に示す。

##### ①輸送架台への衝突（取扱いモード No. 3）

縦姿勢で破損燃料用輸送容器（2体）の下部トラニオンが輸送架台後部支持脚にクレーンの巻下げ速度（0.025m/s）で衝突する場合について評価する。

破損燃料用輸送容器（2体）の有する運動エネルギーを輸送架台後部支持脚のひずみエネルギーで吸収するとして，(1)式で破損燃料用輸送容器（2体）に生じる衝撃加速度を求める。

$$\alpha = 1 + \sqrt{1 + \frac{K \cdot V^2}{m \cdot g^2}} \quad (1)$$

ただし， $\alpha$  : 衝撃加速度 (G)

K : 輸送架台後部支持脚の圧縮変形バネ定数 ( $2.882 \times 10^{10} \text{ N/m}$ )

V : クレーンの巻下げ速度 (0.025m/s)

m : 破損燃料用輸送容器（2体）の質量 ( $4.43 \times 10^4 \text{ kg}$ )

g : 重力加速度 (9.8m/s<sup>2</sup>)

発生する衝撃加速度は 3.29G となり，余裕をみて 4.0G を評価加速度とする。

##### ②破損燃料用輸送容器（2体）の搬送台車上の搬送架台への衝突（取扱いモード No. 7）

横姿勢で破損燃料用輸送容器（2体）を搬送台車上の搬送架台に積載する際に，破損燃料用輸送容器（2体）が搬送台車上の搬送架台に共用プールの天井クレーンの巻下げ速度（0.025m/s）で衝突する場合について評価する。

破損燃料用輸送容器（2体）を剛体として，破損燃料用輸送容器（2体）の有する運動エネルギーを搬送架台支持脚のひずみエネルギーで吸収するとして，(1)式で破損燃料用輸送容器（2体）に生じる衝撃加速度を求める。

ただし，K : 搬送架台前後部支持脚の圧縮変形バネ定数 ( $5.738 \times 10^{10} \text{ N/m}$ )

V : 共用プールの天井クレーンの巻下げ速度 (0.025m/s)

発生する衝撃加速度は 4.07G となり，余裕をみて 5.0G を評価加速度とする。

### ③転倒防止台座への衝突及びキャスクピット床面への衝突（取扱いモード No. 9, 10）

縦姿勢で破損燃料用輸送容器（2体）が転倒防止台座に共用プールの天井クレーンの巻下げ速度（0.025m/s）で衝突する場合及び、転倒防止台座を取り付けた破損燃料用輸送容器（2体）がキャスクピット床面に共用プールの天井クレーンの巻下げ速度（0.025m/s）で衝突する場合について評価する。

床面を剛体として、容器の有する運動エネルギーを転倒防止台座のひずみエネルギーで吸収するとして、(1)式で破損燃料用輸送容器（2体）に生じる衝撃加速度を求める。

ただし、K：転倒防止台座の圧縮変形バネ定数（ $4.407 \times 10^{11} \text{N/m}$ ）

V：共用プールの天井クレーンの巻下げ速度（0.025m/s）

発生する衝撃加速度は 9.10G となり、余裕をみて 10G を評価加速度とする。

### 5) 各設計事象における荷重条件

破損燃料用輸送容器（2体）の各設計事象における荷重条件を表 1-3-3、表 1-3-4 に示す。なお、破損燃料用輸送容器（2体）の設計事象及び荷重条件については、抽出された事象のうち最大の荷重が作用する場合について示す。

表 1-3-3 荷重条件（容器本体及び蓋）(1/2)

設計事象	代表事象	包絡される事象	荷重条件
設計条件	設計時	—	最高使用圧力 : 2.0MPa (二次蓋は 1.4MPa) ボルト初期締付け力 以下の荷重のうち最大となるもの ・構内輸送時荷重 ・吊上げ時荷重 ・搬送架台への衝突時荷重 ・転倒防止台座への衝突時荷重
I	構内輸送時	—	内圧 : 0.6MPa (二次蓋は 0.45MPa) ボルト初期締付け力 構内輸送時荷重 上方向 : 2.0G 下方向 : 3.0G (自重を考慮) 前後方向 : 2.0G 左右方向 : 1.0G 熱荷重
	吊上げ時	—	内圧 : 0.6MPa (二次蓋は 0.45MPa) ボルト初期締付け力 吊上げ荷重 下方向 : 1.32G (自重を考慮) 熱荷重

表 1-3-3 荷重条件（容器本体及び蓋）(2/2)

設計事象	代表事象	包絡される事象	荷重条件
II	搬送架台への衝突 (取扱いモード No. 7)	—	内圧 : 0.6MPa (二次蓋は 0.45MPa) ボルト初期締付け力 搬送架台への衝突時荷重 下方向 : 5.0G (自重を考慮) 熱荷重
	転倒防止台座への衝突 (取扱いモード No. 9) キャスクピットへの衝突 (取扱いモード No. 10)	輸送架台への衝突 (取扱いモード No. 3)	内圧 : 0.6MPa (二次蓋は 0.45MPa) ボルト初期締付け力 転倒防止台座への衝突時荷重 下方向 : 10G (自重を考慮) 熱荷重
試験状態	試験時	—	試験時圧力 : 3.0MPa (二次蓋は 2.1MPa) ボルト初期締付け力

表 1-3-4 荷重条件（バスケット）

設計事象	代表事象	包絡される事象	荷重条件
設計条件	設計時	—	転倒防止台座への衝突時荷重 <sup>*1</sup> 下方向：10G (自重を考慮)
I	構内輸送時	吊上げ時	構内輸送時荷重 上方向：2.0G 下方向：3.0G (自重を考慮) 前後方向：2.0G 左右方向：1.0G
II	搬送架台への衝突 (取扱いモード No. 7)	—	搬送架台への衝突時荷重 下方向：5.0G (自重を考慮)
	転倒防止台座への衝突 (取扱いモード No. 9) キャスクピットへの衝突 (取扱いモード No. 10)	輸送架台への衝突 (取扱いモード No. 3)	転倒防止台座への衝突時荷重 下方向：10G (自重を考慮)

\*1 設計時のうち荷重条件が最も厳しいのは転倒防止台座への衝突荷重である

#### 1.3.4. 設計基準

##### 1) 容器本体及び蓋

容器本体及び蓋は設計・建設規格 クラス 1 容器に関する規定 PVB-3000 に準じて評価を実施する。容器本体及び蓋の許容応力を表 1-3-5～表 1-3-10 に示す。

###### ① 設計条件における許容応力

設計条件における一次応力は以下の許容応力を上回らないことを確認する。

###### (a) 一次一般膜応力 ( $P_m$ )

$$P_m \leq S_m$$

###### (b) 一次局部膜応力 ( $P_L$ )

$$P_L \leq 1.5S_m$$

###### (c) 一次膜+一次曲げ応力 ( $P_L + P_b$ )

$$P_L + P_b \leq 1.5S_m$$

###### (d) ボルトの平均引張応力 ( $\sigma_m$ )

$$\sigma_m \leq S_m$$

###### ② 設計事象 I, II における許容応力

設計事象 I, II における応力は以下の許容応力を上回らないことを確認する。

###### (a) 一次+二次応力 ( $P_L + P_b + Q$ )

$$P_L + P_b + Q \leq 3S_m$$

###### (b) 平均せん断応力 ( $\tau$ )

$$\tau \leq 0.6S_m$$

###### (c) 平均支圧応力 ( $\sigma_b$ )

$$\sigma_b \leq S_y$$

###### (d) 圧縮応力 ( $\sigma_c$ )

$$\sigma_c \leq B$$

###### (e) ボルトの平均引張応力 ( $\sigma_m$ )

$$\sigma_m \leq 2S_m$$

###### (f) ボルトの平均引張応力+曲げ応力 ( $\sigma_m + \sigma_b$ )

$$\sigma_m + \sigma_b \leq 3S_m$$

###### ③ 試験状態における許容応力

試験状態における一次応力は以下の許容応力を上回らないことを確認する。

###### (a) 一次一般膜応力 ( $P_m$ )

$$P_m \leq 0.9S_y$$

###### (b) 一次局部膜応力 ( $P_L$ )

$$P_L \leq 1.5(0.9S_y)$$

(c) 一次一般膜+一次曲げ応力 ( $P_m + P_b$ )

$$P_m + P_b \leq 1.5 (0.9S_y)$$

## 2) バスケット

バスケットは設計・建設規格 炉心支持構造物に関する規定 CSS-3000 に準じて評価を実施する。バスケットの許容応力を表 1-3-11 に示す。

### ① 設計条件における許容応力

設計条件における一次応力は以下の許容応力を上回らないことを確認する。

(a) 一次一般膜応力 ( $P_m$ )

$$P_m \leq S_m$$

(b) 一次一般膜+一次曲げ応力 ( $P_m + P_b$ )

$$P_m + P_b \leq 1.5S_m$$

### ② 設計事象 I , II における許容応力

設計事象 I , II における応力は以下の許容応力を上回らないことを確認する。

(a) 一次+二次応力 ( $P_m + P_b + Q$ )

$$P_m + P_b + Q \leq 3S_m$$

(b) 平均せん断応力 ( $\tau$ )

$$\tau \leq 0.6S_m$$

(c) 平均支圧応力 ( $\sigma_b$ )

$$\sigma_b \leq S_y$$

(d) 軸圧縮応力 ( $\sigma_c$ )

$$\sigma_c \leq f_c$$

表 1-3-5 脇及び底板の許容応力

設計事象	応力分類	記号	許容値 [MPa]	備考
設計条件	一次一般膜応力	$P_m$	123	
	一次局部膜応力	$P_L$	184	
	一次膜+曲げ応力	$P_L + P_b$	184	
設計事象 I , II	一次+二次応力	$P_L + P_b + Q$	369	
	平均せん断応力	$\tau$	73	
	平均支圧応力	$\sigma_b$	184	
	圧縮応力	$\sigma_c$	95	
試験状態	一次一般膜応力	$P_m$	165	
	一次局部膜応力	$P_L$	247	
	一次一般膜+曲げ応力	$P_m + P_b$	247	

材質： GLF1 相当材 (ASTM A350M Gr. LF5 Cl. 1)

設計温度： 135 (°C)

表 1-3-6 一次蓋の許容応力

設計事象	応力分類	記号	許容値 [MPa]	備考
設計条件	一次一般膜応力	$P_m$	137	
	一次局部膜応力	$P_L$	205	
	一次膜+曲げ応力	$P_L + P_b$	205	
設計事象 I , II	一次+二次応力	$P_L + P_b + Q$	411	
試験状態	一次一般膜応力	$P_m$	153	
	一次局部膜応力	$P_L$	229	
	一次一般膜+曲げ応力	$P_m + P_b$	229	

材質： SUSF304

設計温度： 100 (°C)

表 1-3-7 ポートカバーの許容応力

設計事象	応力分類	記号	許容値 [MPa]	備考
設計条件	一次一般膜応力	$P_m$	137	
	一次局部膜応力	$P_L$	205	
	一次膜+曲げ応力	$P_L + P_b$	205	
設計事象 I, II	一次+二次応力	$P_L + P_b + Q$	411	
試験状態	一次一般膜応力	$P_m$	143	
	一次局部膜応力	$P_L$	214	
	一次一般膜+曲げ応力	$P_m + P_b$	214	

材質： SUS304

設計温度： 135 (°C)

表 1-3-8 二次蓋，二次蓋ポートカバーの許容応力

設計事象	応力分類	記号	許容値 [MPa]	備考
設計条件	一次一般膜応力	$P_m$	137	
	一次局部膜応力	$P_L$	205	
	一次膜+曲げ応力	$P_L + P_b$	205	
設計事象 I, II	一次+二次応力	$P_L + P_b + Q$	411	
試験状態	一次一般膜応力	$P_m$	155	
	一次局部膜応力	$P_L$	232	
	一次一般膜+曲げ応力	$P_m + P_b$	232	

材質： SUSF304

設計温度： 95 (°C)

表 1-3-9 一次蓋ボルト，二次蓋ボルト，ポートカバーボルトの許容応力

設計事象	応力分類	記号	許容値 [MPa]	備考
設計条件	平均引張応力	$\sigma_m$	216	
設計事象 I, II	平均引張応力	$\sigma_m$	432	
	平均引張応力+曲げ応力	$\sigma_m + \sigma_b$	648	

材質： SUS630 H1150

設計温度： 135 (°C)

表 1-3-10 二次蓋ポートカバーボルトの許容応力

設計事象	応力分類	記号	許容値 [MPa]	備考
設計条件	平均引張応力	$\sigma_m$	223	
設計事象 I, II	平均引張応力	$\sigma_m$	446	
	平均引張応力+曲げ応力	$\sigma_m + \sigma_b$	669	

材質： SUS630 H1150

設計温度： 95 (°C)

表 1-3-11 バスケットの許容応力

設計事象	応力分類	記号	許容値 [MPa]	備考
設計条件	一次一般膜応力	$P_m$	133	
	一次一般膜+曲げ応力	$P_m + P_b$	199	
設計事象 I, II	一次+二次応力	$P_m + P_b + Q$	399	
	平均せん断応力	$\tau$	79	
	平均支圧応力	$\sigma_b$	150	
	軸圧縮 応力	柱板 長手方向	96	
		柱板 長手方向以外	88	
		格子支持板外周部 $0^\circ - 180^\circ$ 方向	56	
		格子支持板外周部 $90^\circ - 270^\circ$ 方向	129	
		スペーサ	129	

材質： SUS304

設計温度： 170 (°C)

### 1.3.5. 評価方法及び評価モデル

#### 1.3.5.1. 容器本体及び蓋

容器本体及び蓋の主な構造部材の応力評価箇所を図 1-3-2, 図 1-3-3 に示す。荷重条件は表 1-3-3 に示したとおりである。

##### 1) 設計条件

###### ① 脇, 底板, 一次蓋, 二次蓋

###### (a) 最高使用圧力, ボルト初期締付け力, 機械的荷重による応力

容器の実形状をモデル化し構造解析コード ABAQUS を用いて応力評価を行う。

###### ② ポートカバー, 二次蓋ポートカバー

###### (a) 最高使用圧力による応力

最高使用圧力により発生する一次一般膜応力( $P_m$ )及び, 一次膜+曲げ応力( $P_L + P_b$ )は(2)式で計算する。なお, 一次局部膜応力( $P_l$ )は発生しない。

$$\left. \begin{aligned} \sigma_x &= \frac{1.24 \cdot P \cdot r^2}{t^2} \\ \sigma_y &= \sigma_x \\ \sigma_z &= -P \end{aligned} \right\} \dots \dots \dots \dots \dots \quad (2)$$

ここで,

$P$  : 最高使用圧力

$r$  : ポートカバーOリング平均半径

二次蓋ポートカバーは締付けボルトピッチ円半径

$t$  : ポートカバー最小板厚

###### ③ 一次蓋ボルト, 二次蓋ボルト, ポートカバーボルト, 二次蓋ポートカバーボルト

###### (a) 最高使用圧力及びガスケット締付による平均引張応力

最高使用圧力におけるボルト荷重及びガスケット(Oリング)締付時のボルト荷重により発生する平均引張応力( $\sigma_{m1}$ )は(3)式で計算する。

$$\left. \begin{aligned} \sigma_{m1} &= \frac{W_{m1}}{A} \\ W_{m1} &= H + H_p \end{aligned} \right\} \dots \dots \dots \dots \dots \quad (3)$$

ここで,

$W_{m1}$  : 必要な最小ボルト荷重

$A$  : 全数のボルト最小断面積

$H$  : フランジに加わる最高使用圧力による全荷重

$H_p$  : 気密を十分保つために, Oリング又は継手接触面にかける圧縮

力 (ゴム製Oリングのため  $H_p=0N$ )

また、ガスケット (Oリング) 締付け時の平均引張応力 ( $\sigma_{m2}$ ) は(4)式で計算する。

$$\sigma_{m2} = \frac{W_{m2}}{A} \quad \dots \dots \dots \dots \dots \dots \quad (4)$$

ここで、

$W_{m2}$  : ガスケット締付時に必要な最小ボルト荷重 (ゴム製Oリングのため  $W_{m2}=0N$ )

## 2) 設計事象 I 構内輸送時

### ① 脇、底板、一次蓋、二次蓋

(a) 内圧、ボルト初期締付け力、構内輸送時の機械的荷重、熱荷重による応力  
容器の実形状をモデル化し構造解析コード ABAQUS を用いて応力評価を行う。

### (b) 平均せん断応力

平均せん断応力 ( $\tau$ ) が発生する箇所はない。

### (c) 平均支圧応力

底板とバスケット底面との接触部に発生する平均支圧応力 ( $\sigma_b$ ) は(5)式で計算する。

$$\sigma_b = \frac{m_b \cdot G_z}{A_b} \quad \dots \dots \dots \dots \dots \dots \quad (5)$$

ここで、

$m_b$  : バスケットの質量

$G_z$  : 後方向加速度

$A_b$  : 接触面積

### (d) 圧縮応力

脇に生じる圧縮応力 ( $\sigma_c$ ) は(6)式で計算する。

$$\sigma_c = \frac{m_c \cdot G_z}{A_c} \quad \dots \dots \dots \dots \dots \dots \quad (6)$$

ここで、

$m_c$  : 容器の質量

$G_z$  : 後方向加速度

$A_c$  : 脇の断面積

## ② ポートカバー, 二次蓋ポートカバー

最高使用圧力による応力を除き、構内輸送時の機械的荷重及び熱荷重による応力は無視できる。

一次+二次応力 ( $P_L + P_b + Q$ ) は、(2)式で計算する最高使用圧力により発生する一次膜+曲げ応力 ( $P_L + P_b$ ) となる。

## ③ 一次蓋ボルト, 二次蓋ボルト, ポートカバーボルト, 二次蓋ポートカバーボルト

### (a) 最高使用圧力による平均引張応力

最高使用圧力により発生する平均引張応力 ( $\sigma_{m1}$ ) は(3)式で計算する。

### (b) ボルト初期締付け力による平均引張応力

ボルト初期締付け力により発生する平均引張応力 ( $\sigma_{m3}$ ) は(7)式で計算する。

$$\sigma_{m3} = \frac{F_s}{A_s} \dots \dots \dots \dots \dots \dots \dots \dots \quad (7)$$

ここで,

$F_s$  : ボルト初期締付け力

$A_s$  : ボルト最小断面積

### (c) 構内輸送時に作用する加速度による平均引張応力

構内輸送時に作用する加速度により発生する平均引張応力 ( $\sigma_{m4}$ ) は(8)式で計算する。

$$\sigma_{m4} = \frac{mG}{A} \dots \dots \dots \dots \dots \dots \dots \dots \quad (8)$$

ここで,

$m$  : 作用する質量

$G$  : 加速度

$A$  : 全数のボルト最小断面積

### (d) 構内輸送時に作用する加速度による曲げ応力

構内輸送時に作用する加速度によって発生する曲げ応力 ( $\sigma_b$ ) は(9)式で計算する。

$$\sigma_b = \frac{1}{n} \cdot \frac{mG\ell_b}{8Z} \dots \dots \dots \dots \dots \dots \dots \dots \quad (9)$$

ここで,

$n$  : ボルト本数

$m$  : 作用する質量

$G$  : 加速度

$\ell_b$  : ボルト長さ

$Z$  : ボルトの断面係数

なお、二次蓋ポートカバー bolt には取付け構造上、曲げ応力は発生しない。

### 3) 設計事象 I 吊上げ時

#### ① 脇、底板、一次蓋、二次蓋

##### (a) 内圧、ボルト初期締付け力、吊上げ時の機械的荷重、熱荷重による応力

容器の実形状をモデル化し構造解析コード ABAQUS を用いて応力評価を行う。

##### (b) 平均せん断応力

平均せん断応力 ( $\tau$ ) が発生する箇所はない。

##### (c) 平均支圧応力

底板とバスケット底面との接触部に発生する平均支圧応力 ( $\sigma_b$ ) は(5)式で計算する。

##### (d) 圧縮応力

脇に生じる圧縮応力 ( $\sigma_c$ ) は(6)式で計算する。

#### ② ポートカバー、二次蓋ポートカバー

最高使用圧力による応力を除き、吊上げ時の機械的荷重及び熱荷重による応力は無視できる。

一次+二次応力 ( $P_L + P_b + Q$ ) は、(2)式で計算する最高使用圧力により発生する一次膜+曲げ応力 ( $P_L + P_b$ ) となる。

#### ③ 一次蓋ボルト、二次蓋ボルト、ポートカバーボルト、二次蓋ポートカバーボルト

##### (a) 最高使用圧力による平均引張応力

最高使用圧力により発生する平均引張応力 ( $\sigma_{m1}$ ) は(3)式で計算する。

##### (b) ボルト初期締付け力による平均引張応力

ボルト初期締付け力により発生する平均引張応力 ( $\sigma_{m3}$ ) は(7)式で計算する。

##### (c) 吊上げ時に作用する加速度による平均引張応力

吊上げ時に作用する加速度による平均引張応力 ( $\sigma_{m4}$ ) は発生しない。

##### (d) 吊上げ時に作用する加速度による曲げ応力

吊上げ時に作用する加速度による曲げ応力 ( $\sigma_b$ ) は発生しない。

#### 4) 設計事象Ⅱ 搬送架台への衝突（横姿勢）

##### ① 脳, 底板, 一次蓋, 二次蓋

(a) 内圧, ボルト初期締付け力, 搬送架台への衝突による機械的荷重, 熱荷重による応力

容器の実形状をモデル化し構造解析コード ABAQUS を用いて応力評価を行う。

##### (b) 平均せん断応力

平均せん断応力( $\tau$ )が発生する箇所はない。

##### (c) 平均支圧応力

底板とバスケット底面との接触部に発生する平均支圧応力( $\sigma_b$ )は(5)式で計算する。

##### (d) 圧縮応力

脳に生じる圧縮応力( $\sigma_c$ )は(6)式で計算する。

##### ② ポートカバー, 二次蓋ポートカバー

最高使用圧力による応力を除き, 搬送架台への衝突による機械的荷重及び熱荷重による応力は無視できる。

一次+二次応力( $P_L+P_b+Q$ )は, (2)式で計算する最高使用圧力により発生する一次膜+曲げ応力( $P_L+P_b$ )となる。

##### ③ 一次蓋ボルト, 二次蓋ボルト, ポートカバーボルト, 二次蓋ポートカバーボルト

###### (a) 最高使用圧力による平均引張応力

最高使用圧力により発生する平均引張応力( $\sigma_{m1}$ )は(3)式で計算する。

###### (b) ボルト初期締付け力による平均引張応力

ボルト初期締付け力により発生する平均引張応力( $\sigma_{m3}$ )は(7)式で計算する。

###### (c) 搬送架台への衝突時に作用する加速度による平均引張応力

搬送架台への衝突時に作用する加速度により発生する平均引張応力( $\sigma_{m4}$ )は(8)式で計算する。

なお, 一次蓋ボルト, 二次蓋ボルト, ポートカバーボルトには, 搬送架台への衝突時に作用する加速度による平均引張応力( $\sigma_{m4}$ )は発生しない。

###### (d) 搬送架台への衝突時に作用する加速度による曲げ応力

搬送架台への衝突時に作用する加速度により発生する曲げ応力( $\sigma_b$ )は(9)式で計算する。

なお、二次蓋ポートカバーボルトには、搬送架台への衝突時に作用する加速度により曲げ応力 ( $\sigma_b$ ) は発生しない。

## 5) 設計事象II 転倒防止台座への衝突（縦姿勢）

### ① 脇、底板、一次蓋、二次蓋

(a) 内圧、ボルト初期締付け力、転倒防止台座への衝突による機械的荷重、熱荷重による応力

容器の実形状をモデル化し構造解析コード ABAQUS を用いて応力評価を行う。

### (b) 平均せん断応力

平均せん断応力 ( $\tau$ ) が発生する箇所はない。

### (c) 平均支圧応力

底板とバスケット底面との接触部に発生する平均支圧応力 ( $\sigma_b$ ) は(5)式で計算する。

### (d) 圧縮応力

脇に生じる圧縮応力 ( $\sigma_c$ ) は(6)式で計算する。

### ② ポートカバー、二次蓋ポートカバー

最高使用圧力による応力を除き、転倒防止台座への衝突による機械的荷重及び熱荷重による応力は無視できる。

一次+二次応力 ( $P_L + P_b + Q$ ) は、(2)式で計算する最高使用圧力により発生する一次膜+曲げ応力 ( $P_L + P_b$ ) となる。

### ③ 一次蓋ボルト、二次蓋ボルト、ポートカバーボルト、二次蓋ポートカバーボルト

#### (a) 最高使用圧力による平均引張応力

最高使用圧力により発生する平均引張応力 ( $\sigma_{m1}$ ) は(3)式で計算する。

#### (b) ボルト初期締付け力による平均引張応力

ボルト初期締付け力により発生する平均引張応力 ( $\sigma_{m3}$ ) は(7)式で計算する。

#### (c) 転倒防止台座への衝突時に作用する加速度による平均引張応力

転倒防止台座への衝突時に作用する加速度による平均引張応力 ( $\sigma_{m4}$ ) は発生しない。

#### (d) 転倒防止台座への衝突時に作用する加速度による曲げ応力

転倒防止台座への衝突時に作用する加速度による曲げ応力 ( $\sigma_b$ ) は発生しない。

## 6 ) 試験状態

- ① 脇, 底板, 一次蓋, 二次蓋
  - (a) 試験時圧力, ボルト初期締付け力による応力  
容器の実形状をモデル化し構造解析コード ABAQUS を用いて応力評価を行う。
  
- ② ポートカバー, 二次蓋ポートカバー
  - (a) 試験時の圧力による応力  
試験時圧力により発生する一次一般膜応力( $P_m$ )及び, 一次一般膜+曲げ応力( $P_m + P_b$ )は(2)式で計算する。なお, 一次局部膜応力( $P_L$ )は発生しない。

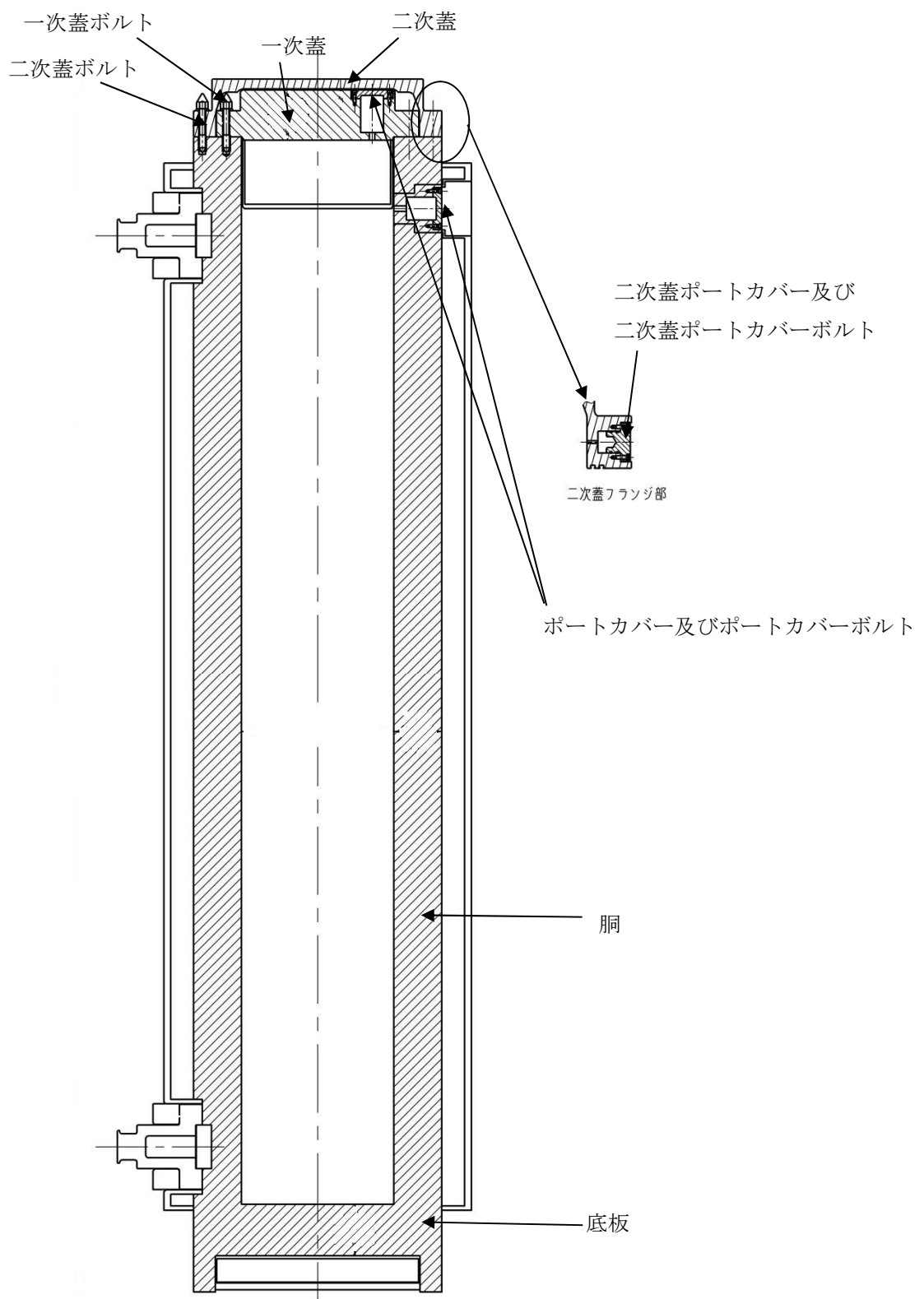


図1-3-2 容器本体及び蓋の応力評価箇所

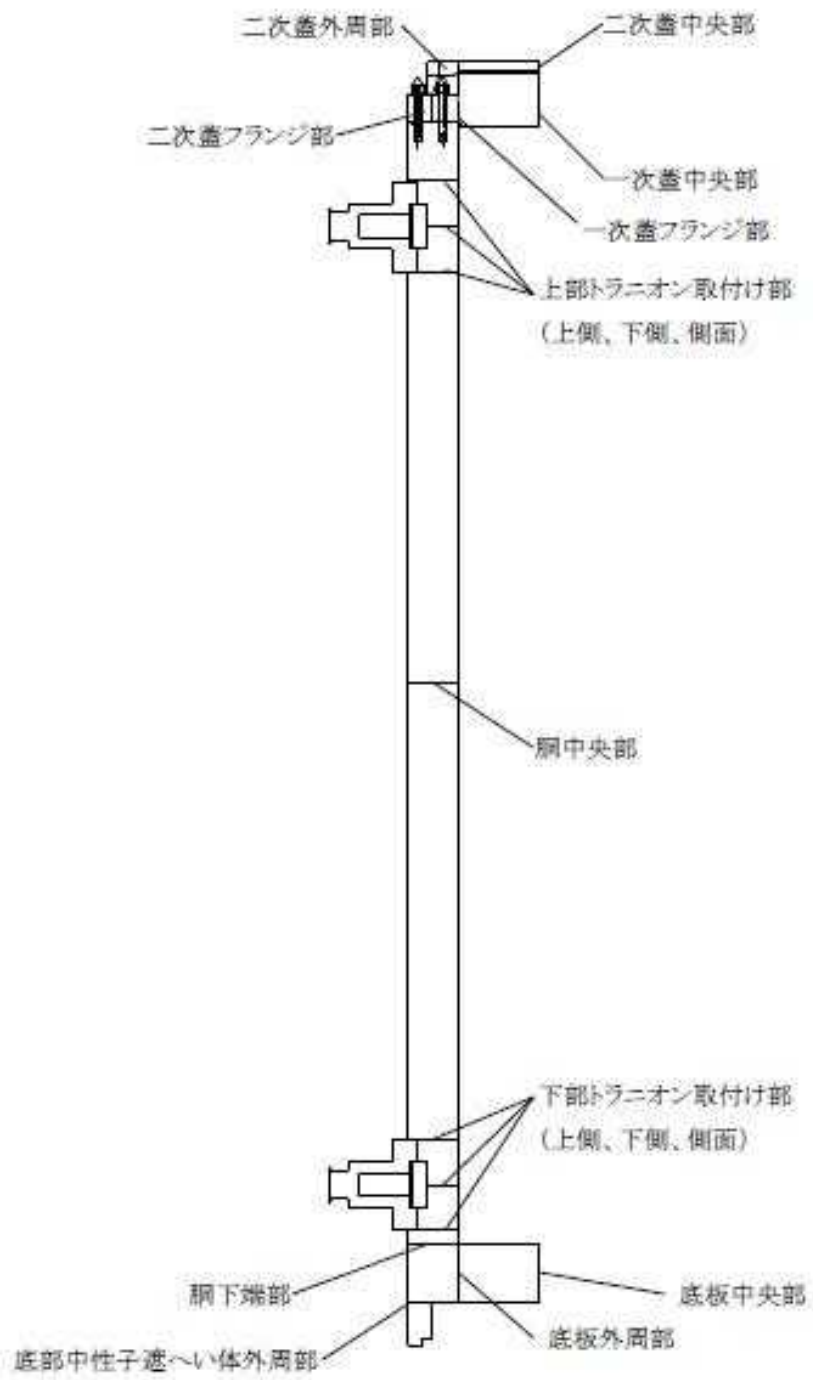


図1-3-3 容器本体及び蓋の応力評価箇所（胴、底板、蓋の詳細）



$$\left. \begin{aligned} P_m &= \frac{m_{1,7}G_Z}{A_{1,7}} \\ P_b &= \frac{1}{n_{span}} \cdot \frac{m_1 G_X l_{pitch}}{12Z_1} \end{aligned} \right\} \dots \dots \dots \quad (12)$$

ここで、

- $m_{1,7}$  : 評価点①及び⑦に作用する総質量
- $m_1$  : 評価点①に作用する質量
- $A_{1,7}$  : 評価点①及び⑦の総断面積
- $G_X, G_Z$  : 加速度
- $Z_1$  : 評価点①における枠板の断面係数
- $n_{span}$  : 格子支持板によって支持されるスパンの数
- $l_{pitch}$  : 枠板の支持ピッチ

## ② 平均せん断応力

最大応力が発生する箇所は、図 1-3-4 の評価点④である。

左右方向加速度により発生する平均せん断応力( $\tau$ )は、(13)式で計算する。

$$\tau = \frac{m_4 G_Y}{A_4} \dots \dots \dots \quad (13)$$

ここで、

- $m_4$  : 評価点④に作用する質量
- $A_4$  : 評価点④の断面積
- $G_Y$  : 加速度

## ③ 平均支圧応力

最大応力が発生する箇所は図 1-3-4 の評価点①、③及び⑦である。平均支圧応力( $\sigma_b$ )は(10)式で計算する。

## ④ 軸圧縮応力

最大応力が発生する箇所は図 1-3-4 の評価点①及び⑦である。軸圧縮応力( $\sigma_c$ )は(10)式で計算する。

### 3) 設計事象II 搬送架台への衝突（横姿勢）

#### ① 一次+二次応力

最大応力が発生する箇所は、図1-3-4の評価点①である。

熱荷重は発生しないため、一次+二次応力( $P_m + P_b + Q$ )は、(14)式で計算する一次一般膜+一次曲げ応力( $P_m + P_b$ )である。

$$\left. \begin{aligned} P_m &= \frac{m_1 G_X}{A_1}, \quad \frac{m_{1,7} G_Z}{A_{1,7}} \\ P_b &= \frac{1}{n_{span}} \cdot \frac{m_1 G_X l_{pitch}}{12 Z_1} \end{aligned} \right\} \dots \dots \dots \quad (14)$$

ここで、

- $m_{1,7}$  : 評価点①及び⑦に作用する総質量
- $m_1$  : 評価点①に作用する質量
- $A_{1,7}$  : 評価点①及び⑦の総断面積
- $A_1$  : 評価点①の断面積
- $G_X, G_Z$  : 加速度
- $Z_1$  : 評価点①における枠板の断面係数
- $n_{span}$  : 格子支持板によって支持されるスパンの数
- $l_{pitch}$  : 枠板の支持ピッチ

#### ② 平均せん断応力

最大応力が発生する箇所は、図1-3-4の評価点⑦である。

前後方向加速度により発生する平均せん断応力( $\tau$ )は、(15)式で計算する。

$$\tau = \frac{m_7 G_X}{A_7} \dots \dots \dots \quad (15)$$

ここで、

- $m_7$  : 評価点⑦に作用する質量
- $A_7$  : 評価点⑦の断面積
- $G_X$  : 加速度

#### ③ 平均支圧応力

最大応力が発生する箇所は図1-3-4の評価点①及び④である。平均支圧応力( $\sigma_b$ )は(16)式で計算する。

$$\sigma_b = \frac{m_1 G_X}{A_1} \dots \dots \dots \dots \quad (16)$$

ここで、

$m_1$  : 評価点①に作用する質量

$A_1$  : 評価点①の断面積

$G_X$  : 加速度

#### ④ 軸圧縮応力

最大応力が発生する箇所は図 1-3-4 の評価点①である。軸圧縮応力( $\sigma_c$ )は(10)式で計算する。

### 4) 設計事象Ⅱ 転倒防止台座への衝突（縦姿勢）

#### ① 一次+二次応力

最大応力が発生する箇所は、図 1-3-4 の評価点④である。

熱荷重は発生しないため、転倒防止台座への衝突に発生する一次+二次応力( $P_m + P_b + Q$ )は(11)式で計算する。

#### ② 平均せん断応力

平均せん断応力( $\tau$ )は発生しない。

#### ③ 平均支圧応力

最大応力が発生する箇所は図 1-3-4 の評価点①, ③及び⑦である。平均支圧応力( $\sigma_b$ )は(10)式で計算する。

#### ④ 軸圧縮応力

最大応力が発生する箇所は図 1-3-4 の評価点①及び⑦である。軸圧縮応力( $\sigma_c$ )は(10)式で計算する。

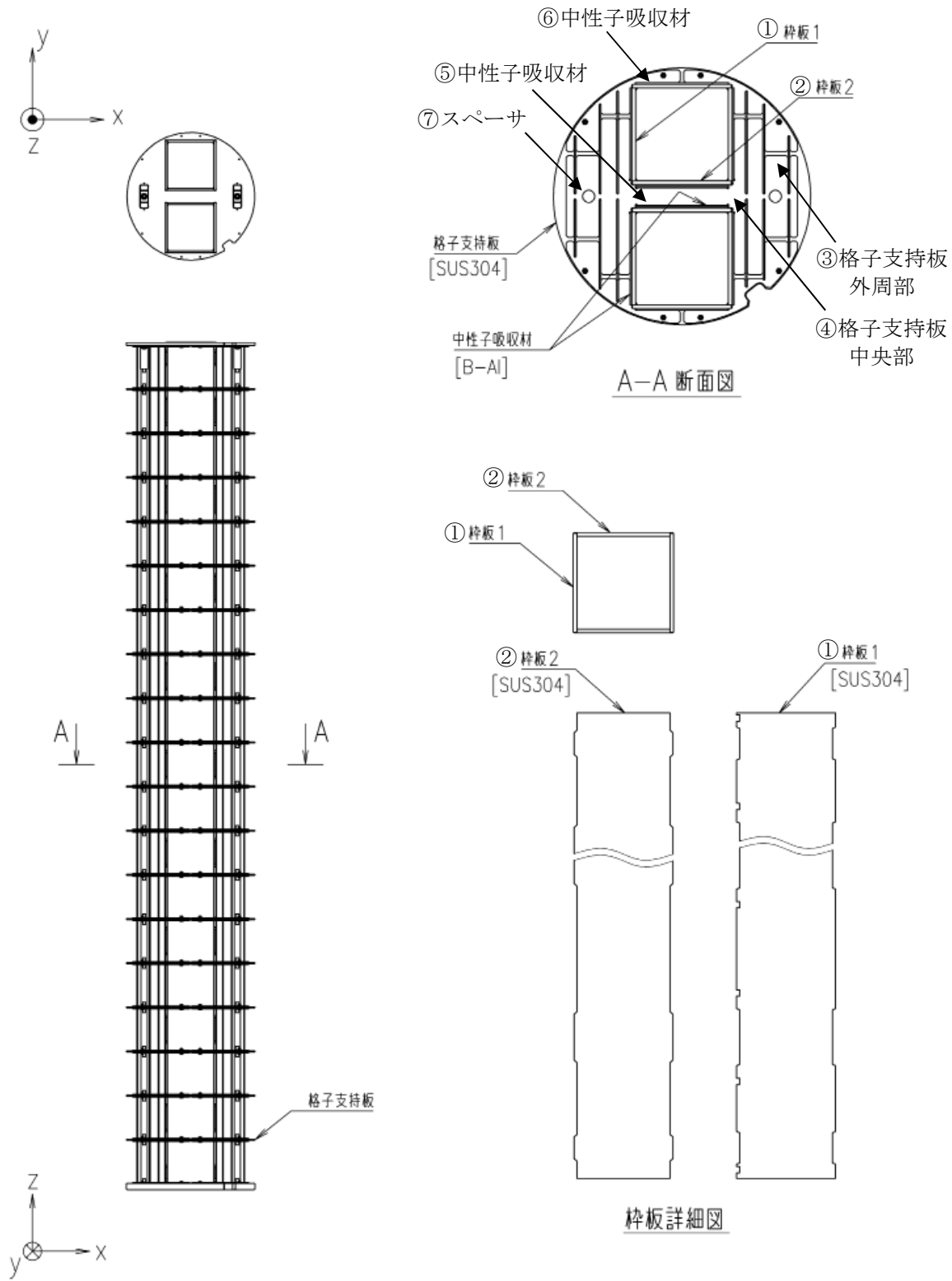


図1-3-4 バスケットの応力評価箇所

#### 1.3.6. 評価結果

評価結果を表1-3-12～表1-3-16に示す。いずれも、許容応力に対して十分に余裕がある。このため、破損燃料内用輸送容器（2体）の構造健全性は維持される。

表 1-3-12 容器本体及び蓋の評価結果（胴，底板，蓋） 1/2

(単位：MPa)

部位	材料	設計事象	一次一般膜応力( $P_m$ )		一次局部膜応力( $P_L$ )		一次膜+曲げ応力( $P_L+P_b$ )		一次一般膜+曲げ応力( $P_m+P_b$ )		一次+二次応力( $P_L+P_b+Q$ )		
			計算値	許容応力	計算値	許容応力	計算値	許容応力	計算値	許容応力	計算値	許容応力	
胴中央部	ASTM A350M Gr. LF5 C1.1	設計条件	8	123	—	—	9	184	—	—	—	—	
		I, II	—	—	—	—	—	—	—	9	369		
		試験状態	7	165	—	—	—	—	9	247	—	—	
底板中央部		設計条件	5	123	—	—	9	184	—	—	—	—	
		I, II	—	—	—	—	—	—	—	21	369		
		試験状態	3	165	—	—	—	—	6	247	—	—	
底板外周部		設計条件	—	—	5	184	10	184	—	—	—	—	
		I, II	—	—	—	—	—	—	—	10	369		
		試験状態	—	—	3	247	—	—	6	247	—	—	
胴下端部		設計条件	—	—	12	184	22	184	—	—	—	—	
		I, II	—	—	—	—	—	—	—	16	369		
		試験状態	—	—	5	247	—	—	10	247	—	—	
底部中性子遮 へい体外周部		設計条件	—	—	10	184	13	184	—	—	—	—	
		I, II	—	—	—	—	—	—	—	25	369		
		試験状態	—	—	6	247	—	—	10	247	—	—	
上部トラニオ ン取付け部		設計条件	—	—	11	184	22	184	—	—	—	—	
		I, II	—	—	—	—	—	—	—	20	369		
		試験状態	—	—	7	247	—	—	10	247	—	—	

表 1-3-12 容器本体及び蓋の評価結果（胴、底板、蓋） 2/2

(単位：MPa)

部位	材料	設計事象	一次一般膜応力 ( $P_m$ )		一次局部膜応力 ( $P_L$ )		一次膜+曲げ応力 ( $P_L + P_b$ )		一次一般膜+曲げ応力 ( $P_m + P_b$ )		一次+二次応力 ( $P_L + P_b + Q$ )		
			計算値	許容応力	計算値	許容応力	計算値	許容応力	計算値	許容応力	計算値	許容応力	
下部トラニオ ン取付け部	ASTM A350M Gr. LF5 Cl. 1	設計条件	—	—	18	184	31	184	—	—	—	—	
		I, II	—	—	—	—	—	—	—	—	30	369	
		試験状態	—	—	7	247	—	—	9	247	—	—	
一次蓋 中央部	SUSF304	設計条件	3	137	—	—	8	205	—	—	—	—	
		I, II	—	—	—	—	—	—	—	—	4	411	
		試験状態	3	153	—	—	—	—	10	229	—	—	
一次蓋 フランジ部		設計条件	—	—	7	205	8	205	—	—	—	—	
		I, II	—	—	—	—	—	—	—	—	7	411	
		試験状態	—	—	8	229	—	—	8	229	—	—	
二次蓋 中央部		設計条件	61	137	—	—	102	205	—	—	—	—	
		I, II	—	—	—	—	—	—	—	—	34	411	
		試験状態	92	155	—	—	—	—	154	232	—	—	
二次蓋 外周部		設計条件	—	—	36	205	64	205	—	—	—	—	
		I, II	—	—	—	—	—	—	—	—	25	411	
		試験状態	—	—	46	232	—	—	95	232	—	—	
二次蓋フラン ジ部		設計条件	—	—	9	205	18	205	—	—	—	—	
		I, II	—	—	—	—	—	—	—	—	9	411	
		試験状態	—	—	13	232	—	—	27	232	—	—	

表 1-3-13 容器本体及び蓋の評価結果（ポートカバー）

(単位 : MPa)

部位	材質	設計事象	一次一般膜応力 ( $P_m$ )		一次膜+曲げ応力 ( $P_L + P_b$ )		一次一般膜+曲げ応力 ( $P_m + P_b$ )		一次+二次応力 ( $P_L + P_b + Q$ )	
			計算値	許容値	計算値	許容値	計算値	許容値	計算値	許容値
ポートカバー	SUS304	設計条件	2	137	17	205	—	—	—	—
		I , II	—	—	—	—	—	—	17	411
		試験状態	3	143	—	—	26	214	—	—
二次蓋 ポートカバー	SUSF304	設計条件	2	137	7	205	—	—	—	—
		I , II	—	—	—	—	—	—	7	411
		試験状態	3	155	—	—	11	232	—	—

表 1-3-14 容器本体及び蓋の評価結果（ボルト）

(単位 : MPa)

部位	材料	設計事象	平均引張応力( $\sigma_m$ )		平均引張応力+曲げ応力 ( $\sigma_m + \sigma_b$ )	
			計算値	許容応力	計算値	許容応力
一次蓋 ボルト	SUS630 H1150	設計条件	101	216	—	—
二次蓋 ボルト		I, II	316	432	346	648
ポートカバー ボルト		設計条件	125	216	—	—
ポートカバー ボルト		I, II	325	432	343	648
二次蓋ポート カバーボルト		設計条件	39	216	—	—
二次蓋ポート カバーボルト		I, II	227	432	229	648
		設計条件	21	223	—	—
		I, II	216	446	216	669

表 1-3-15 容器本体及び蓋の評価結果（平均支圧応力及び圧縮応力）

(単位 : MPa)

部位	設計事象	平均支圧応力( $\sigma_b$ )		圧縮応力( $\sigma_c$ )	
		計算値	許容応力	計算値	許容応力
底板	I, II	1	184	—	—
胴	I, II	—	—	7	95

表 1-3-16 バスケットの評価結果

(単位 : MPa)

部位	応力の種類	設計条件		設計事象 I		設計事象 II			許容応力		
				構内輸送時		搬送架台への衝突		転倒防止台座への衝突			
		計算値	評価点(面)	計算値	評価点(面)	計算値	評価点(面)	計算値	評価点(面)		
バスケット	一次一般膜応力 ( $P_m$ )	13	①, ⑦	—	—	—	—	—	—	133	
	一次一般膜+一次曲げ応力 ( $P_m+P_b$ )	31	④	—	—	—	—	—	—	199	
	一次+二次応力 ( $P_m+P_b+Q$ )	—	—	13	①	16	①	31	④	399	
	平均せん断応力 ( $\tau$ )	—	—	1	④	1	⑦	0	④, ⑦	79	
	平均支圧応力 ( $\sigma_b$ )	—	—	3	①, ③, ⑦	2	①, ④	13	①, ③, ⑦	150	
	軸圧縮応力 ( $\sigma_c$ )	柱板 長手方向	—	—	3	①	1	①	13	①	96
		柱板 長手方向以外	—	—	2	①	2	①	0	①, ②	88
		格子支持板外周部 $0^\circ - 180^\circ$ 方向	—	—	2	③	2	③	0	③	56
		格子支持板外周部 $90^\circ - 270^\circ$ 方向	—	—	1	③	0	③	0	③	129
		スペーサ	—	—	3	⑦	1	⑦	13	⑦	129

## 参考資料

### 構造強度計算に用いるコード（ABAQUS）について

#### （1）概要

ABAQUS コードは米国 Hibbit, Karlsson&Sorensen, Ins. (HKS 社)で開発された有限要素法に基づく応力・座屈解析等の汎用解析コードであり、輸送容器の応力解析等に広く利用されている。

#### （2）機能

ABAQUS コードは、応力解析に際して以下の機能を有している。

- ① 定常、非定常の弾性、弾塑性のいずれの解も得ることができる。
- ② 材料特性として時間依存、歪の履歴依存並びに等方性・異方性等を考慮することができる。
- ③ モデルの形状は一次元～三次元、又は連続体についても取り扱うことができる。
- ④ 伝熱解析結果をそのまま境界条件として熱応力解析に用いることが可能である。
- ⑤ 荷重条件として集中荷重、分布荷重、モーメント、加速度力（慣性力）、圧力、遠心力及びコリオリ力等が取り扱える。また、これらの条件の時間依存、線形変化に対しても対応可能である。

#### （3）解析フロー

ABAQUS コードの解析フローを図 1-3-5 に示す。

#### （4）使用実績

ABAQUS コードは、これまで多くの応力解析に対し使用実績がある。

#### （5）検証方法

理論値との比較による検証が実施されていることを確認している。

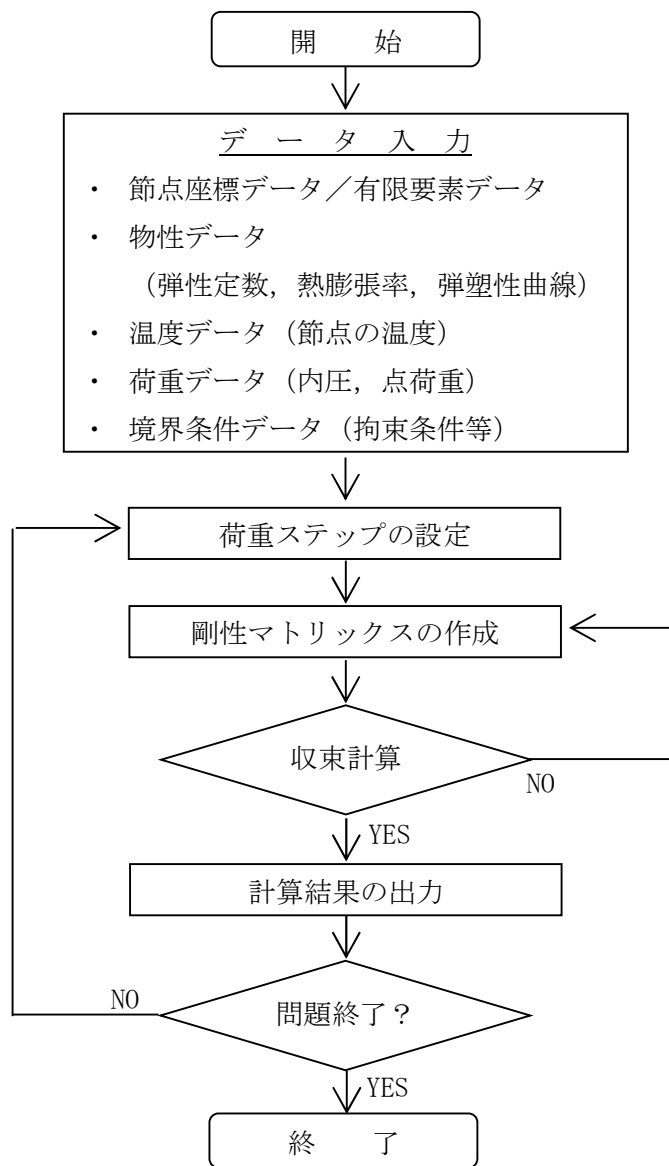


図 1-3-5 ABAQUS コードの応力解析フロー図

## 参考資料

### 容器内水の放射線分解による水素ガス発生について

#### 1. 容器内水の放射線分解による水素ガス発生

本破損燃料用輸送容器のような密閉した槽内での容器内水の放射線分解により発生する水素ガスの水中濃度はある飽和値に達する。ここでは、水素ガス発生評価を以下に示す。

#### 2. 評価方法

「添付資料－2－1－3 構内用輸送容器に係る安全機能及び構造強度に関する説明書（4号機）」と同じく、類似の環境下における水の放射線分解による水素ガス定常濃度評価<sup>\*1</sup>をベースに、液相定常水素ガス濃度が照射線量率の平方根に比例する<sup>\*2</sup>として、水素ガス濃度の評価を行う。

#### 3. 評価結果

破損燃料用輸送容器（2体）は3号機構内用輸送容器より燃料収納体数が少ないことから、照射線量率は3号機構内用輸送容器より小さい。

従って、水素ガスの水中濃度は「添付資料－2－1－2 構内用輸送容器に係る安全機能及び構造強度に関する説明書（3号機）」の評価に包絡されるため、水素の爆発下限である空気との混合比4%に対して十分低い値であり問題ない。

\*1 Sunaryo, 1993, "A Study on Yields and Chemical Behavior of Radiolysis Products of High Temperature Water", University of Tokyo.

\*2 Y. Fujita, M. Ebihara, "EVALUATION OF HYDROGEN YIELD IN SPENT FUEL TRANSPORT PACKAGE" The 16th International Symposium on the Packaging and Transportation of radioactive Materials (PATRAM 2010), October 3-8 2010, London, UK Poster Session 210 (2010)

## 1.4. 除熱機能

### 1.4.1. 基本的な考え方

除熱設計にあたっては、燃料の健全性及び破損燃料用輸送容器（2体）の安全機能を有する構成部材の健全性が維持できるよう、以下のとおり設計する。

- a. 収納された使用済燃料より発生する崩壊熱は、容器内に充填した水及び空気の自然対流及び熱伝導により胴に伝える。
- b. 胴に伝えられた熱は主として中性子遮へい部のレジン中に設けた伝熱フィンにより外筒に伝える。
- c. 外筒に伝えられた熱は外筒から大気に放散する。

除熱機能の評価においては、収納する使用済燃料の最大崩壊熱量を考慮し、自然冷却により冷却されるものとして、除熱条件が厳しくなる横姿勢（輸送時）の各部の温度を求め、各部材料の制限温度を超えないことを評価する。

ただし、バスケットを除く構成部材は3号機構内用輸送容器と同一であり、収納体数は3号機構内用輸送容器の7体より少なく崩壊熱量は小さい。また、軸方向の評価対象部位であるOリング及び蓋については、3号機構内用輸送容器の評価において最も保守的な条件で評価しているため、「添付資料－2－1－2 構内用輸送容器に係る安全機能及び構造強度に関する説明書（3号機） 1.4. 除熱機能」の評価に包絡される。

従って、径方向の評価対象部位である燃料、バスケット、胴、中性子遮へい体の各部の温度を評価する。

#### 1.4.2. 設計基準

設計基準を表 1-4-1 に示す。

表 1-4-1 設計基準

対象部位	材質	設計基準	設計基準 温度 (°C)	備考
破損燃料用輸送容器 (2 体)	中性子遮へい材	レジン	使用可能温度	149
	胴	低合金鋼	構造強度が確保される制限温度	350
	バスケット	ステンレス鋼	構造強度が確保される制限温度	425
燃料被覆管	ジルカロイ-2	照射硬化回復現象により燃料被覆管の機械的特性が著しく低下しない温度及び水素化物の再配向による被覆管の機械的特性の低下が生じない温度以下となる温度 <sup>*1, *2</sup>	200	8×8 燃料
			300	新型 8×8 ジルコニウムライク燃料, 高燃焼度 8×8 燃料, 9×9 燃料

\*1 平成 18 年度リサイクル燃料資源貯蔵技術調査等(貯蔵燃料長期健全性等確証試験に関する試験最終報告書) (06 基炉報-0006, 独立行政法人原子力安全基盤機構)

\*2 平成 19 年度リサイクル燃料資源貯蔵技術調査等(貯蔵燃料健全性等調査に関する試験成果報告書) (07 基炉報-0004, 独立行政法人原子力安全基盤機構)

#### 1.4.3. 燃料仕様および崩壊熱量

表 1-1-2 に示す 3 号機使用済燃料プールに貯蔵されている燃料を包絡する条件で崩壊熱量を ORIGEN2 コードにより評価する。燃料条件及び崩壊熱量を表 1-4-2 に示す。

表 1-4-2 燃料条件及び崩壊熱量

燃料タイプ	9 × 9 燃料
燃焼度 (MWd/t)	52,000
冷却期間 (日)	3,207
収納体数(体)	2
崩壊熱量 (kW)	1.18

#### 1.4.4. 評価条件

破損燃料用輸送容器（2 体）の除熱評価は輪切り断面モデルを用いて行う。輪切り断面モデル形状図を図 1-4-1 に示す。

また、評価条件を表 1-4-3 に示す。

表 1-4-3 評価条件

項目	横姿勢 (輸送時)
収納体数 (体)	2
崩壊熱量 (kW)	1.18
周囲温度 (°C)	38
太陽熱放射 (W/m <sup>2</sup> ) <sup>*1</sup>	水平に輸送される表面 (曲面) 400

\*1 : 太陽熱放射は 1 日につき 12 時間ごと、7 日間受けける

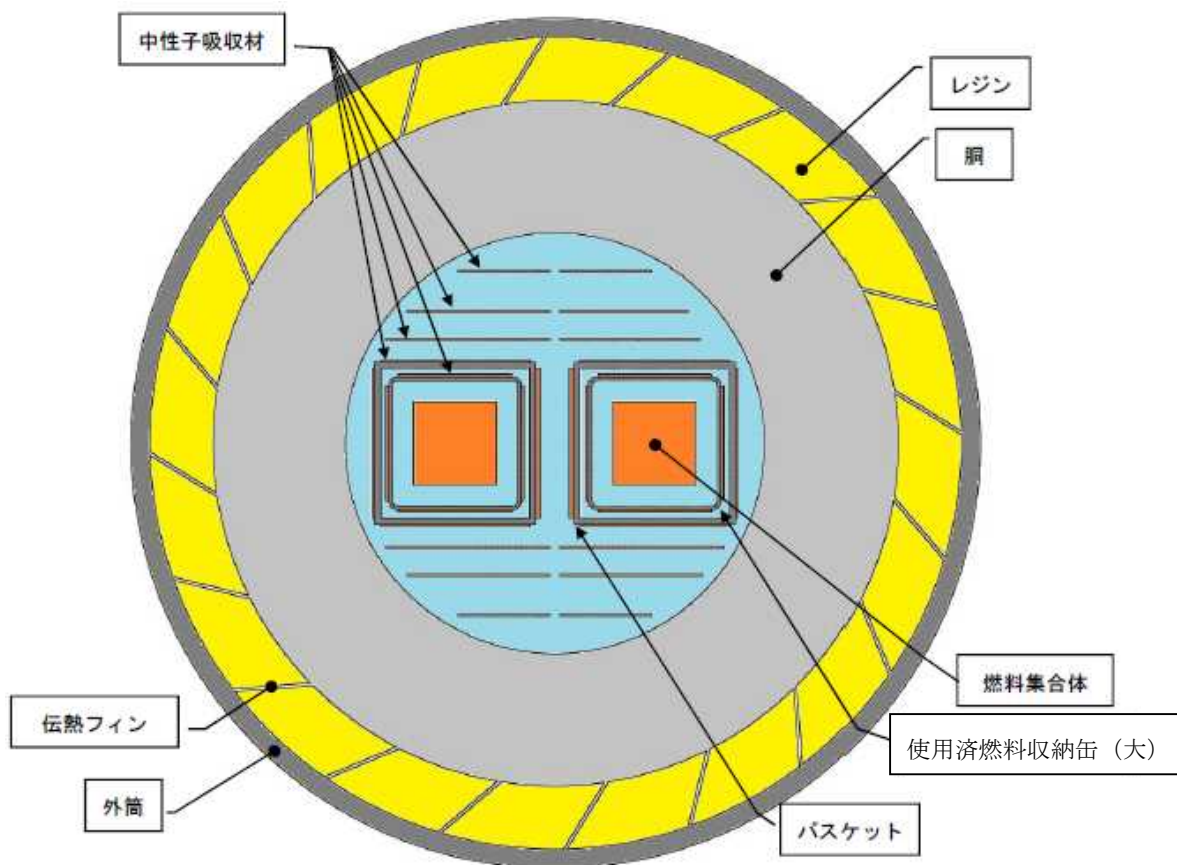


図 1-4-1 輪切り断面モデル形状図

#### 1.4.5. 評価方法

輪切り断面モデルで容器中央部断面の燃料、バスケット、胴、中性子遮へい体の温度を評価する。解析には ABAQUS コードを用いる。

#### 1.4.6. 評価結果

評価結果を表 1-4-4 に示す。表 1-4-4 に示すとおり、破損燃料用輸送容器（2 体）を構成する部材はいずれも設計基準温度を下回っており、熱的健全性は維持される。

また、燃料被覆管の温度は 110°C であり、水素化物の再配向による機械特性の低下が生じる温度を大きく下回っており、燃料の健全性は維持される。

表 1-4-4 評価結果（各部温度）

対象部位		材質	評価結果 (°C)	設計基準 温度 (°C)	備考
破損燃料 用輸送容 器（2 体）	中性子遮へ い材	レジン	72	149	
	胴	低合金鋼	71	350	
	バスケット	ステンレス鋼	89	425	
燃料被覆管		ジルカロイ -2	110	200	8×8 燃料
				300	新型 8×8 ジルコニウムライ 燃料 高燃焼度 8×8 燃料, 9×9 燃料

## 除熱解析に用いるコード（ABAQUS）について

### （1） 概要

ABAQUS コードは、米国 Hibbitt, Karlsson & Sorensen, Inc. (HKS 社) で開発された有限要素法に基づく伝熱解析等の汎用解析コードであり、輸送容器の伝熱解析などに広く利用されている。

### （2） 機能

ABAQUS コードは、伝熱解析に際して以下の機能を有している。

- ① 定常、非定常のいずれの解も得ることができる。
- ② 一次元～三次元の任意形状の構造に対して解くことが可能である。
- ③ 初期条件（温度）は要素ごとに変化させることができ、計算ステップの自動決定も可能である。
- ④ 境界条件として、時間に依存する熱流束、温度、伝導、対流及び放射が考慮できる。
- ⑤ 構成物質の相変態が考慮できる。

### （3） 解析フロー

ABAQUS コードの解析フローを図 1-4-2 に示す。

### （4） 使用実績

ABAQUS コードは、多くの伝熱解析に使用された実績がある。

### （5） 検証方法

貯蔵容器の定常伝熱試験に対して ABAQUS コードによる解析結果と試験結果を比較・検討し、本コードの妥当性が検証されている<sup>\*1</sup>。

\*1 山川秀次、五味義雄、尾崎幸男、尾崎明郎「使用済燃料キャスク貯蔵技術の確立—キャスクの伝熱特性評価—」、電中研報告書、U92038、(1993)

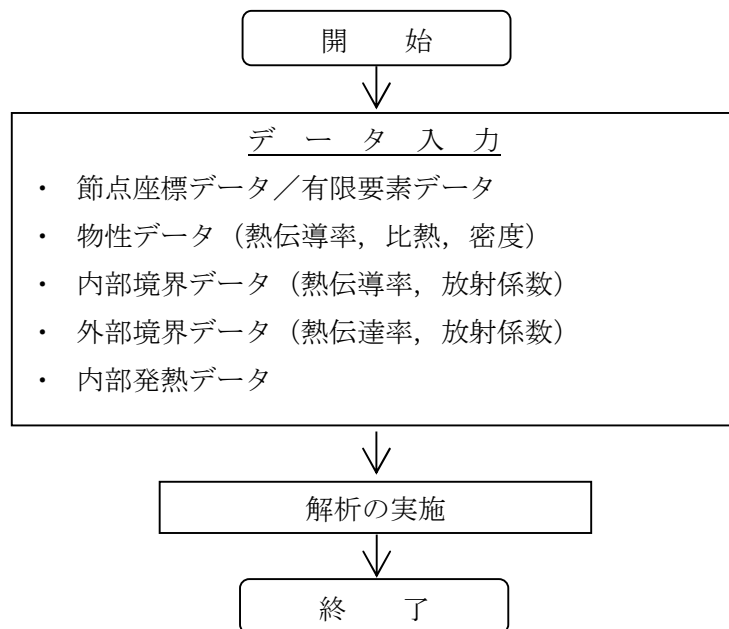


図 1-4-2 ABAQUS コードの伝熱解析フロー図

## 除熱解析に用いるコード（ORIGEN2）について

### （1） 概要

ORIGEN2 コードは、米国オークリッジ国立研究所（ORNL）で開発された炉内中性子束の 1 点近似による燃焼計算コードである。ORIGEN2 コードは汎用解析コードであり、輸送容器の崩壊熱計算等に広く利用されている。

### （2） 機能

ORIGEN2 コードは、燃焼解析に際して以下の機能を有している。

- ① 燃料の炉内での燃焼計算、炉取出し後の減衰計算により、冷却期間に対応した崩壊熱、放射線の強度、各核種の放射能量等が求められる。
- ② 原子炉の炉型と燃料の組合せに対し、中性子エネルギースペクトルの違いにより重みをつけた断面積ライブラリが内蔵されており、任意に選択できる。
- ③ 計算結果は、放射化生成物、アクチニド、核分裂生成物に分類して出力される。
- ④ 燃焼計算に必要な放射性核種データ（崩壊熱、ガンマ線のエネルギー分布、自発核分裂と  $(\alpha, n)$  反応により発生する中性子線源強度等）に関しては、ORIGEN2 コード専用のライブラリがあり、これを用いる。

### （3） 計算フロー

ORIGEN2 コードの計算フローを図 1-4-3 に示す。

### （4） 使用実績

ORIGEN2 コードは、輸送容器、核燃料施設の崩壊熱計算に広く使用されている<sup>\*1</sup>。

### （5） 検証方法

汎用コードの導入評価<sup>\*1</sup> が実施されていることが確認されている。

大型実験/ベンチマーク試験による検証<sup>\*2</sup> が実施されていることが確認されている。

\*1 ORNL, “ORIGEN2 Isotope Generation and Depletion Code MATRIX EXPONENTIAL METHOD”, CCC-371

\*2 (社)日本原子力学会 “原子炉崩壊熱とその推奨値”, 1989 年 8 月

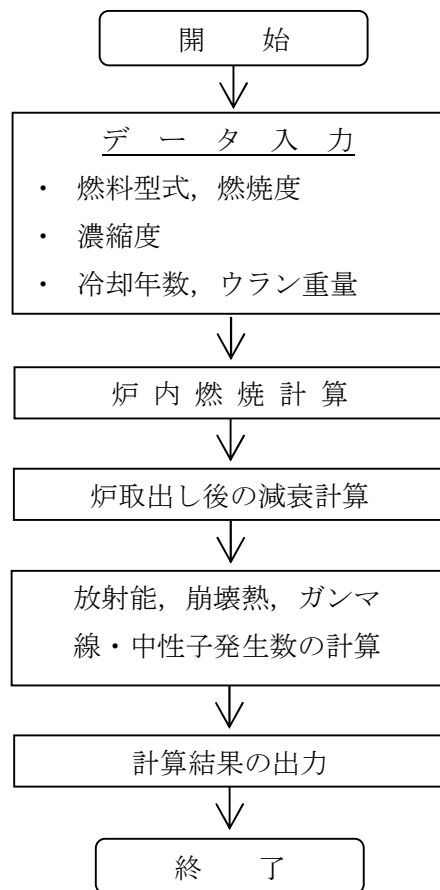


図 1-4-3 ORIGEN2 コードの計算フロー図

## 1.5. 密封機能

### 1.5.1. 基本的な考え方

破損燃料用輸送容器（2体）の密封は容器本体及び一次蓋より構成される密封容器とこれに付属するポート部のカバーから構成される。容器本体と一次蓋、各ポートカバーのガスケットにはゴム製Oリングが使用されている。一次蓋で構成される破損燃料用輸送容器（2体）の密封境界を図1-5-1に示す。

また、一次蓋を覆う形で二次蓋を容器本体に取付ける構造となっており、容器本体と二次蓋のガスケットはゴム製Oリングが使用され、一次蓋に漏えいが発生しても二次蓋で密封を確保できる構造となっている。二次蓋で構成される破損燃料用輸送容器（2体）の密封境界を図1-5-2に示す。

密封機能の評価にあたっては、構造強度評価結果、除熱機能評価結果、容器構造から、破損燃料用輸送容器（2体）の密封機能が維持されることを確認する。

### 1.5.2. 評価結果

#### (1) 構造強度評価結果

1.3項に示したとおり、構造強度評価から破損燃料用輸送容器（2体）の密封境界を構成する胴、底板、一次蓋、一次蓋ボルト、二次蓋、二次蓋ボルト、ポートカバー及びポートカバーボルトは想定される荷重条件に対して十分な強度を有しており、密封境界の構造健全性に問題がないことが確認されている。

#### (2) 除熱評価結果

1.4項に示したとおり、除熱機能評価からOリングの最高温度は82°C以下で、設計基準温度である300°Cを大きく下回ることから、密封境界の熱的健全性に問題ないことが確認されている。

#### (3) 容器構造

破損燃料用輸送容器（2体）の密封境界を構成する一次蓋及び各ポートカバーは、ガスケットにゴム製のOリングを使用し、複数のボルトで容器本体に締付ける構造であり、締付けトルクの管理により密封機能を担保する。

各ポートカバーは3号機に空の容器を移動する前に、共用プールで締付けトルクを管理し、密封機能を担保する。

一次蓋は3号機で燃料装填後に容器本体に締付ける際に、締付けトルクを管理し、密封機能を担保する。

二次蓋も一次蓋と同様にガスケットにゴム製のOリングを使用し、複数のボルトで容器本体に締付けトルクを管理して締付ける構造であり、万が一、一次蓋の密封機能が喪失した場合でも、二次蓋で密封機能を担保する。

(4)まとめ

以上から、破損燃料用輸送容器（2体）の密封性能は維持される。

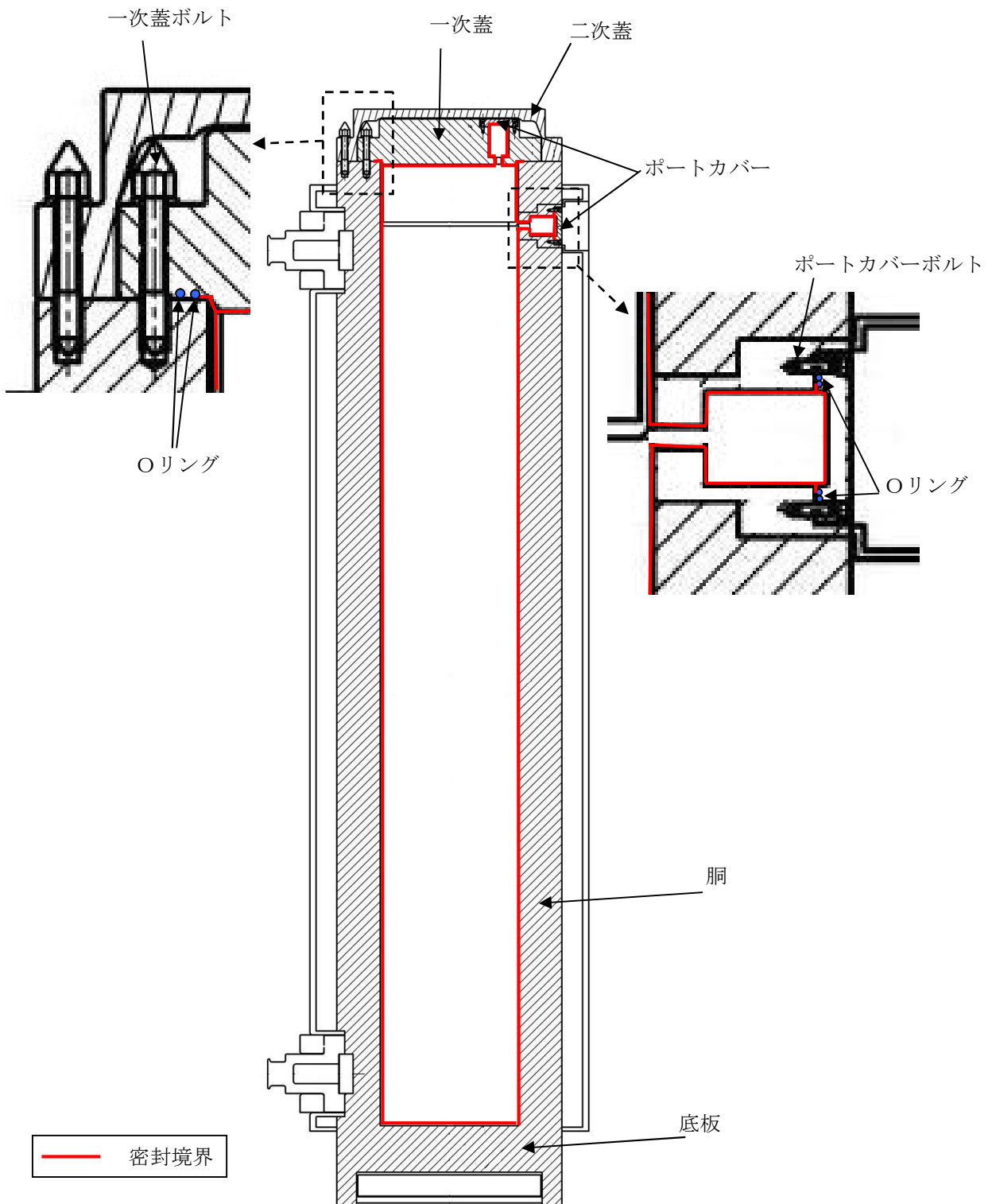


図 1-5-1 一次蓋で構成する容器密封境界

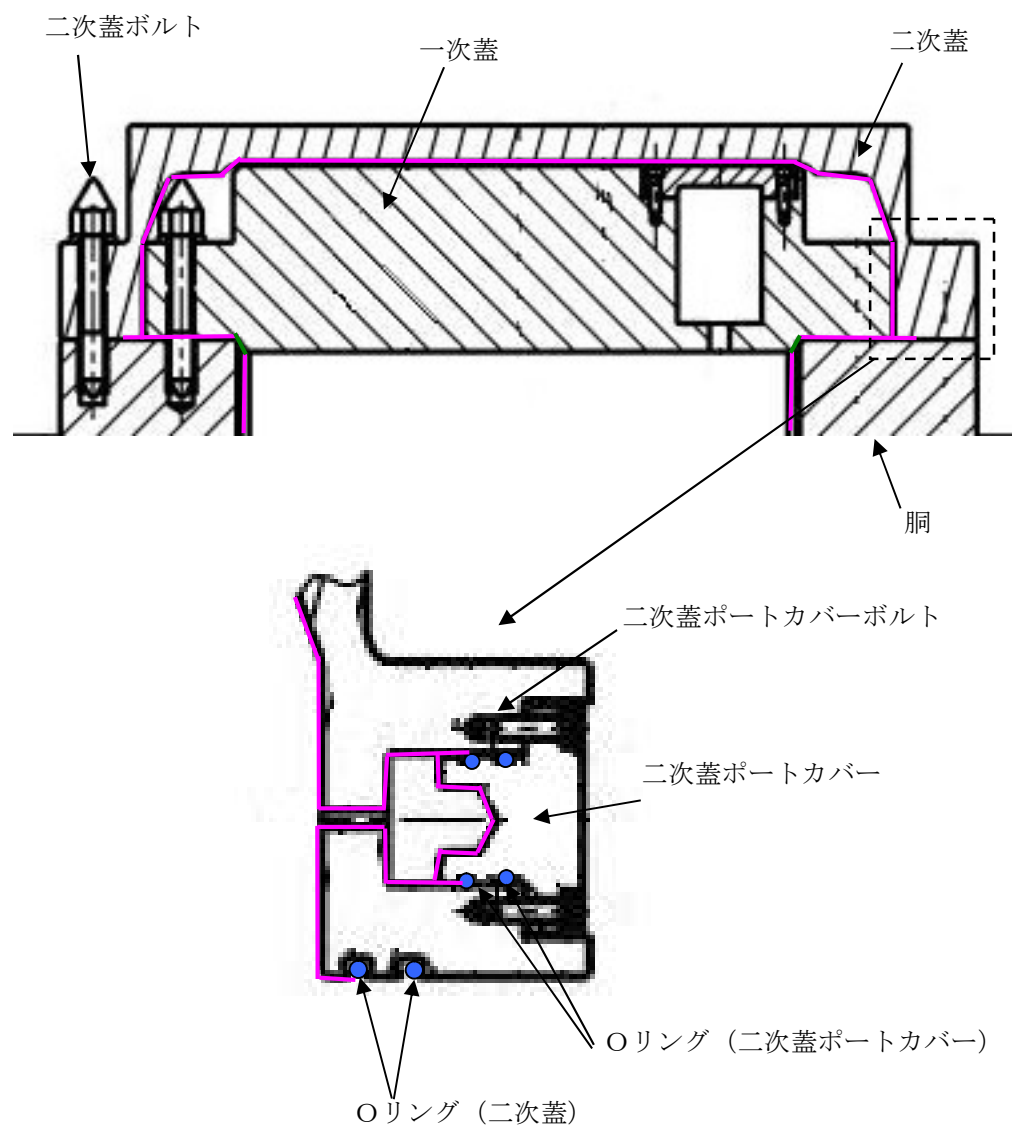


図 1-5-2 二次蓋で構成する密封境界

## 1.6. 遮へい機能

### 1.6.1. 基本的な考え方

収納した使用済燃料から発生する放射線を遮へいするための破損燃料用輸送容器(2体)の遮へい設計の基本的な考え方は以下のとおりである。

- 使用済燃料から発生するガンマ線及び中性子を遮へいするために、破損燃料用輸送容器(2体)はガンマ線遮へいと中性子遮へいの機能を有するものとする
- 主要なガンマ線遮へい材は、胴及び底板の低合金鋼、外筒の炭素鋼、蓋のステンレス鋼とする
- 主要な中性子遮へい材は、内水及び胴と外筒間、底板底部のレジンとする

遮へい機能の評価においては、収納する使用済燃料の線源強度を考慮し、破損燃料用輸送容器(2体)表面及び表面から1mにおける線量当量率を評価する。

ただし、破損燃料用輸送容器(2体)の構成部材はバスケットを除いて3号機構内用輸送容器と同一である。また、線源条件について、冷却期間は3号機構内用輸送容器の条件よりも長く、収納体数は3号機構内用輸送容器の7体より少ないため、「添付資料－2－1－2 構内用輸送容器に係る安全機能及び構造強度に関する説明書(3号機) 1.6. 遮へい機能」の評価に包絡されることを確認する。

収納燃料は3号機構内用輸送容器と同一であるため、軸方向の燃焼度分布も同一である。

従って、軸方向の燃焼度分布が最大となる高さにおける水平断面の径方向の線量分布が3号機構内用輸送容器に包絡されていれば、いずれの高さ方向における評価点位置についても包絡されていることがわかる。以上から、径方向の線量評価を行う。

### 1.6.2. 評価条件

#### 1) 遮へい厚さ

破損燃料用輸送容器(2体)の遮へい厚さを表1-6-1に示す。

表1-6-1 遮へい厚さ (単位: cm)

	低合金鋼・炭素鋼	ステンレス鋼	レジン
側面方向	約25	—	約10
上部方向	—	約23	—
下部方向	約28	—	約10

#### 2) 線源条件

遮へい評価の線源条件は表1-1-2に示す3号機使用済燃料プールに保管されている燃料の条件を包絡する条件とする。線源条件を表1-6-2に示す。

表 1-6-2 線源条件

項目	線源条件
燃料タイプ	9×9 燃料
平均燃焼度 (MWd/t)	52,000
冷却期間 (日)	3,207
収納体数 (体)	2

## 3) 線源強度及びエネルギー

## ① ガンマ線源強度

燃料有効部のガンマ線源強度の計算は ORIGEN2 コードにより行う。得られたガンマ線源強度を表 1-6-3 に示す。また、構造材の放射化によるガンマ線源強度は次式で計算する。破損燃料用輸送容器（2 体）では、冷却期間及び収納体数が 3 号機構内用輸送容器よりも小さいため、構造材の放射化によるガンマ線源強度は包絡される。

$$A = N_0 \cdot \sigma \cdot \phi \cdot \{1 - \exp(-\lambda \cdot T_1)\} \cdot \exp(-\lambda \cdot T_2)$$

ここで、A : 放射化核種 (<sup>60</sup>Co) の放射能 (Bq)

$N_0$  : ターゲット核種 (<sup>59</sup>Co) の個数 (atoms)

$\sigma$  : 2200m/s の中性子による (<sup>59</sup>Co) の (n,  $\gamma$ ) 反応断面積 (cm<sup>2</sup>)

$\phi$  : 炉内照射熱中性子束 (n/(cm<sup>2</sup> · s))

$\lambda$  : <sup>60</sup>Co の崩壊定数 (/日)

$T_1$  : 照射期間 (日)

$T_2$  : 冷却期間 (日)

表1-6-3 ガンマ線源強度  
(容器1基あたり)

光子エネルギー一群		集合体2体あたり (ph/s/2体)
群	代表エネルギー(MeV)	
1	1.00E-02	1.3E+15
2	2.50E-02	2.6E+14
3	3.75E-02	3.6E+14
4	5.75E-02	2.4E+14
5	8.50E-02	1.5E+14
6	1.25E-01	1.7E+14
7	2.25E-01	1.2E+14
8	3.75E-01	5.8E+13
9	5.75E-01	2.6E+15
10	8.50E-01	3.6E+14
11	1.25E+00	1.1E+14
12	1.75E+00	3.0E+12
13	2.25E+00	8.6E+10
14	2.75E+00	6.8E+09
15	3.50E+00	9.6E+08
16	5.00E+00	5.6E+07
17	7.00E+00	6.4E+06
18	9.50E+00	7.4E+05

## ② 中性子線源強度

中性子線源強度の計算は ORIGEN2 コードにより行う。得られた中性子線源強度を表 1-6-4 に示す。また、評価に用いる中性子エネルギースペクトルは Pu-239 の核分裂スペクトルとし、表 1-6-5 に示す。

表 1-6-4 中性子線源強度

(容器 1 基あたり)

		中性子線源強度 (n/s)
1 次中性子源	自発核分裂によるもの	$1.3 \times 10^9$
	( $\alpha$ , n) 反応によるもの	$1.5 \times 10^7$
実効増倍率		0.95
実効増倍効果を考慮した全中性子線源強度		$2.6 \times 10^{10}$

表 1-6-5 中性子線源スペクトル

エネルギー群数	上限エネルギー (eV)	スペクトル
1	$1.492 \times 10^7$	$5.72 \times 10^{-4}$
2	$1.220 \times 10^7$	$2.02 \times 10^{-3}$
3	$1.000 \times 10^7$	$6.07 \times 10^{-3}$
4	$8.180 \times 10^6$	$2.00 \times 10^{-2}$
5	$6.360 \times 10^6$	$4.12 \times 10^{-2}$
6	$4.960 \times 10^6$	$5.27 \times 10^{-2}$
7	$4.060 \times 10^6$	$1.10 \times 10^{-1}$
8	$3.010 \times 10^6$	$8.74 \times 10^{-2}$
9	$2.460 \times 10^6$	$2.28 \times 10^{-2}$
10	$2.350 \times 10^6$	$1.15 \times 10^{-1}$
11	$1.830 \times 10^6$	$2.07 \times 10^{-1}$
12	$1.110 \times 10^6$	$1.89 \times 10^{-1}$
13	$5.500 \times 10^5$	$1.31 \times 10^{-1}$
14	$1.110 \times 10^5$	$1.59 \times 10^{-2}$
15	$3.350 \times 10^3$	$8.12 \times 10^{-5}$
16	$5.830 \times 10^2$	$5.89 \times 10^{-6}$
17	$1.010 \times 10^2$	$3.89 \times 10^{-7}$
18	$2.900 \times 10^1$	$5.53 \times 10^{-8}$
19	$1.070 \times 10^1$	$1.33 \times 10^{-8}$
20	$3.060 \times 10^0$	$1.88 \times 10^{-9}$
21	$1.120 \times 10^0$	$4.19 \times 10^{-10}$
22	$4.140 \times 10^{-1}$	$1.20 \times 10^{-10}$

### 1.6.3. 評価モデル

破損燃料用輸送容器（2体）の実形状を模擬して2次元R-θ体系で評価する。

評価モデルは以下の条件を考慮する。

- ・ 主要な遮へい体の厚さは製造公差を考慮した寸法とし、遮へい体の密度はノミナル値とする。

### 1.6.4. 評価方法

遮へい計算は、ガンマ線、中性子共にDOT3.5コードを用いて計算し、破損燃料用輸送容器（2体）表面及び表面から1mの線量当量率を求める。

ライブラリとしては、DLC-23/CASKデータを用い、線量当量率への変換はICRP Publ. 74に基づく1cm線量当量率への換算係数を用いる。

### 1.6.5. 評価結果

破損燃料用輸送容器（2体）の容器側面における評価結果を表1-6-6に示す。評価結果から、3号機構内用輸送容器に包絡されることを確認できる。

また、容器側面以外の評価点（容器上部、上部中性子遮へい体欠損部、下部中性子遮へい体欠損部、容器下部、上部トラニオン、下部トラニオン）についても、破損燃料用輸送容器（2体）の構成部材はバスケットを除いて3号機構内用輸送容器と同一であり、遮へい効果も同じとなるため線量の大小関係は変わらず、容器側面と同様に包絡される。

3号機構内用輸送容器と同様に、容器取扱時には追加遮へい体設置等の放射線業務従事者の被ばく低減対策を講じる計画としている。

表1-6-6 最大線量当量率の評価結果

（単位：mSv/h）

		容器側面
表面	7体収納	1.5
	2体収納	8.5E-1
表面から1m	7体収納	3.4E-1
	2体収納	1.6E-1

## 参考資料

### 遮へい解析に用いるコード（ORIGEN2）について

#### （1） 概要

ORIGEN2 コードは、米国オークリッジ国立研究所（ORNL）で開発された炉内中性子束の 1 点近似による燃焼計算コードである。ORIGEN2 コードは汎用解析コードであり、輸送容器の放射線源強度計算等に広く利用されている。

#### （2） 機能

ORIGEN2 コードは、燃焼解析に際して以下の機能を有している。

- ① 燃料の炉内での燃焼計算、炉取出し後の減衰計算により、冷却期間に対応した崩壊熱、放射線の強度、各核種の放射能量等が求められる。
- ② 原子炉の炉型と燃料の組合せに対し、中性子エネルギースペクトルの違いにより重みをつけた断面積ライブラリが内蔵されており、任意に選択できる。
- ③ 計算結果は、放射化生成物、アクチニド、核分裂生成物に分類して出力される。
- ④ 燃焼計算に必要な放射性核種データ（崩壊熱、ガンマ線のエネルギー分布、自発核分裂と  $(\alpha, n)$  反応により発生する中性子線源強度等）に関しては、ORIGEN2 コード専用のライブラリがあり、これを用いる。

#### （3） 計算フロー

ORIGEN2 コードの計算フローを図 1-6-1 に示す。

#### （4） 使用実績

ORIGEN2 コードは、輸送容器、核燃料施設の放射線源強度計算に広く使用されている<sup>\*1</sup>。

#### （5） 検証方法

汎用コードの導入評価<sup>\*1</sup> が実施されていることが確認されている。

大型実験/ベンチマーク試験による検証<sup>\*2</sup> が実施されていることが確認されている。

\*1 ORNL, “ORIGEN2 Isotope Generation and Depletion Code MATRIX EXPONENTIAL METHOD”, CCC-371

\*2 (社)日本原子力学会 “原子炉崩壊熱とその推奨値”, 1989 年 8 月

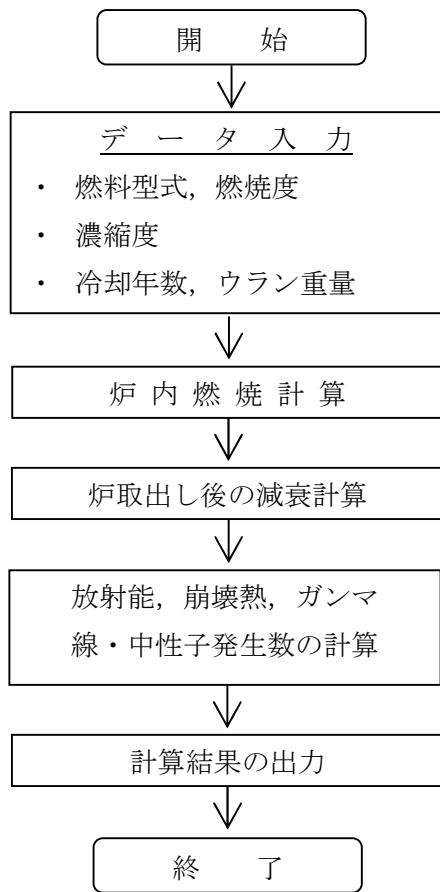


図 1-6-1 ORIGEN2 コードの計算フロー図

## 遮へい解析に用いるコード（DOT3.5 コード）について

### （1）概要

DOT3.5 コード（以下「DOT コード」という。）は二次元輸送コードであり、米国オーケリッジ国立研究所（ORNL）で開発された汎用解析コードである。

### （2）機能

DOT コードは、遮へい解析に際して以下の機能を有する。

- ① ガンマ線や中性子に対するボルツマン輸送方程式を解くことによる数値解析法であり、放射線の挙動を追跡するのに重要な非等方性が表現できる。
- ② DOT コードは、二次元の体系を扱うことができる。

### （3）解析フロー

DOT コードの解析フローを図 1-6-2 に示す。

### （4）使用実績

DOT コードは、原子力施設の遮へい計算に広く用いられており、輸送容器の遮へい解析に豊富な実績がある。

### （5）検証

汎用コードの導入評価<sup>\*1</sup>が実施されていることが確認されている。

大型実験/ベンチマーク試験による検証<sup>\*2</sup>が実施されていることが確認されている。

\*1 W. A. Rhoades, “DOT3.5 TWO DIMENSIONAL DISCRETE ORDINATES RADIATION TRANSPORT CODE”, CCC-276, 1978 年 10 月

\*2 (社)日本原子力学会“中性子遮蔽設計ハンドブック”，1993 年 4 月

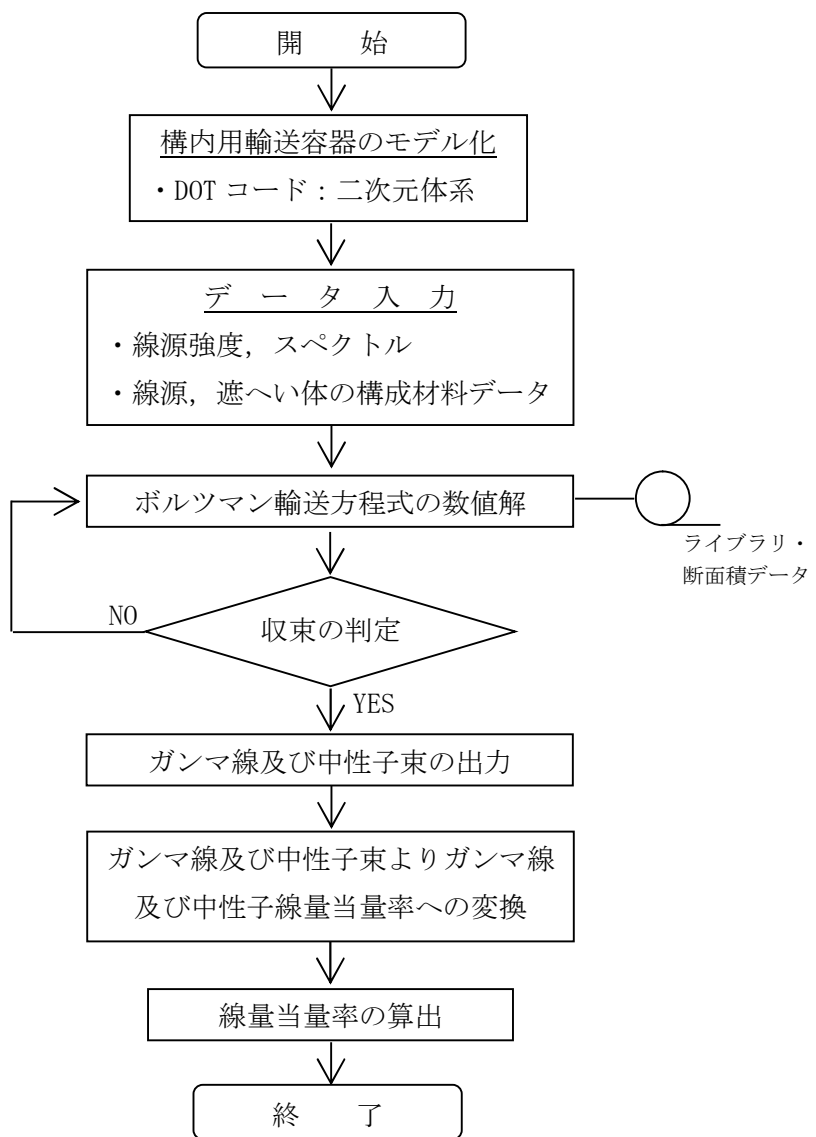


図 1-6-2 DOT コードの解析フロー図

## 1.7. 臨界防止機能

### 1.7.1. 基本的な考え方

臨界防止にあたっては、想定されるいかなる場合にも燃料が臨界に達することを防止するため以下のとおり設計する。

- 燃料を収納するバスケットは格子構造として、燃料を所定の幾何学的配置に維持する設計とする。
- バスケット外周部及び使用済燃料収納缶（大）側面には、中性子を吸収するボロン添加アルミニウム合金板を配置する。

### 1.7.2. 設計基準

想定されるいかなる場合も実効増倍率が 0.95 以下であること。

### 1.7.3. 評価条件

#### 1) 燃料条件、評価モデル

以下の保守的な燃料条件で評価を行うものとする。

- ・燃料棒の形状が維持されていないと仮定し、以下の条件を設定する。
  - ・燃料被覆管が破損しペレットが使用済燃料収納缶（大）内に放出され、さらに使用済燃料収納缶（大）外にペレットが漏えいすることを仮定し、容器内にペレットと水が非均質に混ざった状態とする。
  - ・水／ウラン比、ペレット粒径が最適な状態とする。
  - ・U-235 の濃縮度は未照射のまま減損しない値とし、9 × 9 燃料のペレット最高濃縮度 4.9wt% とする。また、中性子吸收断面積の大きい Gd は無視する。
- ・バスケット内の使用済燃料収納缶（大）配置は、格子間の範囲で偏心配置（バスケット内側の格子隅角部寄り）を考慮する。
- ・バスケット外周部及び使用済燃料収納缶（大）側面に配置したボロン添加アルミニウム合金の  $^{10}\text{B}$  含有量は、製造下限値とする。
- ・評価に使用する各部の寸法は製造公差を考慮した寸法とする。
- ・チャンネルボックス及びウォーターロッドは水に置換える。
- ・中性子遮へい体部（レジン）は真空とする。
- ・破損燃料用輸送容器（2 体）外部の雰囲気は安全側に真空、完全反射とする。
- ・評価モデルは 3 次元体系とする。

#### 1.7.4. 評価方法

破損燃料用輸送容器（2体）の実形状をモデル化し、臨界解析コード KENO-V.a を使用して求める。

#### 1.7.5. 評価結果

評価結果を表 1-7-1 に示す。表 1-7-1 に示すとおり、破損燃料用輸送容器（2体）の実効増倍率は設計基準を満足している。

表 1-7-1 評価結果

実効増倍率 <sup>*1</sup>	設計基準
0.93	0.95

\*1 モンテカルロ計算の統計誤差（ $3\sigma$ ）を考慮した値

### 臨界解析に用いるコード（KENO-V.a）について

#### （1） 概要

KENO-V.a コードは、米国オークリッジ国立研究所（ORNL）で開発されたモンテカルロ法に基づく公開の臨界解析コードであり、輸送容器の臨界解析などに利用されている。

#### （2） 機能

KENO-V.a コードは、臨界解析に際して以下の機能を有している。

- ① 実際に中性子が出会う物理現象を確率理論を用いて模擬するため、どのような物理的問題にも適用できる。なお、統計的な手法を用いるため、計算結果には統計誤差が付随する。
- ② 一次元～三次元の任意形状の体系を扱うことができる。

#### （3） 解析フロー

KENO-V.a コードの解析フローを図 1-7-1 に示す。

#### （4） 使用実績

KENO-V.a コードは、国内外で輸送容器の臨界解析をはじめ、核燃料施設の臨界解析に使用されている。

#### （5） 検証

米国のバッテル研究所（パシフィック ノースウェスト研究所、PNL）で行われた臨界実験<sup>\*1</sup>の中から 16 種類の臨界体系をベンチマーク試験<sup>\*2</sup>として選び、検証を行った。

\*1 S. R. Bierman and E. D. Clayton, “Criticality Experiments with Subcritical Clusters of 2.35 Wt% and 4.31 Wt%  $^{235}\text{U}$  Enriched  $\text{UO}_2$  Rods in Water with Steel Reflecting Walls”, NUREG/CR-1784(PNL-3602), U.S. Nuclear Regulatory Commission, April 1981.

\*2 “International Handbook of Evaluated Criticality Safety Benchmark Experiments”, LEU-COMP-THERM-010, LEU-COMP-THERM-013, LEU-COMP-THERM-017, LEU-COMP-THERM-042, NEA/NSC/DOC(95)03, September 2009.

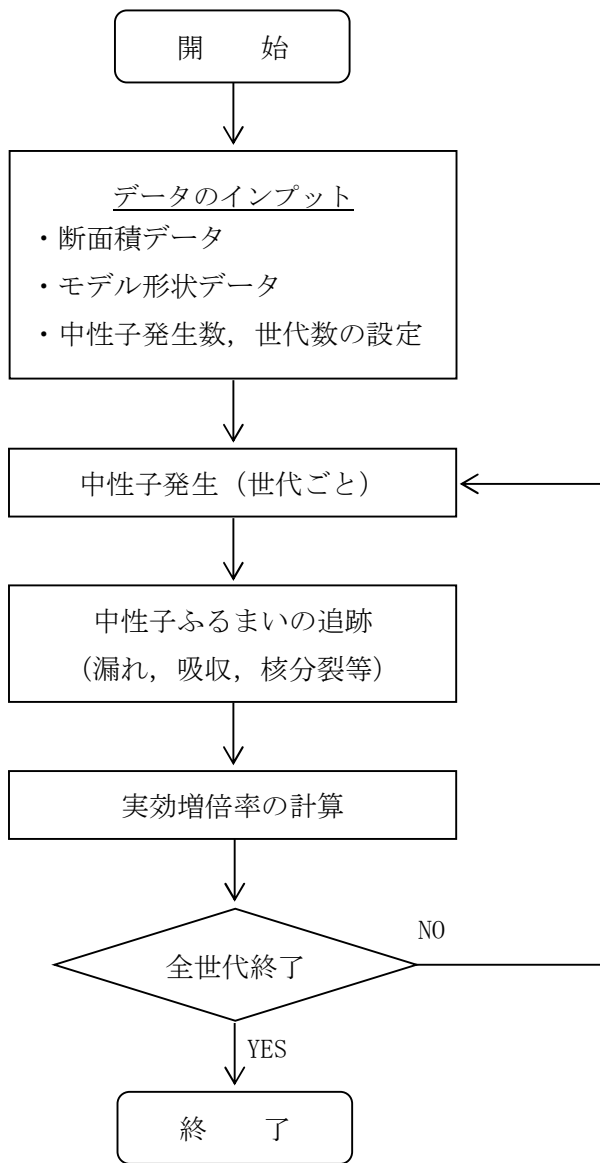


図 1-7-1 KENO-V.a コードの解析フロー図

## 1.8. 破損燃料用輸送容器（2体）の落下

### 1.8.1. 原因

破損燃料用輸送容器（2体）の取扱い中に、何らかの原因で破損燃料用輸送容器（2体）が落下して密封境界が破損し、放射性物質が環境に放出される。

### 1.8.2. 発生防止対策

破損燃料用輸送容器（2体）の落下を防止するために、次のような設計及び手順の対策を講じる。

- (1) クレーン主巻フックは二重のワイヤーロープで保持する構造とする。
- (2) クレーン巻上装置は電源断時に電動油圧押上機ブレーキで保持する構造とする。
- (3) クレーン主巻フックと吊具、吊具と破損燃料用輸送容器（2体）の取付けを二重化する。
- (4) 取付け作業後の取付け状態を ITV にて確認し、外れ止めを取り付ける。
- (5) 作業開始前にクレーン及び吊具の事前点検を実施する。
- (6) 作業手順書を整備し、作業員への教育訓練を行う。

### 1.8.3. 核分裂生成物の放出量及び線量の評価

本破損燃料用輸送容器は、最大 2 体の燃料を輸送することが可能な容器である。これは既に構内輸送に用いている 3 号機構内用輸送容器の燃料収納体数 7 体より少ない。

従って、核分裂生成物の放出量及び線量の評価は「添付資料－2－1－2 構内用輸送容器に係る安全機能及び構造強度に関する説明書（3号機） 1.8. 構内用輸送容器の落下」の評価に包絡される。

## 2. 別添

別添－1 破損燃料用輸送容器（2体）に係る確認事項について

別添－2 破損燃料用輸送容器（2体）の保守について

## 破損燃料用輸送容器（2体）に係る確認事項について

破損燃料用輸送容器（2体）の設置工事に係る主要な確認項目を表－1に示す。

表－1 安全機能及び構造強度に関する確認事項

確認事項	確認項目		確認内容	判定基準
構造強度	材料確認		実施計画に記載されているバスケットの主な材料について確認する。	実施計画のとおりであること。
構造強度 遮へい 機能	構造 確認	寸法確認	実施計画に記載されているバスケットの主要寸法を確認する。	寸法が許容範囲内であること。
		外観確認	バスケットの各部の外観を確認する。	有意な欠陥がないこと。
密封機能	機能 確認	取合確認	密封境界を構成する蓋等が容器と取合い密封境界の構成に問題が無いことを確認する。	密封境界を構成する蓋等が容器と取合うこと。
臨界防止 機能	機能 確認	材料確認 寸法確認 外観確認	バスケットの材料及び主要寸法が、実施計画評価の前提条件となっている値を満足していることを確認し、バスケットの外観に異常のないことを確認する。	<ul style="list-style-type: none"> <li>・材料が実施計画どおりであり、寸法が許容範囲内であること。</li> <li>・有意な変形、破損等の異常がないこと。</li> </ul>

### 破損燃料用輸送容器（2体）の保守について

破損燃料用輸送容器（2体）は、本文 2.11.1.4 供用期間中に確認する項目に記載のとおり、「除熱、密封、遮へい、臨界防止の安全機能が維持されていること」を供用期間中、確認する。

輸送容器は、共用プールにおいて、輸送毎に以下の検査を実施する。なお、合格基準は、表-2 に示す。また、検査の結果、必要に応じて消耗品の交換、補修を実施する。

#### （1）外観検査

輸送容器の外表面を目視で確認する。

#### （2）気密漏えい検査

輸送容器密封部の圧力降下を測定し、漏えい率を算出する。

#### （3）遮へい検査

収納物を収納した状態で、輸送容器表面の線量当量率を測定する。

#### （4）未臨界検査

輸送容器内に収納されたバスケットの外観を目視で確認する。

#### （5）吊上検査

輸送容器を吊り上げた後の状態において、上部トラニオン部の外観を目視で確認する。

#### （6）作動確認検査

バルブの開閉を行い、作動性を確認する。

#### （7）熱検査

収納物を収納した状態で、輸送容器表面の温度を測定する。

表-2 検査項目、検査方法及び合格基準

検査項目	検査方法	合格基準
外観検査	輸送容器の外表面を目視で確認する。	輸送容器の形状に異常な傷又は割れがないこと。
気密漏えい検査	輸送容器密封部に 0.9MPaG 以上の圧力を加え、圧力降下を測定し、漏えい率を算出する。	一次蓋、二次蓋及びポートカバーの各部の漏えい率が $9 \times 10^{-1}$ ref cm <sup>3</sup> /s を超えないこと。
遮へい検査	収納物を収納した状態で、輸送容器表面の線量当量率を測定する。	実施計画記載の評価値を超えないこと。
未臨界検査	輸送容器内に収納されたバスケットの外観を目視で確認する。	バスケットに異常な変形又は破損がないこと。
吊上検査	輸送容器を吊り上げた後の状態において、上部トラニオン部の外観を目視で確認する。	トラニオン部など吊上部等に異常な変形又は破損がないこと。
作動確認検査	バルブの開閉を行い、作動性を確認する。	作動性に異常のないこと。
熱検査	収納物を収納した状態で、輸送容器表面の温度を測定する。	実施計画記載の評価値を超えないこと。

## 構内輸送時の措置に関する説明書（3号機）

### 1. 構内輸送の概要

第3号機の使用済燃料プールに貯蔵されている燃料は、使用済燃料プールで燃料取扱機を使用して構内用輸送容器に装填する。燃料を装填した構内用輸送容器はクレーンを使用して燃料取り出し用カバーから吊り下ろし、輸送車両に積載し、共用プールに向けて構内輸送する。構内用輸送容器は、新たに設計・製造した容器（密封式円筒形）を用いる。

### 2. 構内輸送時に講じる措置

「Ⅲ特定原子力施設の保安 第3編 3.1.1 放射線防護及び3.1.2 放射線管理」において、管理区域と同等の管理を要する区域として管理対象区域を定義しており、「Ⅲ特定原子力施設の保安 第1編 45条」により3号機から共用プールへの輸送経路も管理対象区域に設定されている。

構内輸送時に講じる措置は、「東京電力株式会社福島第一原子力発電所原子炉施設の保安及び特定核燃料物質の防護に関する規則の第14条の2（工場又は事業所において行われる運搬）」に準じて実施する。